

Diseño, implementación y validación de la aviónica para el cohete sonda de combustible sólido Orion UIS partícipe en el Latin American Space Challenge 2022

Juan Martín Vivas Camargo,  
Santiago Hernández Rincón

Trabajo de grado para optar al título de  
Ingeniero Electrónico

Director  
Julián Gustavo Rodríguez Ferreira  
Doctor en Física, Especialidad Astrofísica

Co-Director  
Pedro Andrés Salgado Meza  
Ingeniero Electrónico

Universidad Industrial de Santander  
Facultad de Ingenierías Fisicomecánicas  
Escuela de Ingenierías  
Eléctrica, Electrónica y de Telecomunicaciones  
Bucaramanga  
2022

## Dedicatoria

Yo **Juan Martín Vivas Camargo**, agradezco inicialmente a Dios por permitirme escribir esta dedicatoria, por permitirme soñar, llegar hasta este punto y cumplir la promesa a mis padres. Dedico este proyecto al *Piojo Juan Carlos Vivas Corredor*, gracias Papito por cada desayuno, por ser mi mayor mentor, mi gran amigo en este proceso. A mi viejita hermosa, **Maria Rita Camargo Morales**, gracias por cada llamada, por demostrarme la importancia de la familia y por cada palabra de apoyo, ¡lo logré Mamita! A ustedes dos, con quienes estaré eternamente agradecido por el apoyo moral y económico a lo largo de mi carrera universitaria, por enseñarme a través del ejemplo y la humildad a luchar por mis sueños y que siempre habrán razones para no desistir. A **Sandra Marcela Vivas Camargo**, mi hermana, quien junto a mis padres son lo más importante en mi vida, le agradezco haberme acompañado durante estos 3 años y atravesar conmigo la difícil época de pandemia siendo esa amiga cercana que necesité. A **Leidy Natalia Téllez Gonzalez**, quien justificó a través del amor todo el apoyo brindado siempre que lo necesité, por cada voz de aliento, por haberme enseñado que la lealtad está por encima de todo, por alegrarme cada día y a quien siempre agradeceré por hacer más llevadera esta etapa de mi vida. Finalmente, dedico el presente trabajo realizado a mi abuelita **Rita Camargo de Morales**, quien nunca paró de orar por mí, a mi tía **Gilma Camargo** y mi prima **Maleja Parra** por abrirme las puertas de su casa y ayudarme a superar las difíciles situaciones al inicio de mi llegada a Bucaramanga, y a todo el *Team Bucaramanga* por cada domingo familiar.

Yo **Santiago Hernández Rincón** dedico la conclusión de este proyecto a las dos personas más importantes y que más amo en mi vida, **Yein Rincón Gómez** y **Luis Carlos Hernández Cuello**, mis padres, quienes siempre están conmigo apoyandome y pronunciando esas palabras de aliento cuando más lo necesito. Muchas gracias por enseñarme a siempre confiar en mi mismo y a afrontar cada obstáculo con honestidad y haciéndolo lo mejor que posible. A mi hermana **Catalina Hernández Rincón**, por esas charlas que compartimos juntos y las risas que nunca faltan. Finalmente, a mis tíos **Marcela Hernández Cuello**, **Janeth Hernández Cuello**, **Claudia Hernández Cuello** y mi tío **Heider hernández Cuello**, con los que compartí hogar durante toda mi etapa universitaria, toda mi vida estaré agradecido con ustedes por acogerme en su casa y hacerme sentir todos los días como si fuera la mía.

### Agradecimientos

A nuestro director Dr. Julián Gustavo Rodríguez Ferreira y al co-director Pedro Andrés Salgado Meza por orientarnos en cada avance realizado y ser una guía indispensable para culminar con éxito este proyecto de investigación.

Al Semillero de Cohetería UIS Aeroespacial por acogernos como integrantes e incursionarnos en las ciencias aeroespaciales. A los 18 miembros del semillero, quienes a través del esfuerzo y dedicación fueron artífices del éxito en la misión Orion UIS, especialmente a Luis Fernando Niño, por brindarnos su apoyo técnico, ofreciéndonos consejos y recomendaciones durante el desarrollo de este proyecto. Gracias por todo ese tiempo compartido juntos.

A la Escuela de Ingenierías Eléctrica, Electrónica y de Telecomunicaciones, a todos aquellos docentes de quienes tuvimos la oportunidad de aprender en el aula de clase y crecer profesionalmente. A todos aquellos compañeros con quienes triunfamos y también fallamos, con quienes aprendimos a lo largo del proceso la importancia de la amistad y a defender la universidad pública.

**Tabla de Contenido**

Introducción . . . . .	14
1 Objetivos. . . . .	16
1.1 Objetivo General . . . . .	16
1.2 Objetivos Específicos . . . . .	16
2 Misión Orion UIS - LASC 2022 . . . . .	17
2.1 Definición del problema . . . . .	17
2.1.1 <i>Planteamiento de la misión</i> . . . . .	19
2.2 Este proyecto como parte de Orion UIS - Subsistema de aviónica . . . . .	23
3 Marco conceptual. . . . .	24
3.1 Cohetería experimental . . . . .	24
3.2 Aviónica . . . . .	26
3.3 Algoritmos para detección de apogeo . . . . .	30
4 Descripción del sistema . . . . .	32
4.1 Requerimientos técnicos del sistema . . . . .	32
4.1.1 <i>Requerimientos de Hardware</i> . . . . .	32
4.1.2 <i>Requerimientos de Software</i> . . . . .	33
4.2 Solución propuesta . . . . .	34
4.2.1 <i>Arquitectura general planteada</i> . . . . .	34
4.2.2 <i>Arquitectura por etapa específica</i> . . . . .	35
5 Simulación de sistemas . . . . .	49
5.1 Reguladores de tensión . . . . .	49
5.1.1 <i>Regulador lineal</i> . . . . .	49
5.1.2 <i>Buck converter</i> . . . . .	50
5.2 Canales pirotécnicos . . . . .	51
6 Implementación de la solución propuesta . . . . .	54
6.1 Implementación específica por etapa . . . . .	54
6.1.1 <i>Implementación de la etapa de potencia</i> . . . . .	54
6.1.2 <i>Implementación de la etapa de procesamiento</i> . . . . .	55
6.1.3 <i>Implementación de la etapa de sensado</i> . . . . .	57
6.1.4 <i>Implementación de la etapa de control</i> . . . . .	62
6.1.5 <i>Implementación de la etapa de almacenamiento</i> . . . . .	66
6.1.6 <i>Implementación de la etapa de telemetría</i> . . . . .	67
6.1.7 <i>Implementación de la etapa de visualización</i> . . . . .	70
6.2 Integración general del sistema . . . . .	72

7 Conclusiones . . . . .	82
8 Recomendaciones . . . . .	83
9 Trabajo Futuro . . . . .	84
Referencias Bibliográficas . . . . .	87
Apéndices . . . . .	88

**Lista de Tablas**

1	<i>Tabla de selección de dispositivos para aviónica a bordo.</i> . . . . .	36
2	<i>Tabla de selección de dispositivos para estación terrena.</i> . . . . .	36
3	<i>Características técnicas baterías para aviónica a bordo.</i> . . . . .	37
4	<i>Tabla comparativa - especificaciones técnicas reguladores pre-seleccionados.</i> . . . . .	38
5	<i>Tabla comparativa - microcontroladores pre-seleccionados.</i> . . . . .	39
6	<i>Tabla comparativa - sensores unidades iniciales pre-seleccionados.</i> . . . . .	41
7	<i>Tabla comparativa - sensores de presión atmosférica.</i> . . . . .	42
8	<i>Tabla comparativa - localizadores geográficos preseleccionados.</i> . . . . .	44
9	<i>Tabla comparativa - transistores canal N preseleccionados.</i> . . . . .	45
10	<i>Especificaciones técnicas tarjeta microSD seleccionada.</i> . . . . .	46
11	<i>Tabla comparativa - módulos transceptores pre-seleccionados.</i> . . . . .	47
12	<i>Dispositivos utilizados - Etapa de telemetría.</i> . . . . .	67
13	<i>Pruebas realizadas etapa de telemetría.</i> . . . . .	67
14	<i>Proceso de desarrollo de placas aviónica.</i> . . . . .	73
15	<i>Reglas de diseño definidas.</i> . . . . .	76

## Lista de Figuras

1	<i>Parche de la misión Orion UIS - LASC 2022</i>	15
2	<i>Subsistemas que componen un cohete sonda.</i>	17
3	<i>Subsistema de propulsión - composición del motor.</i>	20
4	<i>Subsistema de estructuras - composición.</i>	20
5	<i>Subsistema de estructuras - sistema de acoplamiento.</i>	21
6	<i>Carga útil - satélite tipo CanSat</i>	22
7	<i>Descripción del subsistema de estación terrena.</i>	22
8	<i>Perfil de vuelo descrito por un cohete sonda. (Fuente:)</i>	25
9	<i>Funcionamiento general de la aviónica.</i>	27
10	<i>Arquitectura general Subsistema Aviónica.</i>	34
11	<i>Arquitectura por etapa específica.</i>	35
12	<i>Baterías LiPo y Li-Ion pre-seleccionadas</i>	37
13	<i>Regulador convertidor reductor.</i>	38
14	<i>Microcontroladores pre-seleccionados</i>	39
15	<i>IMU preseleccionadas</i>	40
16	<i>Barométricos preseleccionados</i>	41
17	<i>Módulos GPS preseleccionados</i>	43
18	<i>Etapa de control - Transistores preseleccionados</i>	45
19	<i>Dispositivos de almacenamiento seleccionados</i>	46
20	<i>Modulos transceptores pre-seleccionados</i>	47
21	<i>Simulación - regulador lineal</i>	49
22	<i>Graficas de tensión de entrada y salida del regulador lineal.</i>	50
23	<i>Simulación - Convertidor reductor</i>	51
24	<i>Graficas de tensión de entrada y salida del Buck Converters.</i>	51
25	<i>Simulación - Canales pirotecnicos</i>	52
26	<i>Graficas de tensión de entrada y salida del canal pirotécnico.</i>	52
27	<i>Módulo regulador MP2307</i>	55
28	<i>Ajuste y validación de módulos reguladores.</i>	55
29	<i>Validación de la tensión de carga en las celdas.</i>	56
30	<i>ESP32 versión modulo - NodeMCU</i>	56
31	<i>Módulo NodeMCU-ESP32 ejecutando tareas en sus 2 núcleos.</i>	56
32	<i>Algoritmo general implementado.</i>	57
33	<i>Diagrama de conexiones sensor barométrico.</i>	58
34	<i>Implementación sensor barométrico MS5611</i>	59
35	<i>Datos obtenidos - Implementación estática del sensor MS5611</i>	60

36	<i>Diagrama de conexiones sensor de unidades inerciales.</i>	61
37	<i>Implementación sensor de unidades inerciales BNO055</i>	61
38	<i>Datos obtenidos - Implementación estática del sensor BNO055</i>	62
39	<i>Datos obtenidos - Implementación en movimiento del sensor BNO055</i>	63
40	<i>Diagrama de conexiones localizador geográfico GPS NEO 6M.</i>	64
41	<i>Implementación localizador geográfico GPS NEO 6M</i>	64
42	<i>Resultados de búsqueda a través de coordenadas arrojadas por GPS.</i>	64
43	<i>Diagrama para circuito de ignición.</i>	65
44	<i>Validación de funcionamiento de los circuitos de ignición.</i>	65
45	<i>Datos almacenados por parte de los sensores.</i>	66
46	<i>Módulos transmisor y receptor para pruebas de telemetría.</i>	67
47	<i>Líneas de vista de las pruebas de telemetría realizadas</i>	68
48	<i>Prueba de telemetría 1.</i>	69
49	<i>Prueba de telemetría 2.</i>	69
50	<i>Prueba de telemetría 3.</i>	70
51	<i>Validación de la información recibida - prueba 3.</i>	71
52	<i>Algoritmo implementado para la etapa de visualización.</i>	71
53	<i>Interfaz local desarrollada en Java.</i>	72
54	<i>Diagrama ilustrativo de integración final.</i>	72
55	<i>Evidencias placa desarrollada 1.</i>	74
56	<i>Evidencias placa desarrollada 2.</i>	74
57	<i>Proceso de diseño placa de pruebas 3.</i>	75
58	<i>Evidencias placa desarrollada 2.</i>	76
59	<i>Proceso de diseño circuito impreso 4.</i>	77
60	<i>Evidencias placa de circuito impresa 4.</i>	77
61	<i>Proceso de diseño placa de circuito impreso 5.</i>	78
62	<i>Evidencias placa de circuito impresa 5 y diseño base soporte.</i>	79
63	<i>Evidencias de integración aviónica y estructura.</i>	79
64	<i>Prueba de lanzamiento 1 - variables inerciales</i>	80
65	<i>Prueba de lanzamiento 1 - variables atmosféricas</i>	81
66	<i>Prueba de lanzamiento 1 - detección de apogeo</i>	81
67	<i>Prueba de lanzamiento 2 - variables inerciales</i>	82
68	<i>Prueba de lanzamiento 2 - variables atmosféricas</i>	82
69	<i>Prueba de lanzamiento 2 - detección de apogeo</i>	83
70	<i>Resultados de lanzamiento - explosión.</i>	83
71	<i>Diseño PCB final - esquemático.</i>	88

## Lista de Apéndices

## Glosario

- **VSC:** "Visual Studio Code".
- **IoT:** "Internet of Things" o Internet de las Cosas. Es la agrupación e interconexión de dispositivos y objetos a través de una red.
- **SMF:** "Single Mode Fiber" o Fibra Óptica Monomodo. Diseñada para transportar luz en un solo modo de propagación.
- **SNR:** "Signal to Noise Ratio" o
- **SPI:** "Serial Peripheral Interface" o Interfaz de Periféricos Serial. Estándar de comunicación utilizado para la transferencia de información entre circuitos integrados en dispositivos electrónicos.
- **Trama:** unidad de envío de datos.
- **UART:** "Universal Asynchronous Receiver Transmitter" o Transmisor-Receptor Asíncrono Universal. Protocolo para el intercambio bidireccional de datos entre dos dispositivos.

## Resumen

**Título:** Diseño, implementación y validación de la aviónica para el cohete sonda de combustible sólido Orion UIS partícipe en el Latin American Space Challenge 2022 <sup>1</sup>

**Autor:** Juan Martin Vivas Camargo, Santiago Hernández Rincón<sup>2</sup>

**Palabras Clave:** Cohete sonda, aviónica, telemetría, electrónica, sistema, satélite

**Descripción:** El presente trabajo de investigación se fundamenta a partir de la necesidad por parte del Semillero de Cohetería UIS Aeroespacial de implementar una tarjeta electrónica funcional en el cohete sonda Orion UIS, el cual participa en el concurso de cohetería LASC organizado en Brasil. Existen varias alternativas de diseño que permiten crear la tarjeta electrónica de un cohete; sin embargo, para lograr un correcto funcionamiento, esta misma se debe ajustar a los requerimientos específicos delimitados por las condiciones de funcionalidad durante el vuelo, las normas impuestas por el ente organizador y la compatibilidad en general de todo el cohete. Por tal motivo, surge la necesidad de plantear este proyecto que busca desarrollar la aviónica para un cohete sonda de combustible sólido a partir del diseño, la implementación y la validación de los subsistemas electrónicos que la componen, tomando como referencia diseños que existen en la actualidad. Esta tarjeta electrónica hará parte de la misión Orion UIS y en conjunto con los demás sistemas del cohete, busca alcanzar una altura máxima de 3km, llevando como carga útil un satélite tipo CanSat hecho con el objetivo de recopilar información de variables atmosféricas presentes en el lugar de lanzamiento Tatui - Brasil, al mismo tiempo que la tarjeta electrónica busca almacenar información de las variables presión, temperatura, altura, aceleración, campo magnético, aceleración angular y posición geo espacial para mostrarlas en una estación ubicada en tierra y para determinar el momento preciso de eyectar los paracaídas que garanticen el descenso seguro del cohete. A fin de cumplir dicho objetivo, se realiza el diseño de la aviónica del cohete la cual se encuentra separada en 4 etapas: Etapa de telemetria, Etapa de procesamiento y gestión de datos, etapa eyección de la carga útil y etapa de eyección del sistema de recuperación. Para cada subsistema se lleva a cabo una selección de hardware, la cual incluye la elección de dispositivos electrónicos y demás elementos necesarios para su funcionamiento. Adicional a esto, se realizan los algoritmos para efectuar la simulación de cada subsistema y se procede a simular su funcionamiento bajo condiciones reales. Finalmente se implementan en

---

<sup>1</sup>Trabajo de grado

<sup>2</sup>Facultad de Ingenierías Físico-Mecánicas. Escuela de Ingenierías Eléctrica, Electrónica y telecomunicaciones. Director: Julián Rodríguez Ferreira, Doctorado en Física, Especialidad astrofísica

conjunto todos los subsistemas en la tarjeta electrónica final y se caracteriza en laboratorio su funcionamiento, para posteriormente llevar a cabo la validación final de la tarjeta electrónica mediante un dron, el cual es el vehículo aéreo no tripulado que mejor asemeja el vuelo de un cohete.

**Abstract**

**Title:** Title <sup>3</sup>

**Author(s):** Juan Martín Vivas Camargo, Santiago Hernández Rincón<sup>4</sup>

**Key Words:** Rocket

**Description:** Description of the project

---

<sup>3</sup>Bachelor Thesis

<sup>4</sup>Facultad de Ingenierías Físico-Mecánicas. Escuela de Ingenierías Eléctrica, Electrónica y telecomunicaciones. Director: Julián Rodríguez Ferreira, Doctorado en Física, Especialidad astrofísica

## Introducción

En el afán y deseo del ser humano de encontrar una respuesta a cada acontecimiento que ocurre en su entorno, se han desarrollado un sin fin de tecnologías que acercan al hombre a dicho objetivo. La profundidad del espacio y la curiosidad de saber qué hay más allá de lo que fácilmente se puede observar, han sido el motor para el avance tecnológico en las ciencias aeroespaciales, pues, desde los años 50 y con objetivos poco amigables, se han desarrollado cohetes que permiten al ser humano cumplir con cierto tipo de misiones propuestas por los mismos.

Los cohetes son el resultado del ingenio y destreza del ser humano, motivado por la curiosidad de explorar nuevos caminos. Estos dispositivos han sido utilizados como medios de transporte para llegar a lugares lejanos y poco concurridos, tanto así que se han podido tener como pasajeros a bordo desde grandes avances tecnológicos hasta personas y animales que en algunas ocasiones lograron llegar a su destino exitosamente.

En la actualidad, la cohetería se ha dividido en diferentes campos según sus objetivos de misión, dentro de ellas se encuentra la cohetería experimental, la cual ha sido foco de interés por parte de entusiastas en el área, académicos a través de semilleros de investigación de universidades al rededor de todo el mundo, empresas de índole público y privado, entre otras. Lo anterior, ha logrado que la esta práctica sirva como puente de conexión entre diferentes áreas del conocimiento, lo cual ha resultado en grandes hitos en el área a pequeña, mediana y gran escala.

La cohetería experimental se caracteriza por ser una práctica que hace uso de un tipo de cohetes en específico, se trata de los cohetes sonda. Este tipo de cohetes tiene como objetivo transportar instrumentos de investigación astrofísica a grandes alturas con el fin de someter dichos instrumentos a condiciones similares a las que requiere su misión. Estas prácticas profesionales suelen ser desarrolladas por grandes compañías a nivel internacional como la NASA o SpaceX, las cuales, son las grandes potencias mundiales en las ciencias aeroespaciales en la actualidad. Los cohetes sonda se diferencian de los demás por sus características de vuelo, ya que, la duración del mismo (la cual puede variar dependiendo de su aplicación), no suele durar más de 30 minutos, y, adicionalmente, la construcción de estos cohetes puede estar fundamentada en combustibles sólidos, líquidos, hidráulicos o híbridos.

Si bien, la cohetería experimental se puede presentar a gran escala desarrollada por compañías potencias en el área, este tipo de actividad también se lleva a cabo a nivel académico y entusiasta en diferentes partes del mundo. Tal es la acogida por parte de estudiantes, docentes, profesionales y público en general, que a nivel global se desarrollan competencias en éste ámbito, como por ejemplo el American Rocketry Challenge ARC,

evento el cual es el más grande a nivel mundial, logrando albergar al rededor de 5000 participantes cada año en los Estados Unidos. De la misma manera, el Latin American Space Challenge - LASC, el cual es el segundo evento de cohetería más grande del mundo y el más grande a nivel latinoamericano, esta competencia logra reunir cerca de 1000 participantes cada año en Brasil.

Por lo anterior, es posible deducir que la cohetería experimental y en general las ciencias aerospaciales, son actividades científicas capaces de integrar diversas disciplinas y ramas de la ingeniería, como lo son la ingeniería electrónica, ingeniería mecánica, ingeniería química, diseño industrial, entre otras. Esto permite que el desarrollo de un cohete sonda se pueda realizar modularmente, dividiendo el resultado final en objetivos específicos desarrollados por equipos de cada área del conocimiento. Cada división recibe el nombre de subsistema, siendo los subsistemas de propulsión, aviónica, estructuras, carga útil y recuperación los indispensables en cada misión.

El Semillero de Cohetería UIS Aeroespacial de la Universidad Industrial de Santander, de la mano de 18 integrantes del mismo, inscribe su participación en la competencia LASC 2022 en la categoría de cohetería experimental cuyo apogeo alcance 3 Km de altura y lleve en su interior una carga útil de 4 Kg. Esta misión recibe el nombre de Orion UIS y tiene como objetivo representar a Colombia, ya que, el evento recibe un total de 60 equipos, de los cuales, la misión Orion UIS es la única representación colombiana.

El presente trabajo de grado fundamenta teórica y prácticamente al subsistema de aviónica de la misión Orion UIS, a través del mismo se plasma el desarrollo realizado para alcanzar los objetivos planteados por el equipo en base de los requerimientos técnicos que se requiere y a las condiciones estipuladas por el ente organizador del evento. Como resultado final, a través de procesos de diseño, implementación y validación, se obtiene el desarrollo de un prototipo de placa de circuito impreso, el cual abarca todos los requerimientos planteados, se ajusta a las condiciones del evento y adicionalmente, sienta un precedente en el desarrollo de estas tecnologías a nivel nacional.

Figura 1: *Parche de la misión Orion UIS - LASC 2022*



## 1 Objetivos

### 1.1 Objetivo General

Desarrollar la aviónica para un cohete sonda de combustible sólido cuyo apogeo es de 3 km.

### 1.2 Objetivos Específicos

- Diseñar la arquitectura general de la aviónica para el cohete Orion UIS estableciendo los requerimientos técnicos de los subsistemas (procesamiento y gestión de datos, telemetría, control de eyección del sistema de recuperación y de la carga útil), teniendo en cuenta las condiciones del lugar de lanzamiento.
- Seleccionar rigurosamente los dispositivos electrónicos comerciales que harán parte de cada subsistema.
- Validar el funcionamiento y la respuesta de los dispositivos electrónicos seleccionados por cada etapa a los requerimientos técnicos de la misión.
- Establecer la integración de todas las etapas que componen al sistema basándose en los requerimientos técnicos definidos y la arquitectura general establecida.
- Asegurar el correcto funcionamiento de los subsistemas de la avionica del cohete Orion UIS operando simultáneamente.

## 2 Misión Orion UIS - LASC 2022

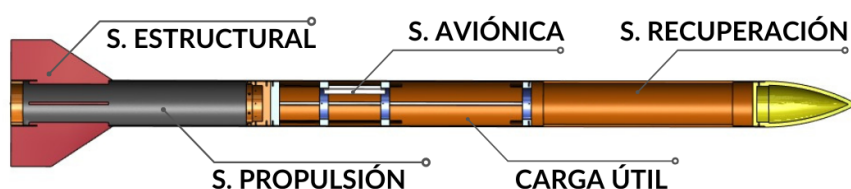
### 2.1 Definición del problema

En la actualidad, el desarrollo tecnológico es el medio más confiable con el que cuenta el ser humano para evolucionar en las distintas áreas del conocimiento. Por ello, se hace necesario comprender el avance tecnológico actual, con el objetivo de desarrollar nueva tecnología que resulte en avances significativos para el desarrollo de la humanidad. La curiosidad del ser humano en conocer las condiciones del entorno en el cual habita y su deseo de descubrir aún más allá de las mismas, ha llevado al desarrollo e invención de dispositivos que lo acerquen a dicho objetivo, pues, la llegada de los siglos XX y XXI han traído consigo el desarrollo de cohetes, permitiendo así al ser humano escapar del planeta tierra y explorar las fronteras del mismo. [Taylor, 2017].

El avance aeroespacial en el área de cohetería se presenta al rededor del mundo con diferentes enfoques, como lo son educativos, lúdicos, comerciales, experimentales y de innovación. Tanto así, que el desarrollo de cohetes se remonta a los años 400 A.C, donde si bien, los experimentos realizados no se conocían por el nombre de cohete, se regían bajo los principios de la tercera ley de newton de acción y reacción aún sin haber sido establecida [Taylor, 2017]. En ese orden de ideas, los cohetes, definidos como cualquier dispositivo de propulsión a chorro que lleve propulsores, bien sea de composición sólida, líquida o híbrida [Biblarz and Price, 2020], son de gran importancia, pues a través de los mismos se llevan a cabo actividades relevantes en el avance tecnológico.

Existen diferentes tipos de cohetes, los cuales se clasifican en categorías según su estructura, mecanismo de propulsión, alcance o misión. Los **Cohetes Sonda** son un tipo de cohete que, según la NASA (2022), son considerados como una herramienta única para llevar a cabo investigaciones científicas, en regiones importantes del espacio que son demasiado bajas para ser muestreadas por satélites. Estos cohetes se caracterizan por construirse entorno a 5 subsistemas bases, los cuales cumplen con funciones específicas dentro del funcionamiento de un cohete de este tipo.

Figura 2: Subsistemas que componen un cohete sonda.



Tal como se presenta en la Figura 2, los subsistemas que conforman un cohete sonda son: estructura, propulsión, aviónica, recuperación y carga útil, para los cuales se describirá su composición y funcionamiento en capítulos posteriores.

La cohetería experimental a partir de cohetes sonda se ha desarrollado al rededor del mundo por parte de semilleros de investigación de universidades, entidades gubernamentales, empresas públicas, empresas privadas y aficionados. Actualmente, a nivel global, las empresas líderes en ciencias aeroespaciales se ubican geográficamente en Estados Unidos, Rusia y China [Niebles, 2022], sin presentarse mayores cambios en los protagonistas, pues desde el inicio de la implementación de cohetes sonda en los años 60's y 70's, donde, como resultado de la segunda guerra mundial, países como Estados Unidos, la Unión Soviética y el continente europeo en general, realizaban lanzamientos de este tipo de cohetes con gran frecuencia [Seibert and Battrick, 2006]. Sin embargo, a nivel nacional, el trabajo investigativo y las alianzas académicas por parte de universidades como la Universidad de Los Andes y la Universidad de San Buenaventura en su proyecto Ainkaa Alpha, el cual consta de un cohete sonda con un alcance teórico de 12Km[Serrato and Rojas, 2018], o el avance investigativo por parte de la Universidad Industrial de Santander en su proyecto de cohete Hickam [Merino et al., 2017] demuestran el interés nacional por las ciencias aeroespaciales, sentando así un precedente en el área. Por otro lado, en América Latina desde el año 2018, se lleva a cabo anualmente el evento de cohetería experimental y educativa más grande de la región, se trata del LASC por sus siglas en inglés ***Latin American Space Challenge*** [LASC, 2022], un evento desarrollado en Brasil que aloja estudiantes universitarios, aficionados y empresas interesadas en las ciencias aeroespaciales y el desarrollo tecnológico.

En base a lo anteriormente mencionado y conforme al subsistema de aviónica mostrado en la Figura 2, el cual es el encargado de ejecutar los accionamientos necesarios en cada etapa del vuelo, cumplir con el sensado de variables atmosféricas, procesar su información y enviar los datos resultantes a una estación ubicada en tierra para su posterior análisis, el **Semillero de Cohetería UIS Aeroespacial - SCUA**[SCUA, 2022a] en su deseo de participar en la edición **LASC 2022** en la categoría de lanzamiento de un cohete sonda de combustible sólido que alcance 3Km de apogeo, establece la necesidad de implementar un sistema electrónico que cumpla con los requerimientos del subsistema de la aviónica para este cohete. El presente proyecto, se encarga de diseñar, desarrollar y validar la solución a la necesidad planteada, llevando a cabo la implementación en el área metropolitana de Bucaramanga para posteriormente realizar el lanzamiento en Tatuí - Brasil, en la misión denominada por los integrantes del semillero SCUA: **Órion-UIS**.

### 2.1.1 *Planteamiento de la misión*

El desafío espacial latinoamericano ***Latin American Space Challenge - LASC*** es una competencia con fines académicos y experimentales que busca motivar a sus participantes en la incursión de las ciencias aeroespaciales, más específicamente en el desarrollo de cohetes sonda y satélites experimentales. El desafío tiene como objetivo el lanzamiento de cohetes y el desarrollo de satélites en diferentes categorías, buscando la unión de ambos retos al integrar el satélite como carga útil del cohete. Las diferentes categorías del desafío de cohetería, se diferencian por dos parámetros básicos, el tipo de propulsión (combustible sólido, líquido o híbrido) y el alcance del mismo (0.5Km, 1Km o 3Km), por otro lado, las categorías de satélites se diferencian por su tipo de implementación (satélite enlatado o satélite tipo cubo)[LASC, 2022].

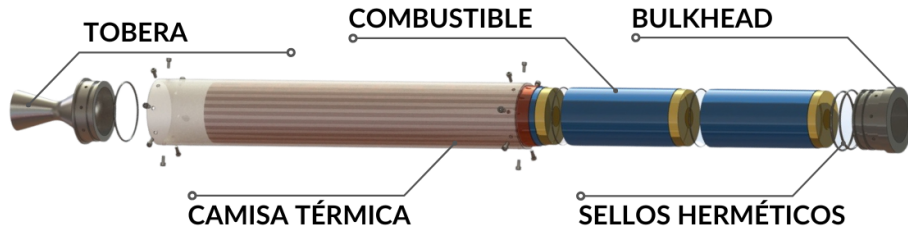
El **Semillero de Cohetería UIS Aeroespacial - SCUA**, a través de la misión **Orion - UIS**, integra una cantidad de 18 personas, dentro de las cuales, participan estudiantes de ingeniería electrónica, ingeniería mecánica, ingeniería de sistemas y diseño industrial. Inicialmente se asignan subgrupos con roles específicos acorde a las necesidades de los subsistemas ilustrados en la Figura 2. De allí, se busca generar una integración multidisciplinaria en el diseño, implementación y validación del cohete Orion UIS.

- ***Subsistema de propulsión***

Este subsistema es el encargado de producir el empuje necesario para que la estructura del cohete, donde están contenidos los demás subsistemas, ascienda hasta la altura deseada. El combustible, fabricado a base de KNO<sub>3</sub> y Sorbitol[Olde et al., 2019], se compone de tres granos propulsores los cuales son fundidos y moldeados a la geometría de la camisa del motor con moldes cilíndricos fabricados en impresión 3D. Los granos están cubiertos por cartón y ubicados en una estructura que los sostiene de forma lineal, separados entre sí por dos juntas tóricas. Finalmente, la estructura lineal que contiene los granos se encaja dentro de la camisa térmica de acero inoxidable, y, con la ayuda de una junta atornillada (*Bulkhead*) y sellos herméticos se asegura una correcta compresión dentro del motor. La tobera, una de las partes fundamentales en el funcionamiento del motor, es la encargada de acelerar los gases producidos por la combustión que están almacenados en la recámara de combustión y su función es optimizar el empuje que entrega el motor y dirigir el cohete sonda verticalmente. La composición del subsistema de propulsión se puede obser-

var en la Figura 3

Figura 3: *Subsistema de propulsión - composición del motor.*

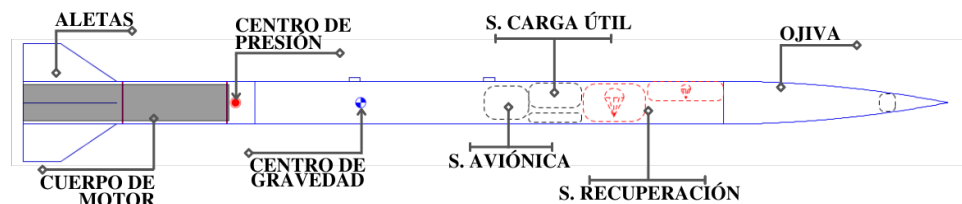


- *Subsistema de estructura*

La estructura del cohete sonda Orion UIS, es el subsistema donde se contienen los demás subsistemas que conforman el proyecto, su diseño se realiza teniendo en cuenta las características técnicas del material usado como base en el cuerpo del mismo, buscando así, generar firmeza y resistencia en la estructura, de modo que se asegure rigidez y estabilidad del cohete sin perder de vista los parámetros aerodinámicos que el vuelo demanda. El diseño fue realizado en base a la metodología ***Design for Manufacturing and Assembly - DMA***[Shao et al., 2012], lo cual tiene como objetivo cumplir con los requerimientos mecánicos, aerodinámicos y de confiabilidad, garantizando procesos de fabricación disponibles y un ensamblaje rápido y seguro.

Para facilitar el acople de los subsistemas, el diseño y fabricación de la estructura se hace de forma modular, adaptando cada sección con base a las condiciones de funcionamiento que debe tener cada subsistema. Las secciones dentro de la estructura se dividen en: subsistema de recuperación, subsistema de carga útil (*CanSat*) y subsistema aviónica.[SCUA, 2022b]

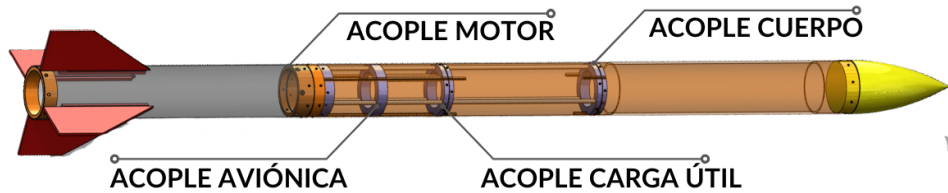
Figura 4: *Subsistema de estructuras - composición.*



Tal como se observa en la Figura 4, la estructura del cohete **Orion - UIS** se compone por el extremo cónico llamado ojiva, las tres secciones que componen el cuerpo

del cohete, los tres anillos de acoplamiento mostrados en la Figura 5 que unen el cuerpo del cohete con el motor, la cubierta del motor donde va contenido el mismo y el *Rack* interno donde se encaja la carga útil, subsistema de recuperación y subsistema aviónica.[SCUA, 2022b]

Figura 5: *Subsistema de estructuras - sistema de acoplamiento.*

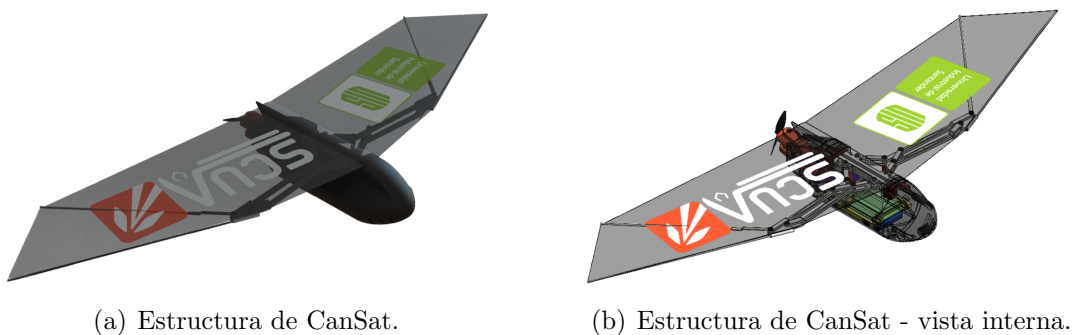


- ***Subsistema de carga útil***

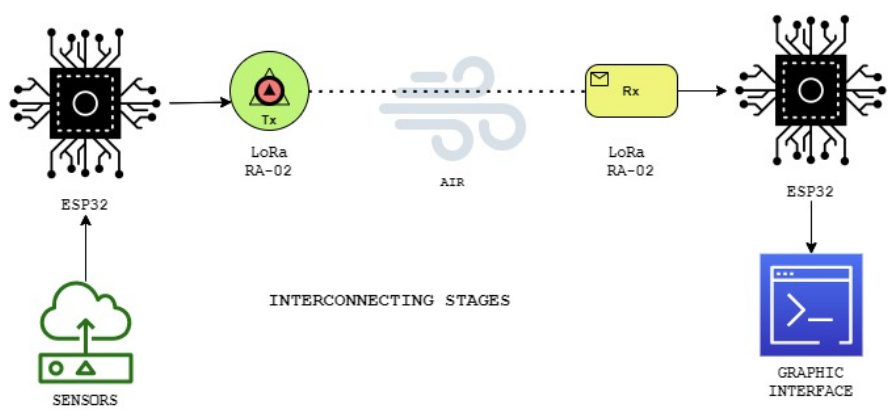
Tal como se mencionó previamente, el desafío latinoamericano de cohetería LASC tiene el objetivo de motivar a los participantes a desarrollar y lanzar un cohete que tenga como carga útil un satélite, por ende, y conforme a la misión que el equipo del semillero SCUA desarrolla frente a la competencia, se propone llevar como carga útil un satélite tipo CanSat desarrollado por integrantes del mismo equipo. El satélite tipo CanSat, se diseña con el objetivo de recopilar información sobre variables atmosféricas presentes en la zona de lanzamiento, tales como: presión atmosférica, temperatura, niveles de partículas por millones de compuestos orgánicos volátiles, humedad, dióxido de carbono, monóxido de carbono, nitrógeno, dióxido de carbono y amoníaco. La eyección del satélite se controla por medio del subsistema aviónica, el cual, detecta el momento preciso en el que el CanSat debe ser expulsado del cohete y a través de su sistema de alas inspirado en las aves, planear y extender la duración de su descenso de manera que le permita sensar y procesar información de las variables mencionadas para así desarrollar perfiles atmosféricos verticales que permitan un posterior estudio de las condiciones atmosféricas de la zona. En la Figura 6, se puede visualizar el concepto del mismo.

- ***Subsistema de estación terrena***

Uno de los objetivos de la misión es visualizar en tiempo real el estado de los subsistemas que componen al cohete sonda y a su vez monitorear la etapa de la misión en la que se encuentra el mismo. De allí, surge la necesidad de generar una interfaz gráfica que permita visualizar dicha información.

Figura 6: *Carga útil - satélite tipo CanSat*

Acorde a la necesidad previamente mencionada, se da la posibilidad de establecer alianzas y vínculos entre diversos trabajos de grado, caso que se presenta en la ejecución de la misión Orion UIS, dado que, en conjunto al trabajo de grado *Diseño e Implementación del front-end y back-end de una plataforma IoT para recepción, registro y visualización de los datos de telemetría y del payload del cohete sonda de combustible sólido Orión del Semillero de Cohetería UIS Aeroespacial*, desarrollado por Ana María Sanchez Castillo y Laura Nathalia Pinto Campos, estudiantes de ingeniería electrónica de la Universidad Industrial de Santander, el subsistema aviónica abordado en el presente trabajo de grado proveerá la información y los parámetros necesarios para la construcción de la plataforma IoT desarrollada por las estudiantes.

Figura 7: *Descripción del subsistema de estación terrena.*

Visual Paradigm Online Free Edition

La estación terrena basa su funcionamiento en el uso de dispositivos electrónicos, principalmente de un microcontrolador, el cual, establece comunicación a través de un radioenlace punto a punto con el cohete y proporciona los datos recibidos al

servidor local a través del puerto serial utilizado por el microcontrolador.

## 2.2 Este proyecto como parte de Orion UIS - Subsistema de aviónica

La finalidad del presente trabajo de investigación es diseñar e implementar un prototipo de tarjeta electrónica capaz de llevar a cabo el correcto sensado de variables físicas, transmitir en tiempo real los datos obtenidos por los dispositivos electrónicos que la componen, controlar la ejecución del sistema de recuperación y de la carga útil; mediante una arquitectura diseñada para resistir a las condiciones del lugar de lanzamiento y requerimientos propios de la misión.

De tal manera, se desea implementar un algoritmo de control para los dos eventos que la etapa de recuperación requiere, dicho algoritmo será el encargado de detectar el momento preciso, en el cual, se deben desplegar cada uno de los paracaídas seleccionados por el equipo del subsistema de recuperación. El algoritmo debe ser confiable, ya que para el éxito de la misión es indispensable el correcto despliegue de los paracaídas en el momento adecuado. La aviática o computadora de vuelo tiene una sección dedicada al sistema de recuperación, esta sección trabaja en conjunto con los sensores seleccionados para el subsistema de procesamiento y gestión de datos, y a través de la lógica programada en el microcontrolador se detecta el momento preciso para la activación del paracaídas de dragueo y el paracaídas principal.

Asimismo, se tiene como objetivo sentar bases de innovación para que se de origen a nuevos trabajos de investigación sobre la cohetería, tanto a nivel Universitario como por parte de la comunidad científica local, ya que, actualmente es difícil el acceso a registros confiables sobre mediciones de variables atmosféricas y propias de un cohete sonda durante una misión de lanzamiento. Se espera que, con base a lo registrado en el presente trabajo de investigación, se continúe trabajando en hacer más robusto el sistema planteado para así permitir obtener resultados más exactos, o dar un paso más allá y expandir los objetivos de la misión agregando más dispositivos o nuevas tecnologías.

Finalmente, la solución propuesta por parte de los integrantes del subsistema aviónica, da origen al presente trabajo de investigación, que, en conjunto al grupo de investigación CEMOS y el Semillero de Cohetería UIS Aeroespacial - SCUA, buscan brindar apoyo en la solución de la problemática entorno a la misión Orion UIS partícipe del Latin American Space Challenge - LASC y así representar a la Universidad Industrial de Santander y Colombia en la competencia llevada a cabo los días 05, 06 y 07 de agosto del año 2022 en la ciudad de Tatuí, Brasil.

### 3 Marco conceptual

#### 3.1 Cohetería experimental

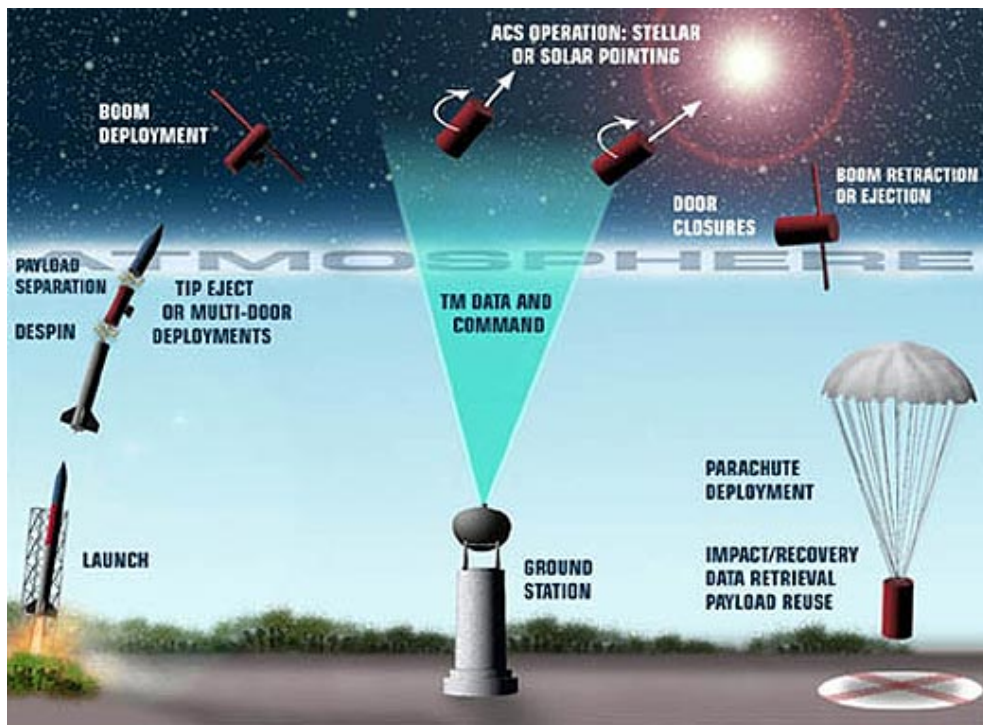
Se entiende por cohetería experimental a la práctica científica que permite la implementación de proyectos de investigación entorno al desarrollo de cohetes sonda a pequeña, mediana y gran escala [Suta et al., 2020]. La cohetería experimental remonta sus inicios a los años 50, donde las grandes potencias mundiales al ver el alcance que se podía tener al desarrollar esta práctica, se incursionan en la famosa carrera espacial logrando así grandes hitos en las ciencias aeroespaciales a nivel mundial [Peña and Mora, 2010].

Es posible pensar que Colombia al ser un país en desarrollo no haya tenido aportes en las ciencias aeroespaciales o incluso en la cohetería experimental, sin embargo, personajes como Isaías Moreno Moncada pionero nacional en cohetería en los años 60, instituciones como la Universidad San Buenaventura, la Universidad de Los Andes con su alianza en el lanzamiento del cohete sonda AINKAA 1 o la Fuerza Aérea Colombiana, demuestran todo lo contrario al ser pioneros y protagonistas en la cohetería experimental y en el desarrollo e innovación aeroespacial del país [Bolívar and Sabogal, 2011]. Por otro lado, en Colombia también se han presentado desarrollos aeroespaciales a gran escala en el área de satélites con propósitos académicos, como la misión del satélite **Libertad 1** desarrollado por la Universidad Sergio Arboleda logrando permanecer en órbita [Olarte and Sanjuán, 2013], o el satélite **FACSAT-1** desarrollado por la Fuerza Aérea Colombiana, el cual, fue puesto en órbita en el año 2018 y aún se mantiene allí. Lo anteriormente mencionado soporta el interés de los semilleros de investigación, entidades gubernamentales y privadas en el avance tecnológico.

La cohetería experimental se ve fuertemente ligada a los cohetes sonda los cuales, según la NASA, son así llamados por la analogía utilizada en aplicaciones náuticas refiriéndose a la acción de medir[Marconi, 2004]. Los cohetes sonda son vehículos que tienen misiones académicas o científicas, su duración depende de la altura objetivo y puede ser de 1 hasta 20 minutos, tiempo que para aplicaciones de organizaciones como la NASA es más que suficiente y son consideradas como oportunidades únicas para realizar pruebas de instrumentos o futuros avances tecnológicos [NASA, 2004].

La Figura 8 describe el perfil de vuelo que un cohete sonda realiza en un lanzamiento exitoso y para lograrlo, los cohetes sonda experimentales se componen de 5 subsistemas básicos: subsistema de propulsión, subsistema estructural, subsistema de aviónica, subsistema de carga útil y subsistema de recuperación (ver Figura 2). Cada uno de los subsistemas cumple con una función específica dentro del perfil de vuelo, a continuación se describe brevemente cada uno de los subsistemas y sus componentes fundamentales. Por otro lado, los cohetes sonda se pueden clasificar según su tipo de propulsión ya que,

Figura 8: Perfil de vuelo descrito por un cohete sonda. (Fuente:)



se pueden encontrar cohetes sonda de combustible sólido, líquido, hidráulico o híbrido, siendo los cohetes de combustible sólido e hidráulicos los más utilizados en la cohetería experimental, por lo cual, el foco de estudio en el presente trabajo se enfoca en los cohetes sonda de combustible sólido.

- **Subsistema de propulsión:** Es el subsistema encargado de proporcionar la suficiente fuerza de empuje que la misión requiere. A través de un proceso de combustión en la recamara interna del motor, se produce un alto flujo de partículas sólidas, las cuales, al salir a tan alta velocidad, producen un intercambio de energía que resulta finalmente en el movimiento de la masa total del cohete a través del aire y del espacio. Las partículas solidas eyectadas hacen parte del grano que conforma el combustible y sin ellas no podría ser posible la fuerza producida. La duración del proceso de combustión dura la cantidad de tiempo que existan partículas al interior del motor.[Huth et al., 1958]
- **Subsistema de aviónica:** Se denomina *cerebro de la misión* al subsistema de aviónica, dado qué, una vez el cohete sonda se establece en el riel de lanzamiento sin contacto externo alguno, la única interacción entre el mismo será a través de la comunicación existente entre los subsistemas generada por el subsistema de aviónica. Este subsistema se encarga de asegurar la toma de mediciones, procesar información, almacenar información requerida, realizar accionamiento cuando sea necesario, ase-

gurar un correcto despliegue del sistema de recuperación y localizar el vehículo una vez ha aterrizado. La cantidad de tareas del subsistema aviónica puede variar según la misión que se esté llevando a cabo.

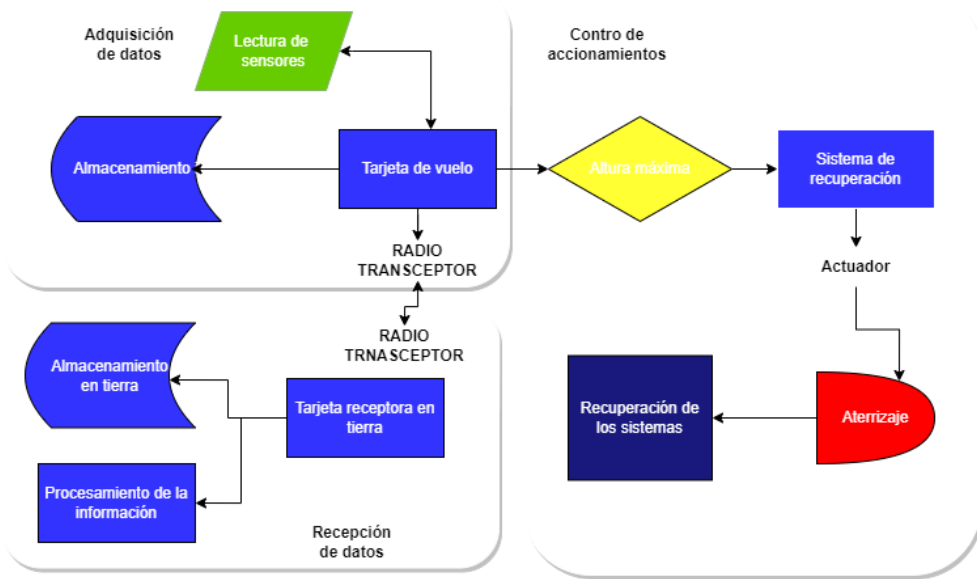
- **Subsistema de estructuras:** Las funciones del subsistema de estructuras se basan en asegurar un correcto acople de los demás subsistemas al cohete. A partir del diseño y planeación, se encargan de envolver y fijar cada subsistema en su correspondiente lugar dentro del cohete, además de proteger y sostener cada componente del mismo. Por otro lado, este subsistema es el encargado de brindar las condiciones aerodinámicas pertinentes que resulten en el éxito del vuelo del cohete teniendo en cuenta puntos críticos como el centro de masa y centro de presiones del cohete sonda [Garino et al., 2009].
- **Subsistema de carga útil:** Es el único subsistema totalmente independiente del cohete, sin embargo, normalmente su desarrollo requiere un nivel de complejidad mucho más avanzado, pues en teoría, la carga útil es el epicentro de la misión y el objetivo del cohete sonda es transportar la misma al lugar que se requiere.
- **Subsistema de recuperación:** Es el encargado de asegurar éxito en la misión, pues a partir de la recuperación del cohete sonda es posible determinar dicho factor de evaluación de una misión. Dependiendo de los objetivos de la misión, el sistema de recuperación puede componerse de 1 o 2 paracaídas que cumplen diferentes funciones en la etapa de recuperación. El subsistema de recuperación es el encargado de dimensionar la cantidad y el tamaño de dichos paracaídas, también de seleccionar los mecanismos de eyección de los mismos, tarea que se ejecuta en conjunto con el subsistema de aviónica y el subsistema de estructuras.

### 3.2 Aviónica

El término aviónica hace referencia a cualquier sistema presente en el cohete, el cual dependa de elementos electrónicos para garantizar su funcionamiento [Collinson, 2013]. Los primeros desarrollos de aviónica se fueron hechos para funcionar eficientemente en un solo tipo de vehículo de lanzamiento, bien fueran cohetes de combustible sólido, líquido o híbrido, haciendo poco eficientes los diseños dada su poca adaptabilidad. El foco central en el diseño de sistemas de aviónica en la actualidad, consiste en desarrollar nuevos prototipos capaces de adaptarse eficientemente a los diferentes tipos de cohetes que existen, soportando de una mejor manera el cambio generacional de la tecnología [KAWASE et al., 2008].

La aviónica es indispensable en el sistema de un cohete, ya que, es la encargada de llevar a cabo tareas de suma importancia, como incluir giroscopios y acelerómetros para medir el movimiento angular y lineal del cohete, incorporar sensores para medir la altura y variables atmosféricas, llevar a cabo envío de información usando tecnología de comunicación como radiofrecuencia o wifi y ejecutar los accionamientos requeridos durante la misión [Collinson, 2013].

Figura 9: Funcionamiento general de la avi nica.



Las etapas esenciales que tiene la aviónica en un cohete se pueden ver en la Figura 9, dichas etapas varían según el tipo de cohete que se quiera diseñar y los requerimientos de vuelo que deba cumplir el mismo durante la misión. Cada etapa cumple funciones diferentes en la aviónica, pero dependen entre sí para el correcto funcionamiento del sistema general, estas se definen como:

1. Recepción de datos: El primer requisito establece que el sistema de aviónica debe recibir comandos de la estación terrestre en tiempo real y ejecutarlos en el cohete.
  2. Control: El segundo requisito indica que el sistema debe controlar el cohete casi de forma autónoma.
  3. Adquisición de datos: El tercer requisito es adquirir datos de sensores en el cohete y almacenar esos datos internamente para transmitir la información seleccionada de vuelta a la estación terrestre.

Colombia cuenta con un escaso desarrollo en sistemas de aviática profesional, pues los únicos desarrollos que se presentan son a nivel educativo por parte de las universidades más importantes del país, un ejemplo, es el desarrollo de la aviática ***Simple-1 Cansat***, presente en el cohete de potencia media desarrollado por la Universidad EAFIT en colaboración con la Universidad de Texas de San Antonio [Botero et al., 2017].

Para llevar a cabo cada una de las etapas en la aviática de un cohete, se diseñan sub-etapas, donde se especifica en detalle cada elemento electrónico implementado, así como su función dentro de la aviática. Sin embargo, cabe recalcar y enfatizar que todas las sub-etapas hacen parte de la aviática, y si bien, pueden ser tratadas o diseñadas de forma independiente, todas están interconectadas entre sí. Es posible encontrar una estructura de sub-etapas que puede llegar a coincidir en la gran mayoría de misiones aeroespaciales:

- **Sub-etapa de procesamiento y control:** Encargado de servir como puente para comunicar todos los elementos electrónicos que conforman la aviática del cohete, además de procesar los datos de cada sub-etapa y controlar las acciones específicas. Se compone de:
  - ***Microcontroladores o micropresosadores:*** Encargados de ser el eje central de la aviática. El microcontrolador o micropresosador es el único dispositivo electrónico que tiene comunicación directa con todas las sub-etapas, para ello emplean "***protocolos de comunicación***", los cuales son indispensables para la transferencia de información entre dispositivos electrónicos [García, 2014]. Los protocolos de comunicación más usados en microcontroladores son: SPI, I2C y UART. La tecnología usada por dichos protocolos consiste en buses de datos, usados para sincronizar las transmisiones de información entre dispositivos usando o no ciclos de reloj. La transmisión puede ser bidireccional, es decir, que se envían datos en ambos sentidos entre emisor y receptor o direccional que solo permite enviar datos en una única dirección.
  - ***Señales de control:*** Son aquellas señales cuya función es activar circuitos electrónicos pertenecientes a la aviática una vez sean requeridos, dichos circuitos necesitan de una señal de entrada para activarse y ejecutar el accionamiento demandado según la etapa de vuelo. Entre las señales de control se destaca la señal de ***apogeo***, la cual hace referencia a un concepto clave dentro de la cohetería. El ***apogeo*** es el punto más alto que alcanza el cohete antes de empezar su descenso [Sierra Gamboa et al., 2019], una vez llegado a dicho punto el microcontrolador debe ejecutar una acción de control como respuesta para dar inicio a la siguiente etapa de vuelo y ejecutar los accionamientos necesarios para ello.

- **Sub-etapa de adquisición de datos y periféricos:**

- **Sensores:** Los sensores son todos aquellos dispositivos electrónicos que cuenta con una propiedad sensible a una magnitud del medio y varían con un valor de proporcionalidad conocido siempre que cambia dicha magnitud. Existen diversos tipos de sensores según la variable que se desee medir y el uso de cada uno depende de las necesidades que se requieran y las condiciones en las que se vayan a utilizar. Dentro de los sensores que se usan comúnmente en los proyectos de cohetería se destacan: Unidades de medición inercial(IMU), Velocímetros, barómetros, altímetros, GPS y sensores medidores de calidad del aire.
  - **Almacenamiento:** Son dispositivos que almacenan información digital como imágenes, programas o archivos. Comúnmente en proyectos de cohetería se usan las memorias MicroSD, las cuales cuentan con capacidad de almacenamiento entre 1 GB hasta 64 GB, además, ofrecen alta compatibilidad dada la fácil conexión por medio de los protocolos estándares de comunicación.
  - **Actuadores:** Encargados de recibir señales de control por parte del microcontrolador y accionar el mecanismo que corresponda para ese instante. Los MOSFET, usados como interruptores, son un claro ejemplo de actuadores, pues, su funcionamiento permite controlar el flujo de corriente a través de sus terminales aplicando una tensión de entrada en la terminal de compuerta del mismo.
  - **Indicadores visuales y auditivos:** Encargados de indicar el estado de funcionamiento de los dispositivos que conforman la misión, son indispensables para la ejecución de misiones aeroespaciales. Un ejemplo son los buzzer, los cuales son dispositivos electrónicos que pueden llegar a reproducir tonos de sonidos entre rangos de 1.5Hz a 2.5 kHz dependiendo de la frecuencia de entrada.
- **Sub-etapa de Comunicaciones:** Las comunicaciones están compuestas por dos partes separadas que se comunican entre sí, la ensamblada al cohete que se encarga de leer las variables y la parte de recepción de datos ubicada en la estación en tierra que recibe los datos en tiempo real. Normalmente, el enlace se establece a través de dispositivos de radio transceptores que transmiten los registros de las variables medidas durante el vuelo por medio de enlaces de radiofrecuencia establecidos en las bandas permitidas según la localización geográfica en la que se realice el lanzamiento [García Cabana et al., 2018]

### 3.3 Algoritmos para detección de apogeo

El apogeo es el instante en el que un cuerpo alcanza la altura máxima generada por una acción que produjo un empuje inicial, en este punto el cuerpo empieza a desacelerar debido a la gravedad hasta volverse nula. A continuación, la energía potencial gravitacional hará retornar al cohete, describiendo una trayectoria parabólica [Shane, 2016]. La detección correcta del momento de apogeo durante el vuelo de un cohete, es de los cometidos más importantes en la misión y con más dificultad debido a la alta exactitud y precisión que debe tener. Detectar el apogeo muy temprano tendrá como consecuencia el despliegue del paracaídas aun cuando la velocidad es muy alta, lo que va a provocar la pérdida del cohete y del sistema de recuperación, al mismo tiempo, detectar el apogeo muy tarde va a provocar que el despliegue del paracaídas no sea suficiente para estabilizar el cohete y este quede en caída libre a una velocidad constante y segura.

- ***Metodo 1: Diferencia de alturas***

Haciendo uso de la altitud en tiempo real calculada mediante un sensor barométrico, se puede determinar el apogeo en el instante que la altura cambia de incrementar a disminuir. Para proporcionar el nivel de confianza necesario se debe buscar más de un solo punto de datos de altitud que sea menor que el punto anterior. Además, se necesita mantener un historial de puntos de datos de altitud y decir que un número X de puntos decrecientes probablemente signifique un apogeo. Esto requiere mucha memoria y computación, pero el problema real es que esto no se puede hacer en tiempo real. La detección del apogeo siempre tendría lugar después del apogeo real. Claro, puede ser "lo suficientemente cerca", pero podemos hacerlo mejor.

- ***Método 2: Media cuadrática de aceleraciones***

Otra opción para detectar el apogeo es mediante el uso del acelerómetro. Sabemos que en el apogeo el cohete no tendrá aceleración, por lo que una lectura de 0 m/s<sup>2</sup> significa que el cohete está en el apogeo.[Shane, 2016] El acelerómetro debe medir los tres ejes, debido a que el uso de un solo eje funciona si el cohete permanecerá perfectamente recto durante el vuelo, lo que rara vez ocurre. Tener los tres ejes permite no tener que preocuparse por la orientación del cohete en el espacio. De hecho, con estos datos, la aceleración total se determina de la siguiente manera:

$$A_{total} = [A_x^2 * A_y^2 * A_z^2]^{\frac{1}{2}}(1)$$

Luego, independientemente de la orientación, es posible verificar si el cohete está acelerando, desacelerando o sin peso.

- Detección de apogeo con acelerometro y barometro Para ser lo más preciso posible se implementan los dos métodos de detección de apogeo para que funcionen en conjunto. El sistema se puede implementar tal que con la aceleración cercana a 0m/s<sup>2</sup> ( $>0,15\text{m/s}^2$ ) empieza a observar la altitud en el barómetro. Cuando disminuya, estamos en el apogeo. También se debe iniciar una cuenta regresiva para que, si nunca se detecta una altitud decreciente, aún ocurra un evento de apogeo.
- Detección manual Consiste en enviar un comando de activación manual desde la estación terrena para avisar inmediatamente el instante de apogeo.

## 4 Descripción del sistema

Basados en el marco conceptual descrito previamente, en las características del reto internacional LASC 2022, en los objetivos y las necesidades que como equipo participante se plantearon, se establece una serie de requerimientos técnicos tanto de software como de hardware en torno al desarrollo de la aviónica para el cohete ORION UIS. En consecuencia, se define la arquitectura requerida para el sistema, se identifican los subsistemas y las diferentes etapas indispensables que lo componen con el fin de establecer una secuencia de validación individual por etapa que permita finalmente acoplar un sistema embebido robusto y totalmente funcional.

### 4.1 Requerimientos técnicos del sistema

La construcción de un sistema de aviónica robusto y funcional requiere un análisis previo que permita definir los requerimientos técnicos de software y hardware, para así, elaborar una arquitectura general del sistema. Por ello, a continuación se describen los requerimientos para la aviónica del cohete sonda Orion UIS.

#### 4.1.1 *Requerimientos de Hardware*

Para establecer los requerimientos de hardware es necesario tener en cuenta los diferentes posibles eventos y condiciones que se puedan presentar antes, durante y después del vuelo del cohete sonda, dentro de los cuales se encuentran, condiciones climáticas del lugar de lanzamiento descritas en **Misión Orion UIS - LASC 2022**, condiciones estructurales establecidas por el subsistema de estructuras mencionadas en **Planteamiento de la misión**. Por otro lado, es indispensable tener en cuenta las condiciones teóricas mencionadas en el **Marco conceptual** en cuanto a las variables físicas necesarias a medir. Los requerimientos de hardware para el subsistema de aviónica son:

1. **Dimensiones máximas:** 130x50x70 [mm].
2. **Rango térmico de operación:** -40[°C] y 60[°C].
3. **Rango de presión atmosférica:** 1013.25 [mBar] - 540 [mBar].
4. **Rango de peso:** 250 [gr] - 700[gr].
5. **Procesamiento:** Alta capacidad de procesamiento y memoria por parte del microcontrolador.

6. **Acople de etapas:** El diseño debe permitir integrar la antena para la etapa de comunicaciones, la batería LiPo y permitir la fácil salida de cables para el sistema de recuperación.

7. **Dispositivos:** Escoger sensores con alta resolución y velocidad de respuesta.

Los requerimientos [1] y [4] se establecen bajo la comunicación entre los equipos de los subsistemas de estructuras y aviónica. Por otro lado, los requerimientos [2] y [3] se establecen bajo el estudio de la zona de lanzamiento mencionada en **Planteamiento de la misión**. Finalmente, los requerimientos [5], [6] y [7] son establecidos por el equipo del subsistema de aviónica basado en el análisis previo a la integración de las diferentes etapas.

#### 4.1.2 *Requerimientos de Software*

Los requerimientos de software se establecen a partir de las necesidades encontradas basando su estudio en las condiciones del evento, enfocando el análisis en la categoría de 3Km de apogeo en la cual se participa, esta se encuentra descrita en **Misión Orion UIS - LASC 2022**. Adicionalmente, las actividades necesarias para el éxito de la misión planteadas y extraídas del **Planteamiento de la misión** y del **Marco conceptual**. Las actividades que establecen los requerimientos de software son:

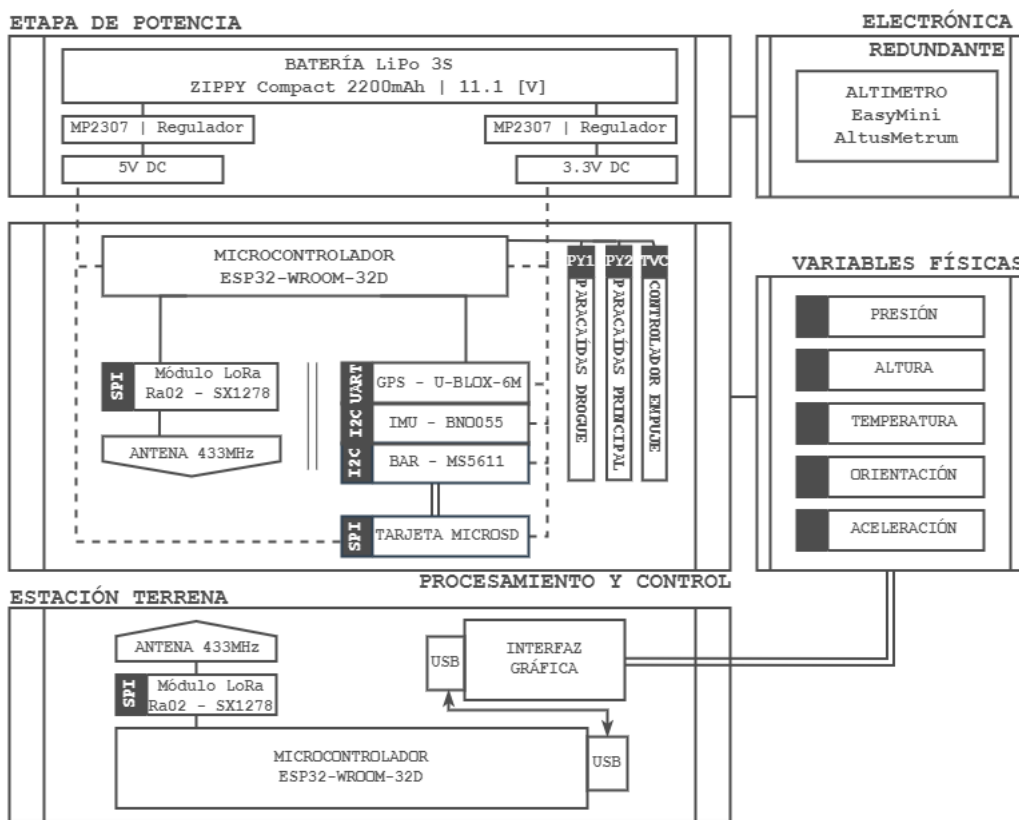
1. Operar a alta frecuencia de muestreo en la toma de datos proveniente de los sensores.
2. Programar algoritmo de código sencillo y robusto que permita una alta velocidad de procesamiento por parte del microcontrolador.
3. Establecer algoritmo confiable para la detección de apogeo.
4. Diseñar radioenlace entre transmisor y receptor en banda de frecuencia de 433 MHz que alcance una distancia mínima de 3 Km.
5. Realizar lecturas y escrituras a alta velocidad haciendo uso de los diferentes protocolos de comunicación serial.
6. Almacenar datos provenientes de los dispositivos que componen la aviónica.
7. Definir las respectivas interrupciones por hardware y software a través del algoritmo establecido.
8. Transmitir en tiempo real una trama de datos codificada desde el transmisor hacia el receptor.
9. Asegurar recepción en estación terrena de la trama de datos.

## 4.2 Solución propuesta

### 4.2.1 Arquitectura general planteada

Acorde a los requerimientos presentados, los cuales fueron establecidos por los diferentes posibles eventos y condiciones que se puedan presentar para llevar a cabo la misión, desde el subsistema de aviónica se plantea una solución robusta y confiable que supla dichas necesidades. Inicialmente, se parte del diseño de la arquitectura general para el subsistema aviónica, en donde se acoplan las soluciones propuestas por el equipo en torno a cada uno de los subsistemas y etapas de la misión. La arquitectura general se muestra en la Figura 10.

Figura 10: *Arquitectura general Subsistema Aviónica.*



De la Figura 10 se pueden identificar los subsistemas de la aviónica, adicionalmente, algunas de las etapas que son especificadas a detalle en la Figura 11.

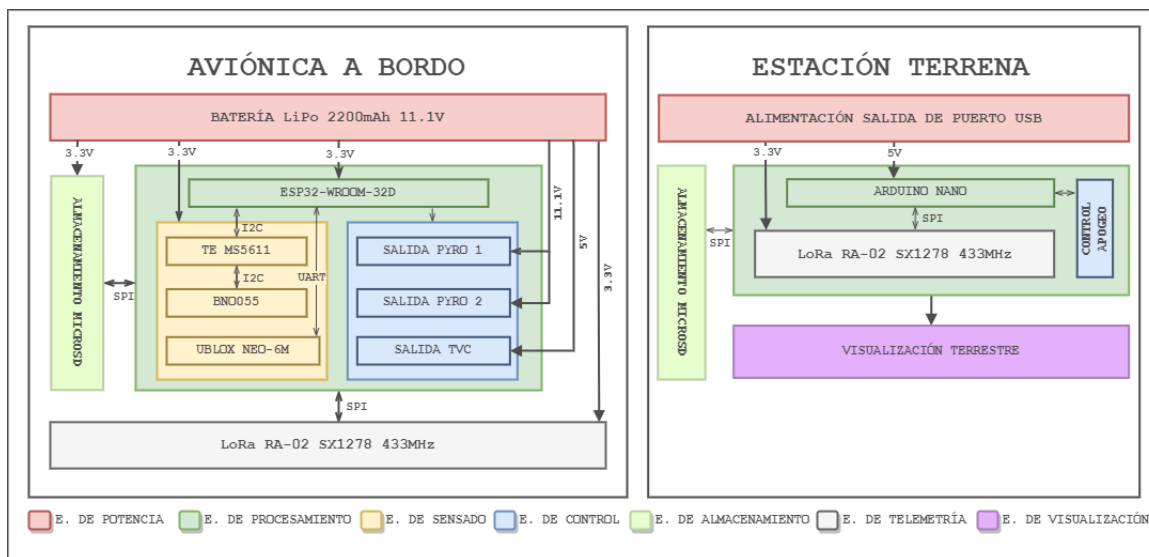
Se parte de las variables físicas identificadas para satisfacer las necesidades de la misión, dentro de ellas se encuentran variables externas y propias del cohete sonda. Posteriormente, a través del subsistema de procesamiento y control, dichas variables físicas son medidas, procesadas y analizadas para la toma de decisiones por parte de la etapa de control. En paralelo, la información procesada es almacenada localmente y transmitida en tiempo real a través del subsistema de telemetría hacia la estación terrena, allí, la in-

formación es visualizada gráficamente y analizada por parte del operador en tierra, quien también tendrá la posibilidad de ejecutar tareas importantes como la activación del sistema de recuperación remotamente. Finalmente, es preciso identificar en el diagrama la sección de electrónica redundante, allí se dispone de un sistema electrónico tipo COTS, verificado y programado por una empresa validada en el área. Este dispositivo tiene la función de asegurar éxito en la misión en caso de que la electrónica diseñada presente fallos o errores.

#### 4.2.2 Arquitectura por etapa específica

El diagrama mostrado de la Figura 10 ilustra de manera general el concepto que se requiere implementar como solución al problema. Para tal objetivo, se divide el trabajo en etapas específicas, las cuales se pueden visualizar en el diagrama por etapa específica que se ilustra en la Figura 11.

Figura 11: *Arquitectura por etapa específica*.



Del diagrama mostrado en la Figura 11 es posible identificar cada una de las etapas tanto de la aviònica a bordo como de la estaciòn terrena. Se hablará más a detalle de cada una de estas etapas a lo largo de esta secciòn.

Tabla 1: Tabla de selección de dispositivos para aviónica a bordo.

Sección	Ítem	Opciones	Selección
Aviónica	Presión	1. BMP280/390 2. TE MS5611 3. N/A	TE MS5611
	Temperatura	1. BMP280/390 2. TE MS5611 3. N/A	TE MS5611
	Altitud	1. BMP280/390 2. TE MS5611 3. N/A	TE MS5611
	GPS	1. GPS U-Blox 6M 2. GPS U-Blox M8N 2. Family GPS LX	GPS U-Blox 6M
	Antena GPS	1. Antena Cerámica	Antena Cerámica
	IMUs	1. MPU6050 2. LMS9DS1 3. BNO055	BNO055
	Microcontrolador	1. ESP32-WROOM-32D 2. STM32F401 3. ATMEGA328P	ESP32-WROOM-32D
	Radio	1. CC1200EMK-868-930 2. Módulo Transceptor RFM95W 3. LoRa RA-02	LoRa RA-02
	Antena Radio	1. Antena 3dBi 433Mhz	Antena 3dBi 433Mhz

Tabla 2: Tabla de selección de dispositivos para estación terrena.

Sección	Ítem	Opciones	Selección
Estación Terrena	Microcontrolador	1. ESP32-WROOM	ATMEGA328
		2. STM32H743	
		3. ATMEGA328	
	Radio	1. CC1200EMK-868-930	LoRa RA-02
		2. Módulo Transceptor RFM95W	
		3. LoRa RA-02	

## 1. Etapa de Potencia

La etapa de potencia es la encargada de suministrar la energía necesaria para cada dispositivo que compone la aviónica y la estación terrena. Para escoger la mejor opción y la cual se adapte a las necesidades del sistema se debe realizar un análisis de consumo energético y de las condiciones eléctricas que cada dispositivo requiere, especialmente para el caso de la aviónica a bordo, pues, al ser un sistema totalmente aislado e independiente se debe asegurar que la fuente de energía sea suficiente para todo el sistema durante el tiempo de vuelo presupuestado. Esta etapa se divide en 3 diferentes apartados: selección de la fuente de energía para la aviónica a bordo,

selección de los dispositivos reguladores de tensión y selección de la fuente de energía para la estación terrena.

Para la selección de la fuente de energía para la aviónica a bordo, se hace referencia a la Tabla 3 y la Figura 12, en las cuales se ilustran las opciones comerciales preseleccionadas. Su criterio de preselección se basó en el respectivo análisis técnico de las mismas y adicionalmente, se cuenta con algunas de ellas en el espacio de trabajo del semillero, lo cual facilitaría tiempos de validación y costos totales.

Figura 12: *Baterías LiPo y Li-Ion pre-seleccionadas*



(a) Batería LiPo 2200 mAh - (b) Batería li-ion 3000 mAh - 1S (c) Batería LiPo 1000 mAh - 3S

Tabla 3: *Características técnicas baterías para aviónica a bordo.*

Parámetro	Zippy Compact LiPo	Nano-Tech LiPo	BRCA 18650 Li-ion	Unidades
Capacidad	2200	1000	3000	mAh
Voltaje	11.1	7.4	3.7	V
Descarga	25C	25C	3C	-
Peso	163	60	45	gr
Dimensiones	75x35x18	71x35x12	18*67	mm
Conecotor entrada	JST-XH	XT-60	N/A	-
Conecotor salida	JST-XH	XT-60	N/A	-

En ese orden de ideas y acorde a la Tabla ?? de presupuesto energético para la aviónica, se seleccionó la batería LiPo **Zippy Compact - 2200 mAh - 3S** mostrada en la Figura 12(a), pues al tener una capacidad de 2200 mAh permite suplir energéticamente a todos los dispositivos a bordo de la aviónica. De igual forma, el voltaje proporcionado de 11.1[V] permite un funcionamiento óptimo en la etapa de control de los circuitos de ignición para el subsistema de recuperación. Finalmente, sus características físicas como el peso y dimensiones se ajustan perfectamente a los requerimientos mecánicos y estructurales definidos en la sección 4.1.

Una vez seleccionada la fuente de energía para la electrónica a bordo del cohete sonda, es necesario ajustar el nivel de tensión de salida de la misma a los niveles de tensión requeridos por los demás dispositivos que componen la aviónica, para ello se definieron 2 salidas de 3.3[V] y 5[V] a partir de los 11.1[V] provenientes de la batería. El proceso de regulación de tensión se lleva a cabo a través del dispositivo convertidor reductor (*buck-converter*) **MP2307** mostrado en la Figura 13. Se decidió dicho regulador de tensión sobre los reguladores lineales **LDO LM7805** y **AMS1117** debido a su eficiencia y comportamiento frente a las condiciones requeridas, principalmente, por su principio de funcionamiento, lo cual causa que el calor disipado por los reguladores lineales al ser resistivos sea un factor crucial que no es viable en la aplicación del sistema. Adicionalmente, los factores de selección y características más relevantes del regulador MP2307 se encuentran en la Tabla 4.

Tabla 4: *Tabla comparativa - especificaciones técnicas reguladores pre-seleccionados.*

Parámetro	LDO AMS1117	LDO LM7805	BC - MP2307	Unidades
Principio	Resistivo (calor)	Resistivo (calor)	Reactivos	-
Tensión de alimentación	hasta 15	7 hasta 15	4.75 hasta 23	V
Tensión de salida	1.5 hasta 5	4.8 hasta 5.2	0.925 hasta 20	V
Corriente de salida	hasta 1	hasta 1	hasta 3	A
Eficiencia (12V)	-	-	80 hasta 90	%
Temperatura	-20 hasta 120	0 hasta 125	-40 hasta 85	°C
Dimensiones	6.4x7x0.5	18.9x9.9x4.5	17x11x3.8	mm

La corriente de salida que se puede encontrar en la Tabla 4, es uno de los parámetros con más relevancia en la selección del regulador de tensión, ya que, acorde a la Tabla ??, solo el convertidor reductor **MP2307** tiene la capacidad de soportar la corriente que se precisa en la carga sin repercusiones como disipación de calor a altas temperaturas y perdida de eficiencia como sí ocurre con los otros dos reguladores lineales.

Figura 13: *Regulador convertidor reductor.*



La estación terrena presenta ventajas significativas en términos de la etapa de potencia, pues, al requerir de un computador portátil para la visualización de datos

recibidos, la energía suministrada al microcontrolador seleccionado proviene directamente de dicho dispositivo de cómputo.

## 2. Etapa de procesamiento

El procesamiento y gestión de la información llevado a cabo en la presente etapa se realiza a través de un microcontrolador con las capacidades técnicas de satisfacer cada requerimiento tanto de software como de hardware presentado en la sección 4.1. En la Figura 14 se ilustran los microcontroladores presentados en la Tabla 1 los cuales fueron preseleccionados por el equipo para esta etapa. En la Tabla 5 se presentan las principales características técnicas de las 3 opciones de microcontroladores.

Figura 14: *Microcontroladores pre-selecciónados*



(a) ESP32-WROOM-32D

(b) STM32F401

(c) Atmega328P-AU

Tabla 5: *Tabla comparativa - microcontroladores pre-selecciónados.*

<i>Característica</i>	<i>ESP32 WROOM 32D</i>	<i>STM32F401</i>	<i>ATMEGA328P</i>	<i>Unidades</i>
<i>Procesador</i>	Tensilica Xtensa 32-bit LX6	Arm Cortex M4	Atmel Microchip	-
<i>Número de núcleos</i>	2	1	1	-
<i>Tecnología de procesamiento</i>	32	32	8	bits
<i>Voltaje de alimentación</i>	3.3	3.3	5	V
<i>Frecuencia de reloj</i>	40/160/240	84	20	MHz
<i>Rendimiento</i>	600	105	20	MIPS
<i>Cantidad de GPIO's</i>	34	36	23	unidad
<i>Wi-Fi</i>	802.11n @ 2.4 GHz	N/A	N/A	-
<i>Bluetooth</i>	v4.2 BR/EDR y BLE	N/A	N/A	-
<i>ROM</i>	458.752 (448KiB)	N/A	1	KB
<i>SRAM</i>	532.48 (520KiB)	64	2	KB
<i>Flash</i>	4	0.256	0.032	MB
<i>SRAM RTC</i>	16	N/A	N/A	KB
<i>ADC</i>	12bits - 18 canales	12 bit - 10 canales	10 bits - 6 canales	-
<i>DAC</i>	8bits - 2 canales	N/A	N/A	-
<i>SPI/I2C/I2S/UART/USART</i>	4/2/2/3/0	3/3/2/0/3	1/2/0/0/1	unidad

Dentro de los requerimientos expuestos en la sección 4.1 y en torno a la selección del microcontrolador, es necesario destacar la alta velocidad de procesamiento y

muestreo que se requiere en cuanto a software y de igual manera la capacidad de memoria que el microcontrolador ofrezca, es por ello que, los 2 núcleos que ofrece el **ESP32-WROOM-32D**, junto a la alta frecuencia de reloj de hasta 240 MHz, la cantidad de periféricos, entradas, salidas y su tecnología de 32 bits hacen que sea la opción más viable para el sistema. Por otro lado, los módulos ESP32, en general, poseen una alta compatibilidad con diferentes entornos de desarrollo de software como lo son principalmente: Arduino IDE y Platformio a través de Visual Studio Code. Esto facilita a gran medida la consecución de resultados y reduce significativamente tiempos y posibles errores que se puedan presentar.

### 3. Etapa de sensado

Tal como se ilustra en las Figuras 10 y 11, las variables físicas requeridas son: temperatura, presión atmosférica, unidades iniciales del cohete sonda y posición geográfica. A través de 3 diferentes módulos es posible realizar la medición de las variables previamente mencionadas.

- **Módulo Unidad de Medición Inercial (IMU)**

En la Figura 15 se presentan los módulos de medición inercial presentados en la Tabla 1, los cuales fueron preseleccionados por el equipo para medir las variables aceleración, rotación y campo magnético en los 3 ejes cartesianos. En la Tabla 6 se presentan las principales características técnicas de las 3 opciones de unidades de medición inercial.

Figura 15: *IMU preseleccionadas*



(a) BNO055

(b) STM32F401

(c) MPU6050

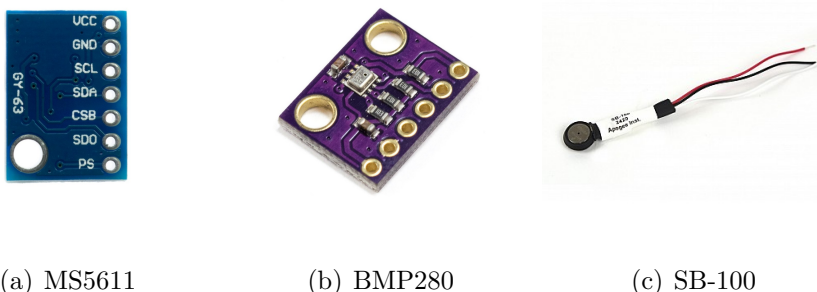
Tabla 6: *Tabla comparativa - sensores unidades iniciales pre-seleccionados.*

Característica	BNO055			MPU9250			LSM9DS1		
Sensor	Acelerómetro	Giroscopio	Magnetómetro	Acelerómetro	Giroscopio	Magnetómetro	Acelerómetro	Giroscopio	Magnetómetro
Tiempo de inicialización		400 [ms]		100 [ms]			100 [ms]		
Rango máximo	$\pm 16[g]$	2000 [ $^{\circ}/s$ ]	$\pm 2500[T]$	$\pm 16[g]$	2000 [ $^{\circ}/s$ ]	$\pm 4800[T]$	$\pm 16[g]$	2000 [dps]	$\pm 400[T]$
Ancho De Banda	1000 [Hz]	523 [Hz]	-	218 [Hz]	250 [Hz]	-	119 [Hz]	119 [Hz]	-
Resolución	14 bits	16 bits	0.3[T]	16 bits	16 bits	15T/LSB	16 bits	16 bits	0.014T

Teniendo en cuenta las especificaciones de la Tabla 6 para cada módulo preseleccionado y los requerimientos específicos del sistema para la misión, se destaca la necesidad de un alto ancho de banda, necesario para responder a cambios rápidos en la medida obtenida por el sensor, en consecuencia, el ancho de banda de 523[Hz], junto con los rangos de medición del acelerómetro  $\pm 16[g]$  y magnetómetro  $\pm 2500[\mu T]$  hacen al módulo **BNO055** la opción más viable para ser seleccionada. Además, los módulos provenientes del fabricante Adafruit son versátiles en el momento de establecer comunicación con otros dispositivos electrónicos, dada la posibilidad de usar interfaces I2C, UART y SPI para establecer comunicación.

- **Módulo barométrico**

Los módulos de la Figura 16 incluyen los sensores de presión barométrica útiles para la medición de las variables de temperatura, presión y altura presentadas en la Figura 10. Estos módulos fueron preseleccionados dado su uso comercial y su respaldo bibliográfico a través de internet. En la Tabla 7 se resaltan las características más importantes de los sensores en cuestión.

Figura 16: *Barométricos preseleccionados*

(a) MS5611

(b) BMP280

(c) SB-100

Para calcular la altura en tiempo real se hace uso de la variable presión

Tabla 7: Tabla comparativa - sensores de presión atmosférica.

Característica	MS5611		BMP280		SB-100	
Característica de cada sensor	Presión	Temperatura	Presión	Temperatura	Presión	Temperatura
ADC	24 bits		20 bits		12 bits	
Protocolo de comunicación	I2C		I2C		I2C	
Rango	300-1100[hPa]	-40 - 85[°C]	300-1100[hPa]	-40 - 85[°C]	10-115[kPa]	-40 - 80[°C]
Resolución	0.16[Pa]	0.01[°C]	0.16[Pa]	0.01[°C]	0.015[hPa]	0.015[°C]

obtenida a través del módulo barométrico. La ecuación que se emplea para el cálculo de la altitud a partir de las lecturas de presión atmosférica se denomina **Ecuación barométrica**. Esta ecuación, es utilizada en la meteorología y oceanografía, es una fórmula utilizada para modelar cómo la presión (o densidad del aire) cambia con respecto la altitud. La presión desciende aproximadamente 0.113 [mbar] por metro en los primeros 1000 metros sobre el nivel del mar.[Berberan Santos et al., 1997]

$$P = Pb \left[ \frac{T_b + (h - h_b)L_b}{T_b} \right]^{\frac{-g_0 * M}{R * L_b}} \quad (2)$$

Donde:

- $Pb$ : Presión referencia - [Pa].
- $Po$ : Presión actual - [Pa].
- $Tb$ : Temperatura referencia - [K].
- $Lb$ : Tasa de caída de temperatura - [K/m] en ISA.
- $h$ : Altura a la que se calcula la presión [m].
- $hb$ : Altura a la que se calcula la presión [m].
- $R$ : Constante universal de los gases: 8,3144598 - [J/(mol·K)].
- $g_0$ : Aceleración gravitacional: 9.80665 - [m/s<sup>2</sup>].
- $M$ : Masa molar del aire en la tierra: 0.0289644 - [kg/mol].

Despejando  $Pb=Po$ ,  $Tb=273.15+T$ ,  $T=15$ ,  $hb=0$ ,  $Lb=-0.0065$  y  $g_0*M/R*Lb = -5.25579$ . Se tiene:

$$\text{Altura}[cm] = 44330.0 * \left( 1 - \frac{\text{presion0}}{\text{presionActual}} \right)^{0.1903} \quad (3)$$

Donde:

- $\text{presion0}$ : Promedio de x valores de presión actual - [Pa].

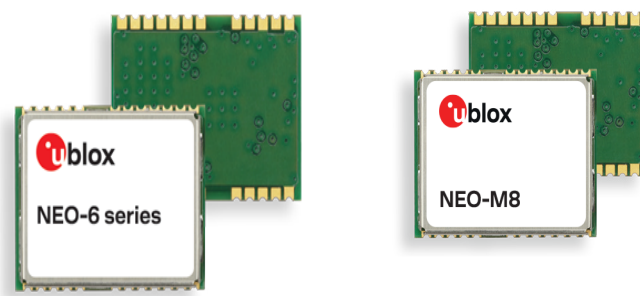
- *presiónActual*: Presión actual - [Pa].

Dada la necesidad de registrar cambios rápidos en la temperatura y presión para hacer el cálculo de la altura y registrar cálculos confiables de dichas variables atmosféricas durante la misión, el módulo barométrico seleccionado debe contar con una alta resolución y una alta velocidad de respuesta. Es por ello que, basados en las especificaciones para cada módulo barométrico de la Tabla 7 y los requerimientos del sistema de la sección 4.2, se puede notar que los módulos preseleccionados tienen especificaciones similares entre sí y que a su vez satisfacen con los requerimientos del sistema. A pesar de ello, el módulo **MS5611** es ligeramente más adecuado debido a su especificación de convertidor ADC de 24 bits. En este caso, se tiene en cuenta otros criterios de selección, como la disposición del módulo **MS5611** en el espacio de trabajo del semillero de investigación, lo cual permite seleccionar dicho sensor como la opción más adecuada para el sistema.

- ***Sistema de posicionamiento global (GPS)***

Con el objetivo de asegurar una recuperación exitosa del cohete sonda, una vez ha aterrizado en tierra, se dispone de módulos de posicionamiento global (GPS), para tal fin, en la Figura 17 se muestran los GPS preseleccionados mencionados en la Tabla 1. En la Tabla 8 se presentan las principales características técnicas de las 2 opciones de módulos GPS.

Figura 17: *Módulos GPS preseleccionados*



(a) Ublox Neo 6m

(b) Ublox Neo m8n

Teniendo en cuenta las especificaciones de la Tabla 8 para cada GPS. Se destaca

Tabla 8: *Tabla comparativa - localizadores geográficos preseleccionados.*

Característica	Ublox Neo 6m	Ublox Neo m8n	Unidades
Frecuencia	1575	1575	MHz
Numero de canales	50	72	canales
Tiempo de arranque	27	26	s
Sensibilidad de adquisición	-147	-167	dBm
Temperatura maxima de operación	85	85	°C

la necesidad de proporcionar información de posicionamiento en tiempo real durante la misión para que una vez el cohete regresa a tierra, obtener las coordenadas exactas para recuperar la estructura donde se contiene el registro de datos y la electrónica en general. Se evidencia que los módulos preseleccionados tienen especificaciones muy parecidas entre sí, que al mismo tiempo cumplen con los requerimientos del sistema. En este caso, se tiene en cuenta otros criterios de selección como la disposición del módulo **Ublox Neo 6m** en el espacio de trabajo del semillero de investigación, lo cual lo hace la opción más adecuada.

#### 4. *Etapa de control*

La etapa de control, en conjunto con la etapa de procesamiento, son cruciales en el éxito de la misión, pues allí, a partir de las lecturas de los sensores, la lógica del algoritmo desarrollado y los componentes de la presente etapa, se realiza un correcto y oportuno despliegue de los paracaídas de doble evento de la misión. El subsistema de recuperación es el encargado de seleccionar el mecanismo y los dispositivos que utilizará para ejecutar la acción que se activará a través del subsistema aviónica mediante la presente etapa de control. Para ello, se requiere de un circuito de ignición que soporte por un corto periodo de tiempo una cantidad considerable de corriente a través de la carga escogida por el subsistema de recuperación, de tal manera, en términos de hardware se precisa de un transistor tipo MOSFET de canal N configurado como interruptor y que permita a través de una salida digital del microcontrolador controlar las señales de activación de la salidas de ignición. Con tal objetivo, en la Figura 18 y la Tabla 9 se puede observar y analizar las características principales de los transistores tipo MOSFET preseleccionados.

Tal y como se mencionó previamente, un pico de corriente por un periodo de tiempo muy corto es necesario para la activación del mecanismo que eyecte los paracaídas, en ese sentido, el transistor **IRFZ44N** es el único que suple dicho requerimiento a partir de los 3.3[V] de la salida digital del microcontrolador ESP32-WROOM-32D.

Figura 18: *Etapa de control - Transistores preseleccionados*Tabla 9: *Tabla comparativa - transistores canal N preseleccionados.*

Parámetro	IRFZ44N	IRF520	IRF530	Unidades
Máxima tensión Vds	55	100	100	V
Máxima corriente Ids	49	10	14	A
Resistencia Rds(on)	0.22	0.27	0.18	ohm
Potencia disipada	100	70	75	A
Temperatura de operación	-55 hasta 175	-65 hasta 175	-55 hasta 160	%
Corriente (Vgs = 3.3V)	14	1	2	A

En ese sentido, dicho transistor se seleccionó para conformar el circuito de ignición que se ilustra en la sección 6.

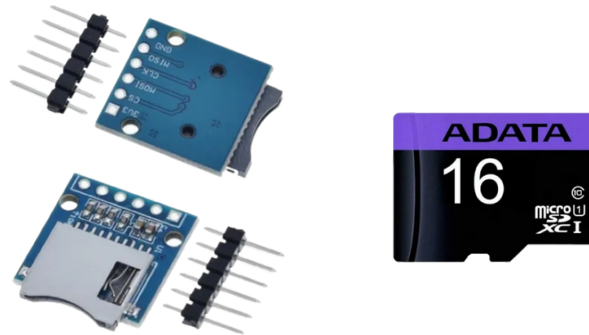
La detección de apogeo se lleva a cabo mediante el sensor de presión barométrica MS5611, usando las variables de presión y temperatura para así obtener la altura. Para la detección de apogeo por medio de la altura, se codifica la lógica de programación para detectar el apogeo del cohete, guardando registros de las mediciones en cada periodo de tiempo definido previamente, para posteriormente realizar una diferencia entre el valor actual y el registro anterior almacenado. En el momento que la diferencia sea negativa, conforme a un margen establecido, será el momento indicado para emitir la señal de activación, pues se habrá detectado el apogeo.

##### 5. *Etapa de almacenamiento*

Validar el funcionamiento general de la aviónica es posible mediante la recolección de datos, por ello la etapa de almacenamiento y de igual forma la etapa de telemetría son indispensables, pues de esa manera es posible corroborar y confirmar los objetivos planteados en la sección 1. El almacenamiento de datos local se realiza de manera efectiva a través de memorias microSD, por ello que se seleccionaron este tipo de memorias con el fin de almacenar la información obtenida mediante

los sensores y mediante los cálculos realizados a través del microcontrolador para posteriormente caracterizar tanto la misión como el mismo cohete sonda. En la Figura 19 se puede observar el módulo y la memoria seleccionada, de igual forma en la Tabla 10 las principales características técnicas de la memoria seleccionada.

Figura 19: *Dispositivos de almacenamiento seleccionados*



(a) Adaptador para memoria (b) Memoria microSD UHSI  
microSD

Tabla 10: *Especificaciones técnicas tarjeta microSD seleccionada.*

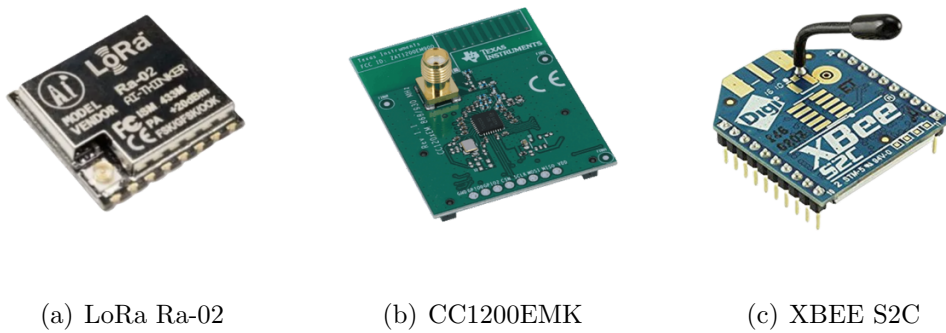
Parámetro	MicroSD UHS-I	Unidades
<b>Capacidad</b>	16	GB
<b>Clase velocidad</b>	10	-
<b>Voltaje de alimentación</b>	2.7 - 3.6	V
<b>Velocidad de lectura</b>	50	MB/s
<b>Velocidad de escritura</b>	10	MB/s
<b>Peso</b>	0.25	gr

## 6. *Etapa de telemetría*

Al igual que la etapa de almacenamiento, la etapa de telemetría sustenta y soporta el cumplimiento de los objetivos específicos que conllevan finalmente la consecución del objetivo general. A través de la presente etapa es posible validar que el radioenlace diseñado tras la selección de los módulos y dispositivos correctos sea útil y permita transmitir los datos requeridos para así poder visualizarlos posteriormente en la etapa de visualización. Para lograrlo, se incursionó en la búsqueda de tecnologías que permitieran alcanzar el objetivo, dentro de las cuales se encontró que los módulos transceptores son la mejor opción para dichos propósitos de transmisión de datos, pues al permitir ser configurados bien sea como transmisor o receptor, dependen directamente de su composición y arquitectura interna para suplir radioenlaces que alcancen diferentes distancias. Basados en los requerimientos

de la sección 4.2 se encontraron útiles los siguientes módulos: XBEE-S2C, LoRa Ra-02 y CC1200EMK. La Figura 20 ilustra los módulos en cuestión, mientras que la Tabla 11 muestra las especificaciones técnicas principales que permitan la selección del dispositivo.

Figura 20: *Modulos transceptores pre-seleccionados*



(a) LoRa Ra-02

(b) CC1200EMK

(c) XBEE S2C

Tabla 11: *Tabla comparativa - módulos transceptores pre-seleccionados.*

Parámetro	XBEE - S2C	LoRa Ra-02	CC1200EMK	Unidades
Tensión de operación	2.1 hasta 3.6	1.8 hasta 3.7	2 hasta 3.6	V
Corriente de recepción	38	12.15	23.5	mA
Corriente de transmisión	35	87	36	mA
Frecuencia de operación	2400	420 hasta 450	820 hasta 950	MHz
Velocidad en transmisión	1	32	1.25	Mbps
Distancia máxima de operación	1	15	10	Km
Antena	Incorporada	Externa	Externa	-
Temperatura de operación	-40 hasta 85	-40 hasta 85	-40 hasta 85	°C

Luego de un análisis del estado del arte y una revisión en diferentes aspectos tanto teóricos como prácticos, se llega a la conclusión que tanto el módulo **LoRa Ra-02** como el módulo **CC1200EMK** poseen las especificaciones técnicas para satisfacer los requerimientos técnicos establecidos en la sección 4.2. Sin embargo, por cuestiones económicas, de logística en tiempos de envío y demás factores, se decide que el módulo **LoRa Ra-02** es la opción más viable y por ende se selecciona, ya que es un dispositivo comercial en Colombia al cual es posible acceder en un periodo corto de tiempo y bajo una inversión no tan elevada, caso contrario con el módulo transceptor CC1200EMK, pues al ser una tecnología que se comercializa fuera del país, los costos y tiempos de entrega se extienden considerablemente.

## 7. *Etapa de visualización*

La etapa de visualización llevada a cabo en la estación terrena, parte de la lectura de la información proveniente de la aviónica a bordo del cohete a través del puerto serial

de la computadora de misión. Allí, por medio de desarrollo de software, se realiza de manera efectiva la visualización de la información en tiempo real, esto permite conocer el estado de la misión y de los diferentes componentes de la aviónica. La solución propuesta por parte del presente proyecto, incorpora la visualización local haciendo uso del lenguaje de programación Java, lo cual permite facilitar el análisis visual de los datos obtenidos y reconocer el estado de la misión. Paralelamente, se trabaja en conjunto al proyecto de grado *Diseño e Implementación del front-end y back-end de una plataforma IoT para recepción, registro y visualización de los datos de telemetría y del payload del cohete sonda de combustible sólido Orión del Semillero de Cohetería UIS Aeroespacial*, el cual desarrolla una interfaz IoT que se ajusta dinámicamente a los requerimientos de visualización dependiendo el sistema a integrar.

## 5 Simulación de sistemas

De las fases más importantes para desarrollar este proyecto es la simulación de circuitos y dispositivos electrónicos bajo condiciones reales para tener un precedente de su posible funcionamiento en el montaje experimental. De acuerdo a lo anterior, en esta parte se muestra el modelo simulado de los reguladores de tensión probados y de los canales pirotécnicos usados para eyectar el sistema de recuperación y la carga útil.

### 5.1 Reguladores de tensión

Los reguladores de tensión son herramientas que se emplean para convertir un voltaje de CC no regulado a un nivel de CC regulado, independientemente de los cambios en la corriente de carga y voltaje de entrada. En esta sección se simulan dos métodos de conversión DC/DC usados para obtener la tensión de entrada requerida, adicionalmente, se explican las ventajas y desventajas tenidas en cuenta para preferir un método sobre otro.

#### 5.1.1 *Regulador lineal*

El regulador lineal es un circuito eléctrico diseñado para suministrar un voltaje estable que en lugar de usar interruptores para regular tensión emplea un divisor de tensión para ajustar el voltaje de salida. La Figura 21 muestra el diagrama de bloques de un sistema lineal regulador que incluye dos partes principales, la parte reguladora que es una resistencia variable en serie con la carga para ajustar el voltaje de salida [Texas, 2011].

Figura 21: *Simulación - regulador lineal*

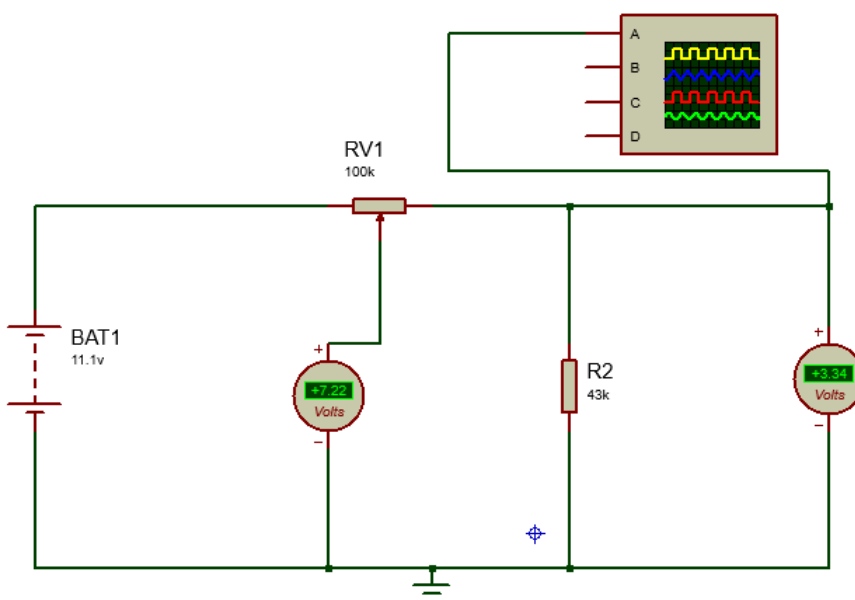
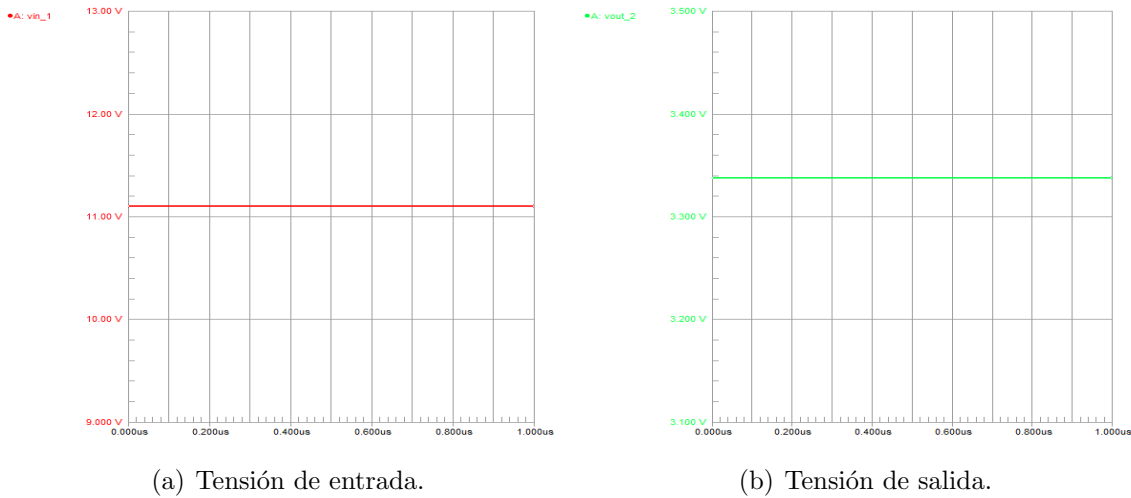


Figura 22: *Graficas de tensión de entrada y salida del regulador lineal.*



A diferencia del regulador de tensión conmutada, el regulador lineal funciona continuamente, por lo que su eficiencia es menor y da como resultado que el exceso de potencia se disipa en forma de calor. Por ejemplo, suponiendo que el voltaje y la corriente de entrada de un regulador lineal son respectivamente 5[V] y 5[A] y se necesitan 2[V] en la salida. Esto exige que el regulador lineal genere 15[W] de potencia a través de la resistencia, lo que va a producir que ese exceso de potencia se disipe en forma de calor. Por lo tanto, se hace necesario un disipador de calor de gran volumen para reducir la temperatura del circuito. Esta relación se va a mantener, es decir, entre mayor sea la diferencia de tensión entre el voltaje de entrada y el de salida, se produce más calor, lo que se traduce en la adquisición de disipadores de calor voluminosos incrementando el presupuesto significativamente.

### 5.1.2 *Buck converter*

El convertidor Buck, cumple la función de convertir tensión DC de entrada a una salida DC de menor tensión. El circuito regulador de la Figura 23 está compuesto por dos dispositivos semiconductores (transistor y diodo), un inductor y un condensador a la salida. El funcionamiento se basa en un inductor controlado por el diodo y por el transistor MOSFET de canal P, los cuales alternan la conexión del inductor bien sea a la fuente de alimentación o a la carga mediante un circuito oscilador PWM. [Texas, 2011]

Este tipo de conversor utiliza la técnica de commutación para suprimir la potencia adicional. Dado que los interruptores no se realizan continuamente (depende del ciclo de trabajo de commutación), pierde mucha menos potencia en comparación con el regulador lineal. Lo que resulta en mayor eficiencia a la hora de regular tensión, mayor protección

Figura 23: Simulación - Convertidor reductor

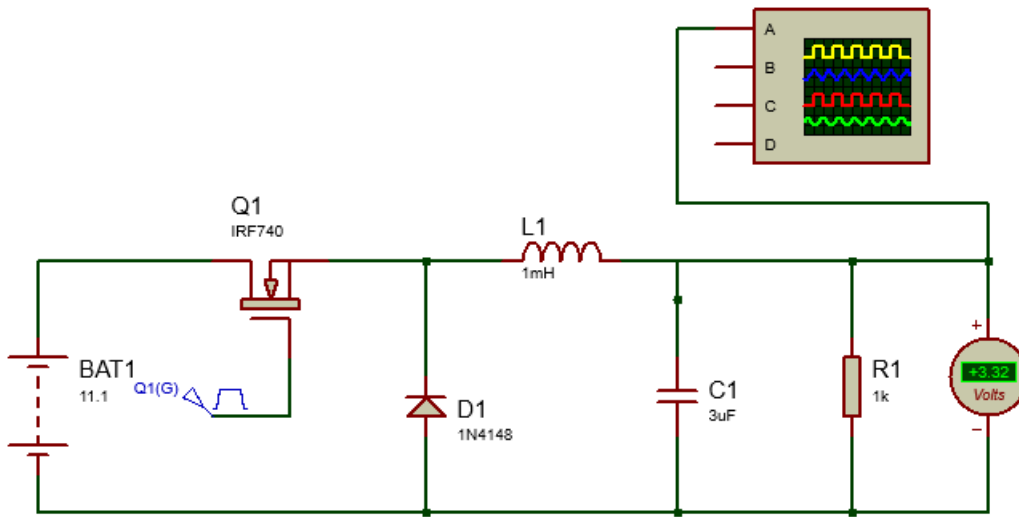
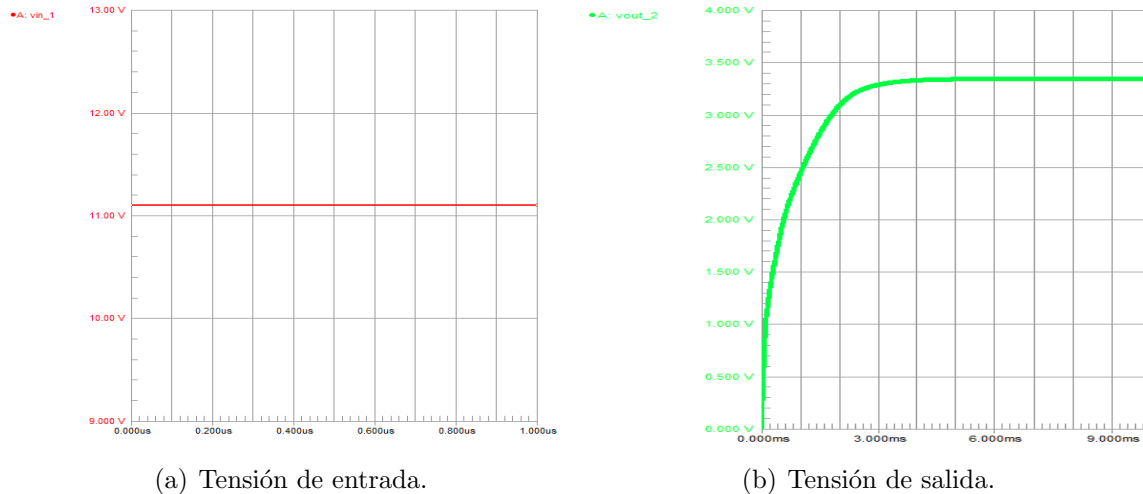


Figura 24: Graficas de tensión de entrada y salida del Buck Convertor.



dada la menor generación de calor y menor costo al no tener que acoplar disipadores de calor o cualquier otro elemento electrónico para mejorar el funcionamiento del conversor.

## 5.2 Canales pirotécnicos

Para la eyección del sistema de recuperación y de la carga útil, es necesario el diseño de un circuito capaz de recibir una señal de control por parte de la computadora de vuelo y producir el accionamiento necesario para dar inicio al proceso de eyección.

El funcionamiento del circuito presentado en la Figura 25 se lleva a cabo en dos etapas:

- *Etapa 1:* En el caso en el que la tensión aplicada en el terminal puerta del MOSFET

Figura 25: Simulación - Canales pirotecnicos

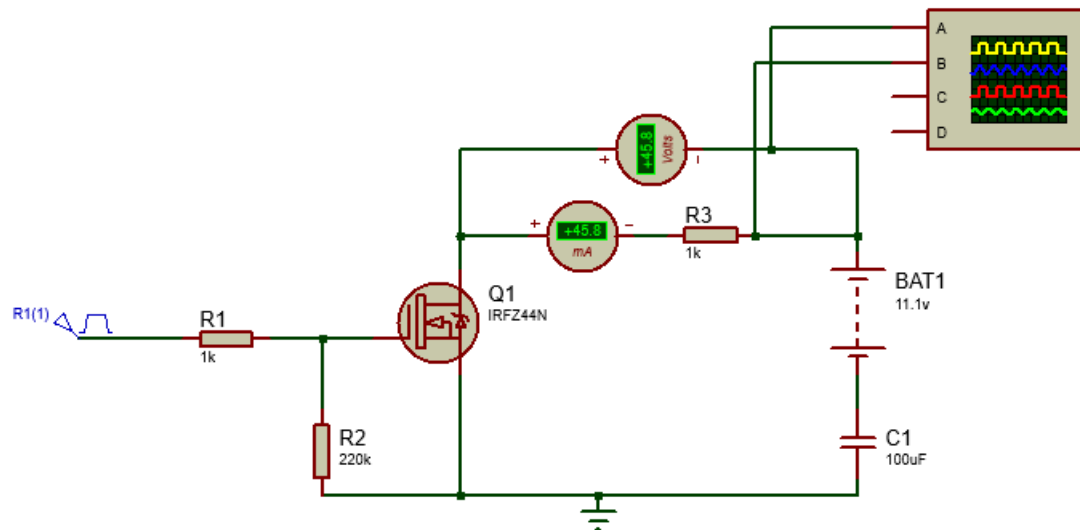
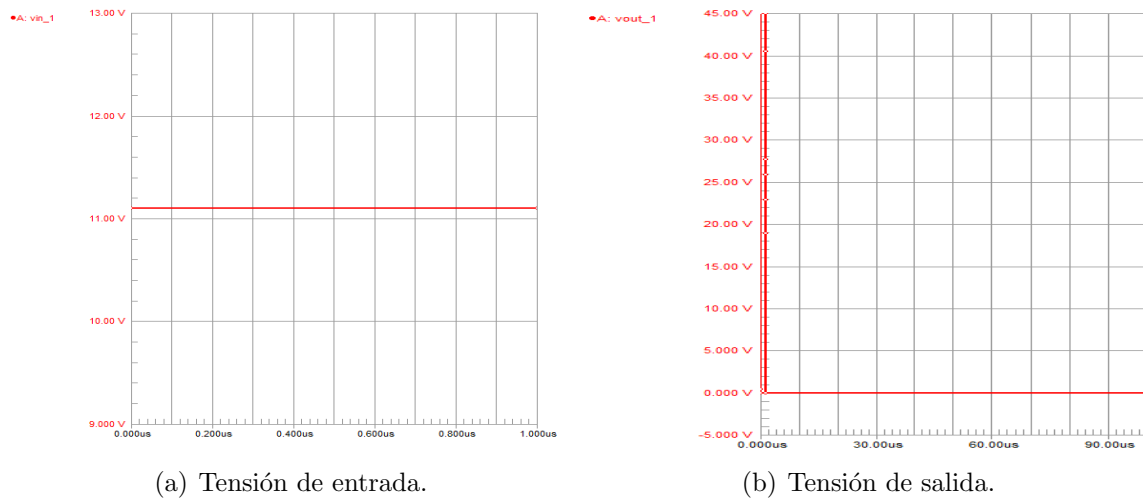


Figura 26: Graficas de tensión de entrada y salida del canal pirotécnico.



sea 0[V], se tiene que el MOSFET estará operando en la región de corte, en el cual, se tiene un camino de alta impedancia al flujo de corriente que resultan en una corriente entre drenador y surtidor  $IDS = 0[A]$ . Como consecuencia, sin importar la tensión aplicada en el puerto drenador, la caída de tensión a través de la carga RD será cero debido a que el voltaje de salida  $V_o$  será relativamente igual a  $VS$ .[Teja, 2021]

- *Etapa 2:* En el caso que la tensión de entrada  $Vi$  aplicada sea mayor al voltaje umbral del MOSFET, se tiene que el transistor pasará de operar en estado de corte a operar en la región de saturación, lo cual sucederá siempre que la tensión ( $Vi$ ) en la compuerta del mismo sea mayor al voltaje de umbral propio del MOSFET. Bajo estas condiciones, se tiene que el dispositivo ofrece una baja impedancia

ante el flujo de corriente IDS a través de la carga, logrando así la activación de la misma.[Teja, 2021]

## 6 Implementación de la solución propuesta

La solución propuesta descrita a detalle en la sección 4, se materializa bajo la implementación en la presente sección. El proceso de implementación se llevó a cabo bajo la metodología por etapas, pues, al ser un proyecto modular, permite su desarrollo individual para posteriormente realizar la respectiva integración de cada etapa. En ese sentido, en la sección 6.1 se describe la implementación y pruebas de laboratorio desarrolladas para cada etapa, mientras que en la sección 6.2 se describe la integración de todas las etapas y los resultados obtenidos a lo largo del desarrollo y puesta en marcha del proyecto.

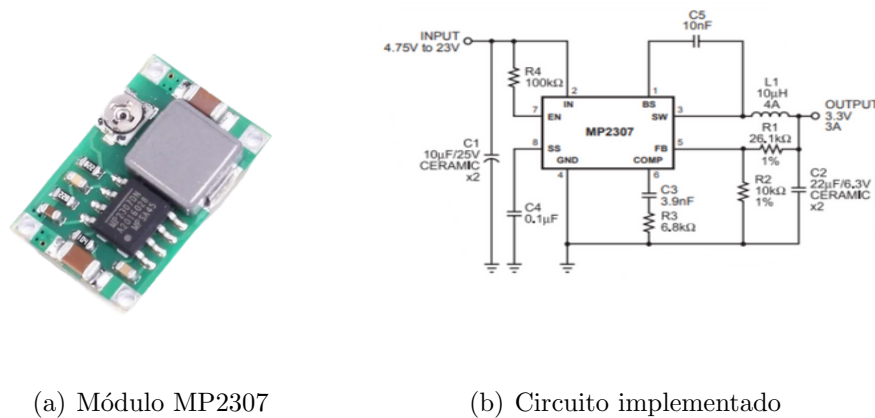
Es importante resaltar que la implementación se llevó a cabo bajo la tecnología modular de los componentes seleccionados, es decir, que la gran mayoría de componentes electrónicos seleccionados y descritos a detalle en la sección 4, fueron adquiridos e implementados en su versión de módulo. Las razones de lo anteriormente mencionado se deben a los altos costos y larga espera en tiempos de envío que ello abarca, pues, los componentes en su versión SMD o superficial, deben ser importados de países como Estados Unidos o China, y, por cuestiones de tiempo, para una participación exitosa en el Latin American Space Challenge 2022, no se encuentra viable acatar dichos costos y tiempos de espera. Sin embargo, como implementación se desarrolla un diseño de PCB modular y propone un diseño de PCB superficial para futuras participaciones.

### 6.1 Implementación específica por etapa

#### 6.1.1 *Implementación de la etapa de potencia*

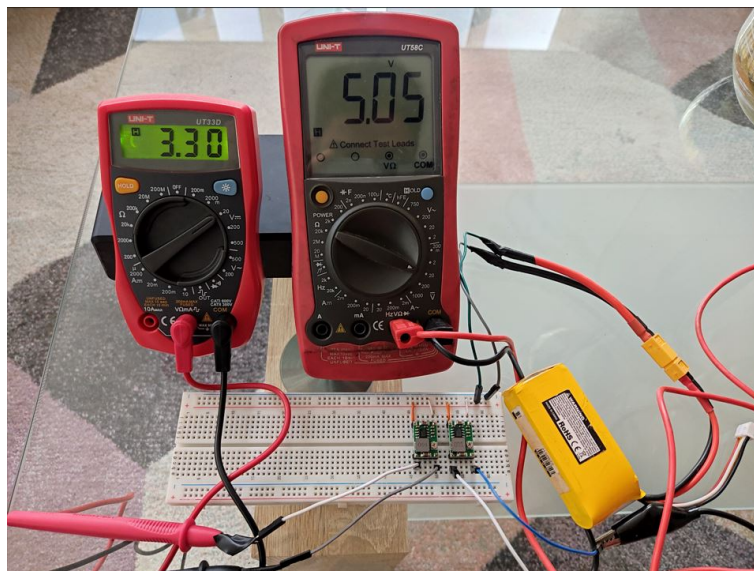
La etapa de potencia requiere de una previa calibración y validación de los reguladores de tensión **MP2307** para los niveles de 3.3[V] y 5[V] necesarios haciendo uso de la batería LiPo de 3 celdas. Para ello, se verifica inicialmente que el módulo a utilizar, mostrado en la Figura 28(a), incorpore el circuito propuesto por el fabricante (Figura 28(b)) para un correcto uso del mismo.

Una vez verificado dicho circuito, se ajustan los valores de tensión a través del regulador incorporado en el módulo y se validan dichos niveles haciendo uso de la batería y multímetros, tal como se ilustra en la Figura 28. De tal manera se logra evidenciar y asegurar una correcta etapa de potencia, la cual alimente y supla la suficiente energía y de excelente calidad a los demás dispositivos electrónicos que componen el sistema. Adicionalmente, se asegura el correcto estado de cada una de las celdas que componen la batería, este proceso se lleva a cabo haciendo uso del multímetro, tal como se muestra en la Figura 29.

Figura 27: *Módulo regulador MP2307*

(a) Módulo MP2307

(b) Circuito implementado

Figura 28: *Ajuste y validación de módulos reguladores.*

### 6.1.2 Implementación de la etapa de procesamiento

Tal y como se mencionó en la introducción a la presente sección, el microcontrolador es uno de los dispositivos que requiere su implementación a través de su versión modular, por tal motivo, en la Figura 31(a) se puede observar la tarjeta de desarrollo NodeMCU, la cual, basa su funcionamiento en el microcontrolador ESP32-WROOM-32D. A su vez, en la Figura 31(b), se especifican a detalle la salida de pines con sus respectivas funcionalidades.

El funcionamiento del microcontrolador, se valida a través de la implementación de las etapas de sensado y la implementación de la etapa de control. Sin embargo, a través de la práctica es posible validar el funcionamiento de los dos núcleos del microcontrolador.

Figura 29: *Validación de la tensión de carga en las celdas.*

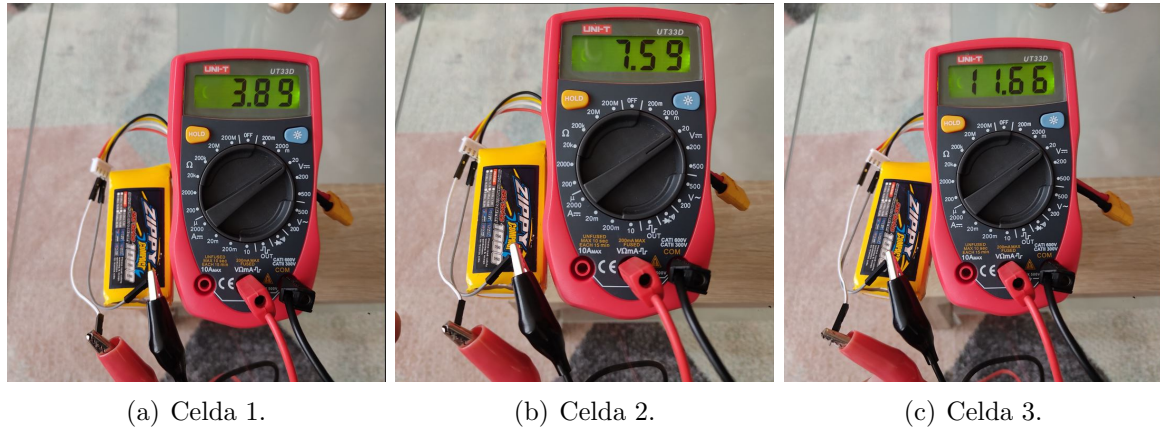
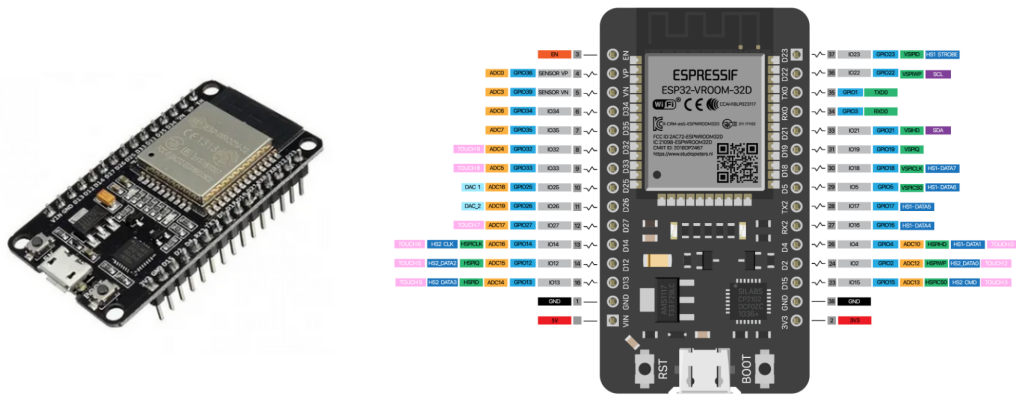
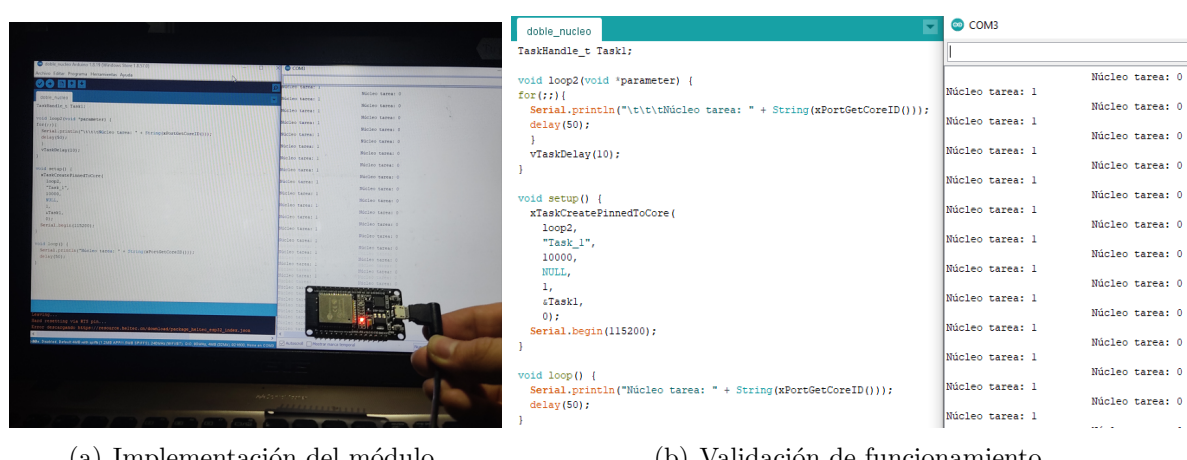


Figura 30: *ESP32 versión modulo - NodeMCU*



El procedimiento se puede observar a través de la Figura 31

Figura 31: Módulo NodeMCU-ESP32 ejecutando tareas en sus 2 núcleos

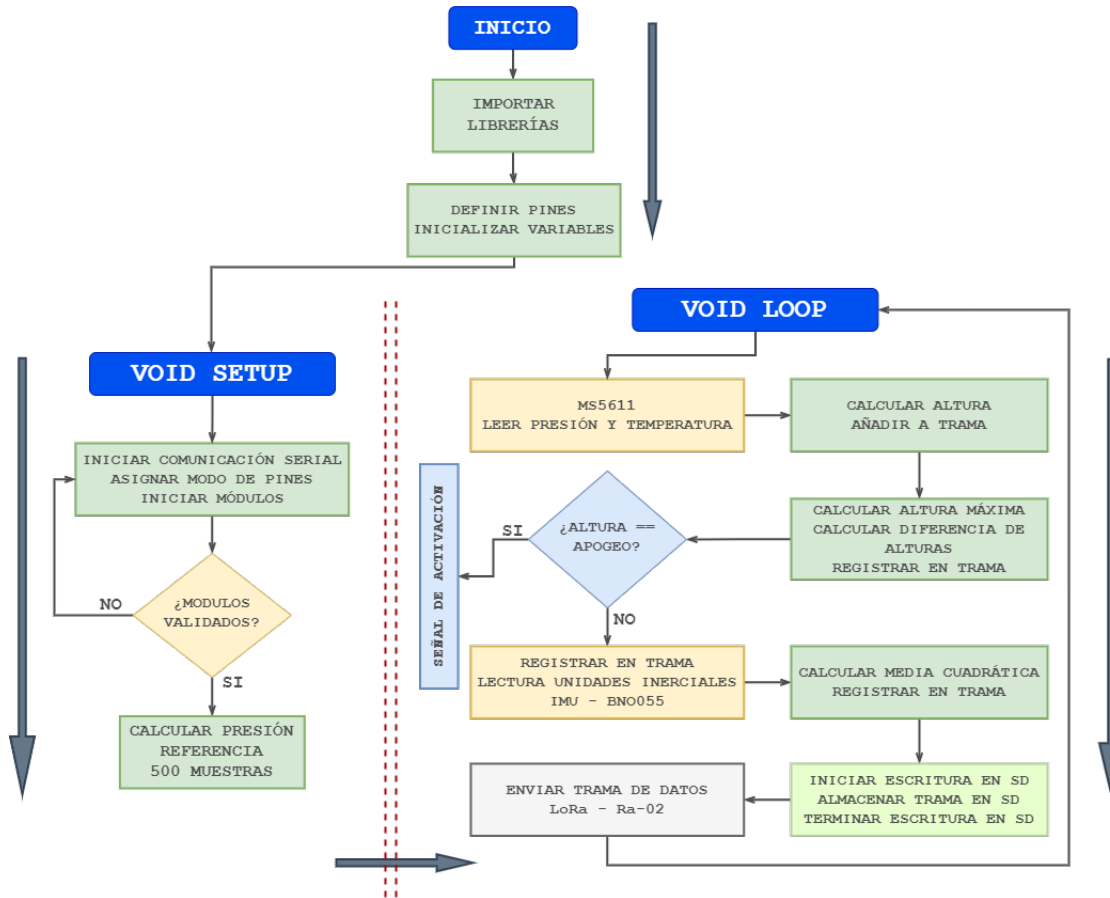


(a) Implementación del módulo.

(b) Validación de funcionamiento.

Por otro lado, la etapa de procesamiento también abarca el desarrollo de software y el algoritmo general que compone la aviónica. En ese sentido, en la Figura 32 se ilustra el diagrama de flujo lógico del algoritmo implementado a través de código haciendo uso del entorno de desarrollo de Arduino. El código implementado con todos los detalles de cada etapa se encuentra en el Anexo XXX.

Figura 32: *Algoritmo general implementado.*



Para validar el funcionamiento de dicho algoritmo, es necesario revisar el Anexo XXX, el cual aloja material audiovisual de las pruebas de funcionamiento realizadas antes del evento. Allí se puede comprobar que tanto el algoritmo utilizado, como la implementación de las etapas de procesamiento, sensado, control y almacenamiento son ejecutadas extensamente.

### 6.1.3 *Implementación de la etapa de sensado*

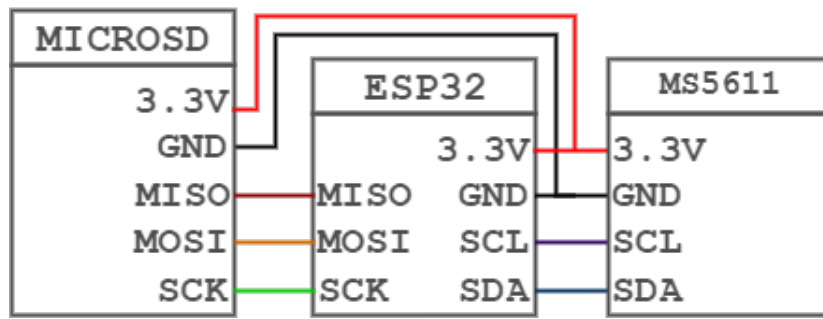
La etapa de sensado se divide en 3 secciones correspondientes a cada uno de los 3 módulos seleccionados: **sensor barométrico - MS5611**, **sensor de unidades inerciales - BNO055** y **localizador geográfico - Ublox Neo 6M**. Lo anterior dado que

inicialmente se realiza la validación individual de cada uno de ellos para posteriormente realizar la respectiva integración. Adicionalmente, la etapa de sensado permite validar la implementación realizada en la etapa de procesamiento.

- **Sensor barométrico - MS5611:**

Con el objetivo de validar el cálculo de altura basado en la medición de presión atmosférica y la temperatura provenientes del sensor barométrico, se realiza el montaje ilustrado en la Figura 33.

Figura 33: *Diagrama de conexiones sensor barométrico.*



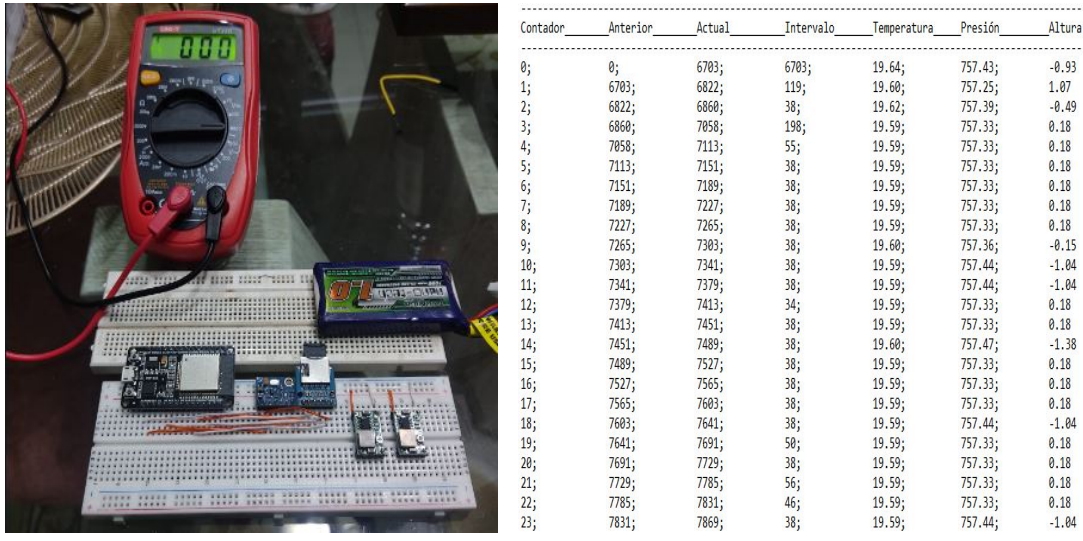
En la Figura 35(a) se puede observar la implementación individual del sensor barométrico MS5611 en tablero electrónico de pruebas (protoboard), a través del sensado de las variables de presión y temperatura se realiza el cálculo de la altura correspondiente, dicho cálculo matemático presentado a continuación, se deriva del despeje llevado a cabo anteriormente, a partir de la **ecuación barométrica**:

$$\text{Altura}[cm] = 44330.0 * \left(1 - \frac{\text{presion}0}{\text{presionActual}}\right)^{0.1903} \quad (4)$$

Esta fórmula funciona a una altitud de aproximadamente 9k, donde el cambio de presión con la altitud se vuelve menos lineal y permite una resolución de 15 [cm].

A través del proceso de validación mencionado previamente y como resultado del mismo, se observa la Figura 35(b) en donde se puede visualizar parte de los datos obtenidos, a través de los cuales se realizan las gráficas de las Figuras 35, estas figuras son el resultado de la lectura de datos realizando una prueba estática y por un periodo de tiempo largo, esto con el fin de validar la confiabilidad del módulo durante distintos periodos de tiempo. Tal como se observa la desviación de error es muy baja, por ende se valida la elección del sensor barométrico MS5611.

- **Sensor unidades inerciales - BNO055:**

Figura 34: *Implementación sensor barométrico MS5611*

(a) Montaje realizado

(b) Datos obtenidos

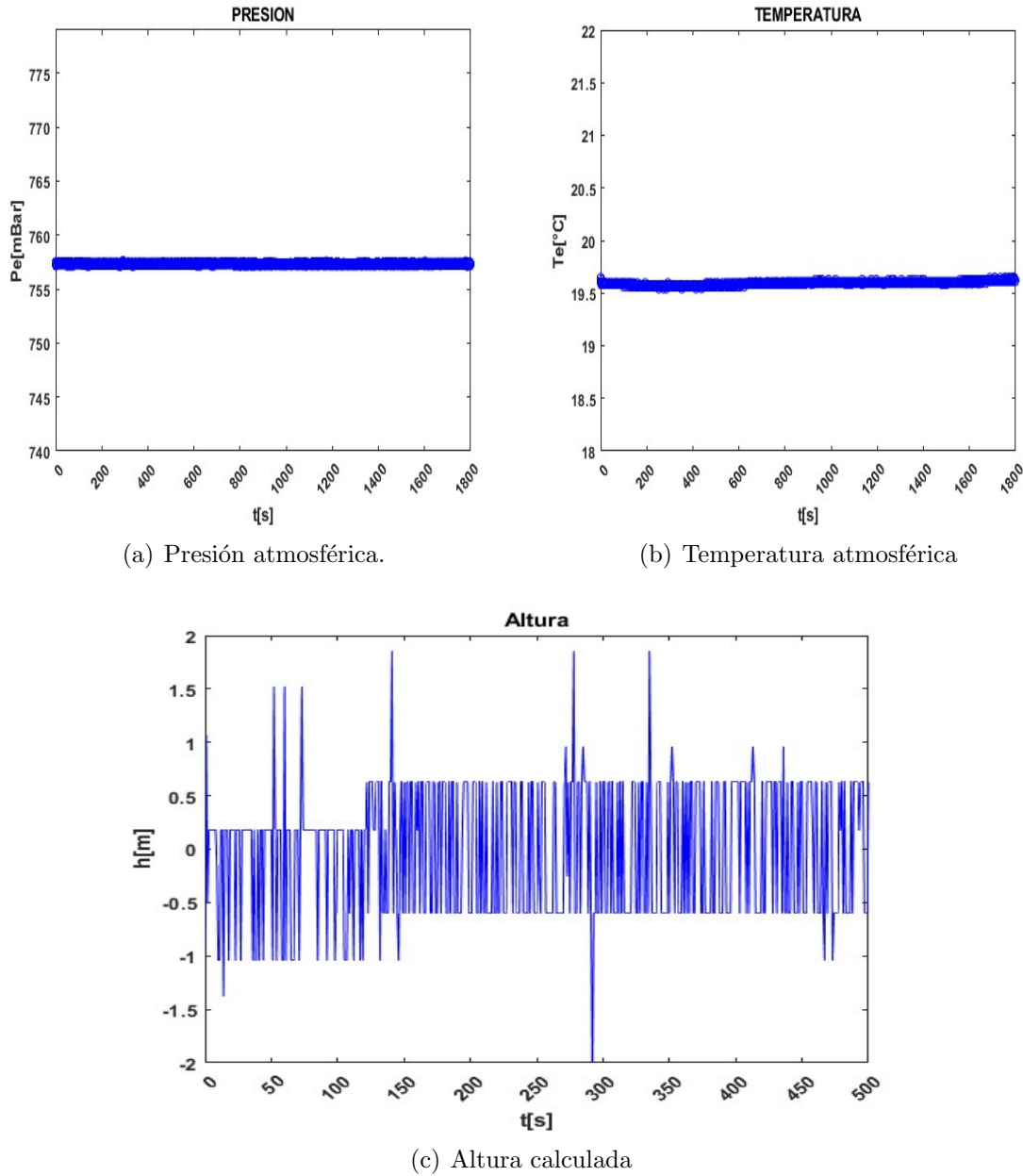
Al igual que con el sensor barométrico, el sensor de unidades iniciales BNO055 se implementa de forma individual antes de integrarlo al sistema, esto con el fin de validar su funcionamiento y corroborar que las mediciones realizadas son correctas. De esta manera, se implementa el diagrama de conexiones de la Figura 36, del mismo, se puede evidenciar que al igual que el sensor barométrico hacen uso del protocolo de comunicación serial I2C, protocolo que permite el uso simultáneo de una gran cantidad de sensores gracias a la capacidad de procesamiento del microcontrolador seleccionado.

La Figura 37 representa el montaje realizado en el tablero electrónico de pruebas (protoboard), a través del cual fue posible obtener los datos de las mediciones ilustradas en la misma Figura. De esta manera, se generan las gráficas de la Figura 38. Lo anterior, permite validar el correcto funcionamiento del sensor de unidades iniciales dando vía libre a la integración del mismo en el sistema.

De la Figura 38 se puede observar que, a diferencia de la componente  $Z$ , la cual lee la aceleración de la gravedad, es decir, aproximadamente  $9.8$  [m/s $^2$ ], las componentes  $X$  e  $Y$  toman un valor de aproximadamente  $0$  [m/s $^2$ ], valor esperado dado que al estar el módulo en estado de reposo, no hay fuerza alguna que lo afecte en dichas componentes.

Dada la importancia del módulo BNO055 y su participación en las etapas de sensado y control, se hace necesario abarcar un mayor número de posibles escenarios con el fin de validar su correcto funcionamiento. Como se observa en la Figura 39, se

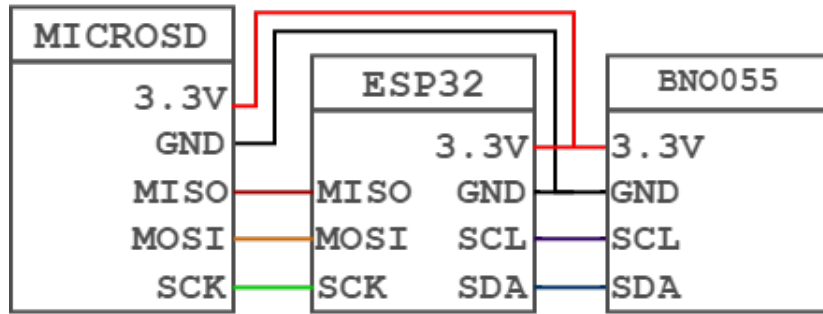
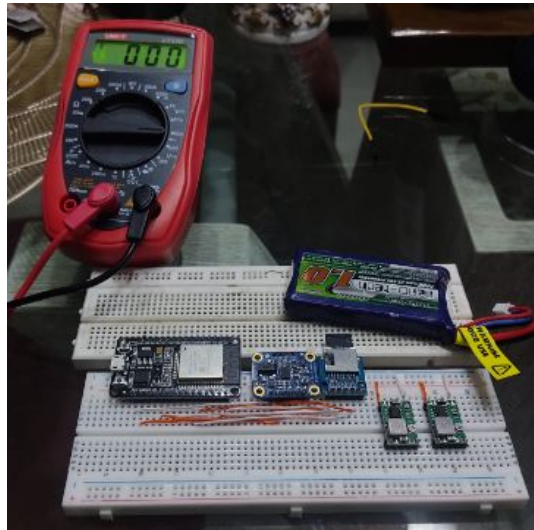
Figura 35: *Datos obtenidos - Implementación estática del sensor MS5611*



evidencia el cambio en las lecturas del sensor cada vez que se efectua un movimiento que altere alguna de sus variables. De esta manera, es posible corroborar el correcto funcionamiento del modulo BNO055.

- ***Localizador geográfico - Ublox Neo 6M:***

A diferencia de los dos sensores previamente presentados, el localizador geográfico GPS se comunica con el microcontrolador a través del protocolo serial UART, tal como se ilustra en el diagrama de conexión de la Figura 40.

Figura 36: *Diagrama de conexiones sensor de unidades iniciales.*Figura 37: *Implementación sensor de unidades iniciales BNO055*

(a) Montaje realizado

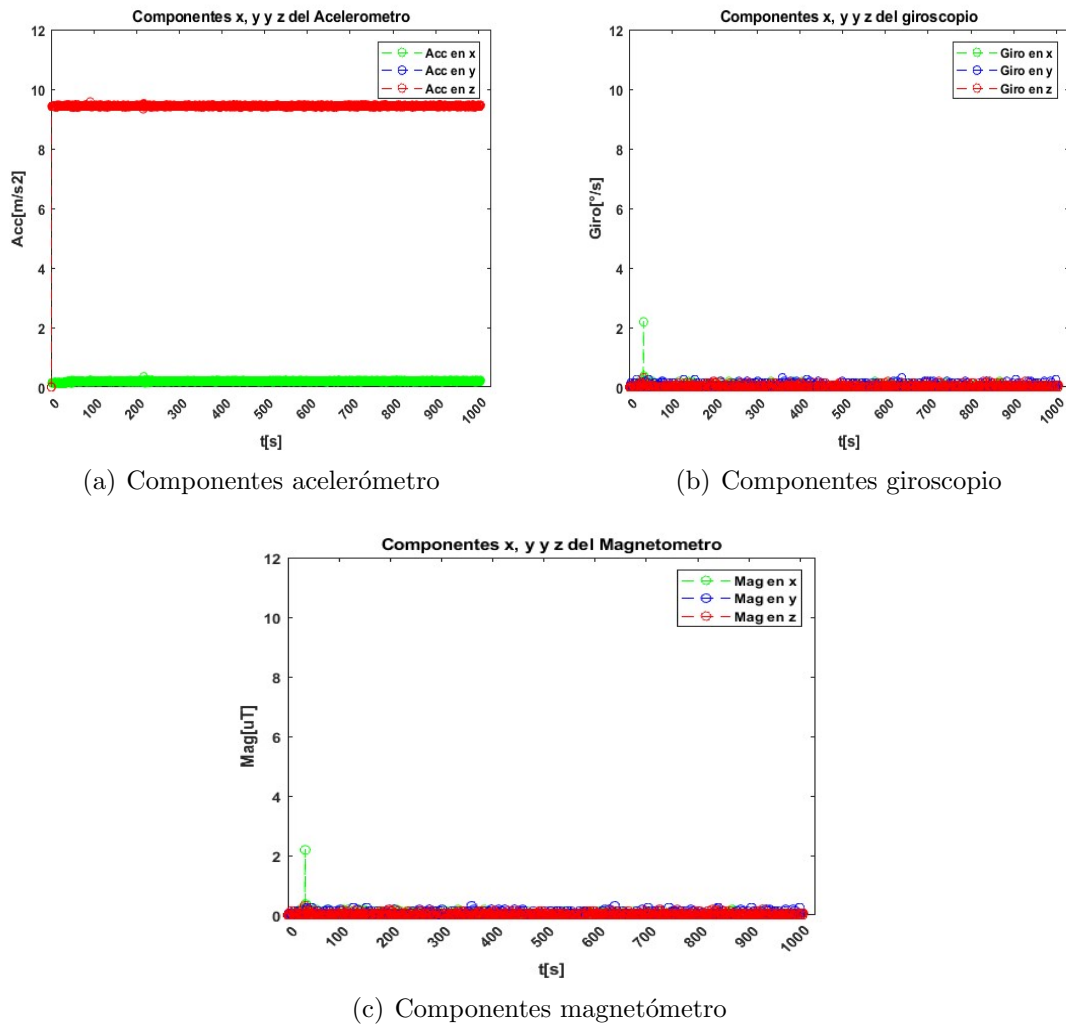
Count	Ant	Act	Int	X_mag	Y_mag	Z_mag
0;	0;	1986;	1986;	0.00;	0.00;	0.00
1;	1986;	2162;	176;	0.00;	0.00;	0.00
2;	2162;	2239;	77;	0.00;	0.00;	0.00
3;	2239;	2477;	238;	-8.25;	3.69;	12.50
4;	2477;	2573;	96;	-3.00;	14.50;	19.62
5;	2573;	2651;	78;	0.50;	24.44;	50.63
6;	2651;	2729;	78;	5.06;	51.81;	120.06
7;	2729;	2810;	81;	71.69;	-7.44;	141.25
8;	2810;	2887;	77;	63.56;	14.13;	59.25
9;	2887;	2964;	77;	54.50;	-7.31;	-2.31
10;	2964;	3042;	78;	36.44;	-45.00;	1.50
11;	3042;	3122;	80;	77.94;	-35.69;	59.06
12;	3122;	3202;	80;	41.69;	-43.56;	142.00
13;	3202;	3288;	86;	108.94;	33.00;	180.12
14;	3288;	3365;	77;	-70.62;	132.12;	202.62
15;	3365;	3443;	78;	15.13;	10.63;	12.00
16;	3443;	3523;	80;	59.94;	-61.44;	-11.50
17;	3523;	3603;	80;	-31.37;	24.87;	-34.31
18;	3603;	3692;	89;	15.13;	-23.12;	-7.00
19;	3692;	3772;	80;	3.25;	4.75;	-5.06
20;	3772;	3852;	80;	12.94;	-2.00;	-3.06
21;	3852;	3948;	96;	4.75;	-5.81;	-1.12
22;	3948;	4027;	79;	-5.06;	3.62;	-0.19
23;	4027;	4106;	79;	-3.62;	0.06;	-0.69

(b) Datos obtenidos

A pesar de que dicho módulo es capaz de brindar una gran cantidad de opciones e información respecto a la comunicación satelital que establece, en el presente proyecto se precisa únicamente de la información de coordenadas del mismo, tal como se muestra en la Figura 42(b), luego de haber realizado el respectivo montaje en el tablero de pruebas electrónico (protoboard) de la Figura 42(a).

Al realizar la búsqueda en la herramienta Google Maps de las coordenadas arrojadas (**[7.120104, -73.118186]**) por el GPS mostradas en la Figura 42(b), se puede visualizar en la Figura 42 la ubicación del lugar donde fueron realizadas las pruebas, corroborando de esta manera que individualmente el GPS Ublox Neo-6M funciona correctamente y garantiza la localización de la aviónica en el momento de ser integrado al sistema con un margen de error no mayor a 100 metros.

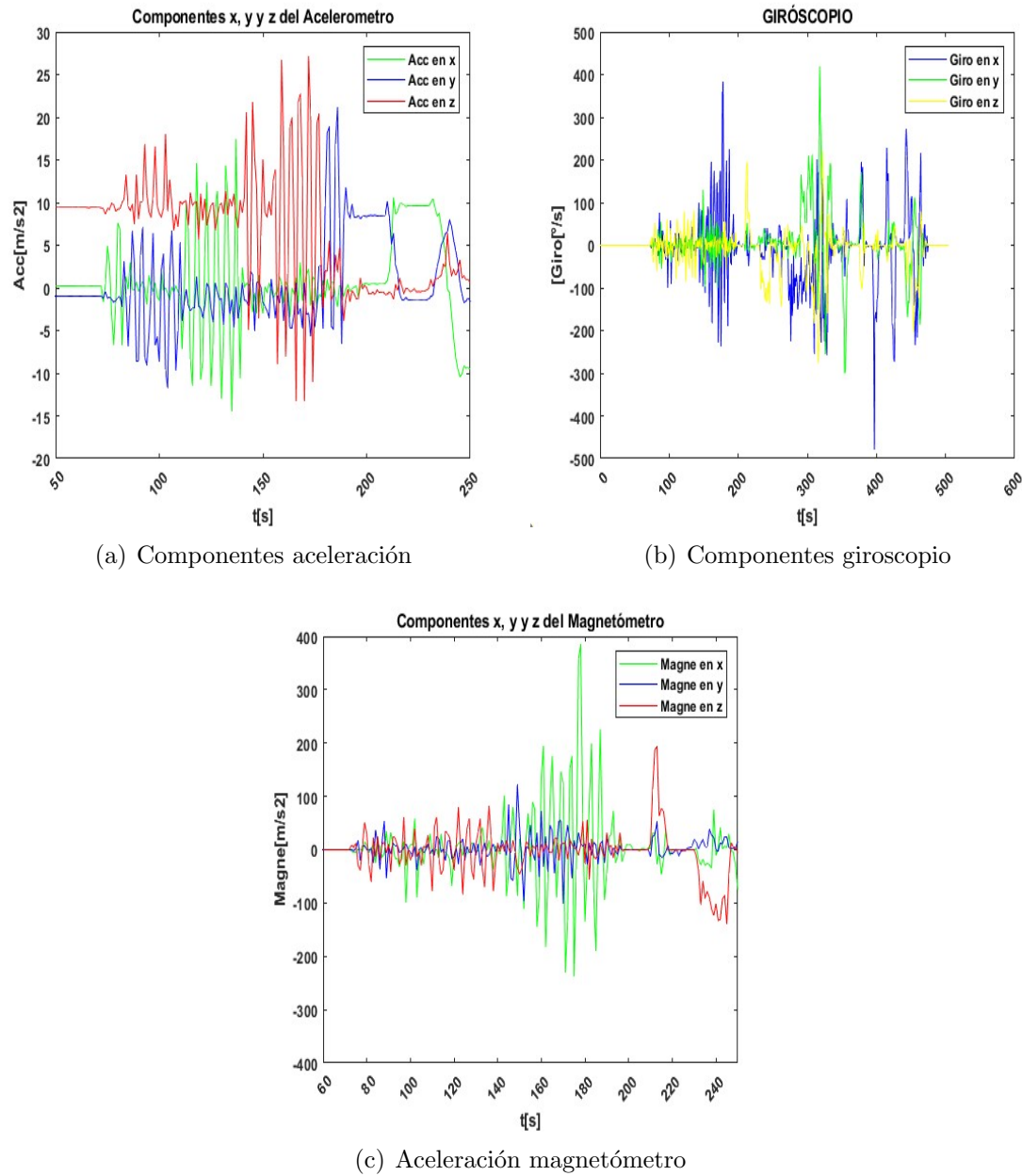
Figura 38: *Datos obtenidos - Implementación estática del sensor BNO055*



#### **6.1.4    *Implementación de la etapa de control***

La implementación de la etapa de control se encarga de validar el análisis teórico realizado en la sección 4, la simulación descrita en la sección 5 y a su vez el funcionamiento de los componentes electrónicos seleccionados para esta etapa. Paralelamente, con los resultados obtenidos de esta implementación se soporta el funcionamiento de la etapa de procesamiento y telemetría.

Como se especificó en la sección 4, el circuito de ignición debe cumplir con los requerimientos y soportar las condiciones mencionadas allí, para ello, se implementa el circuito ilustrado en la Figura 43. Haciendo uso del transistor MOSFET de canal N **IRFZ44N** en su topología commutable. Es posible que a través de una señal de activación digital (etiqueta PYRO1 de la Figura 43) proveniente del microcontrolador **ESP32-WROOM-32D**, el transistor entre en estado de conducción y sea capaz de transportar, por un

Figura 39: *Datos obtenidos - Implementación en movimiento del sensor BNO055*

corto periodo de tiempo, una cantidad suficiente de corriente para activar el mecanismo de ignición. Lo anterior se encuentra soportado y validado en el diagrama del algoritmo general de la Figura 32, en el código descrito en el Anexo ??, en la simulación respectiva realizada e ilustrada en la Figura 25 y en las evidencias gráficas de la Figura 44.

Finalmente, a través del material audiovisual de soporte que se puede encontrar en el Anexo ?? se encuentran pruebas bajo condiciones reales de funcionamiento junto al exitoso resultado que corrobora el funcionamiento tanto de la lógica de programación utilizada en el algoritmo como del funcionamiento del circuito implementado.

Figura 40: Diagrama de conexiones localizador geográfico GPS NEO 6M.

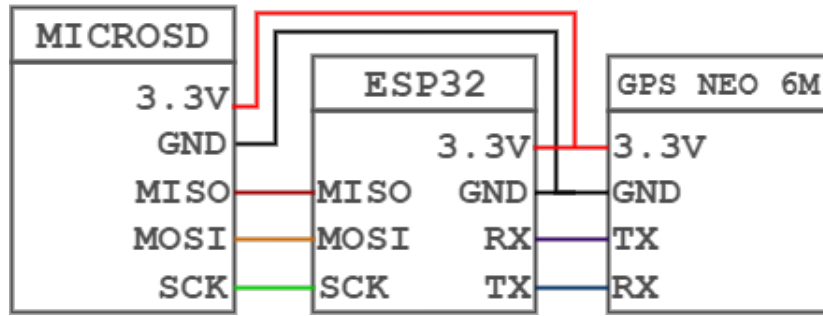
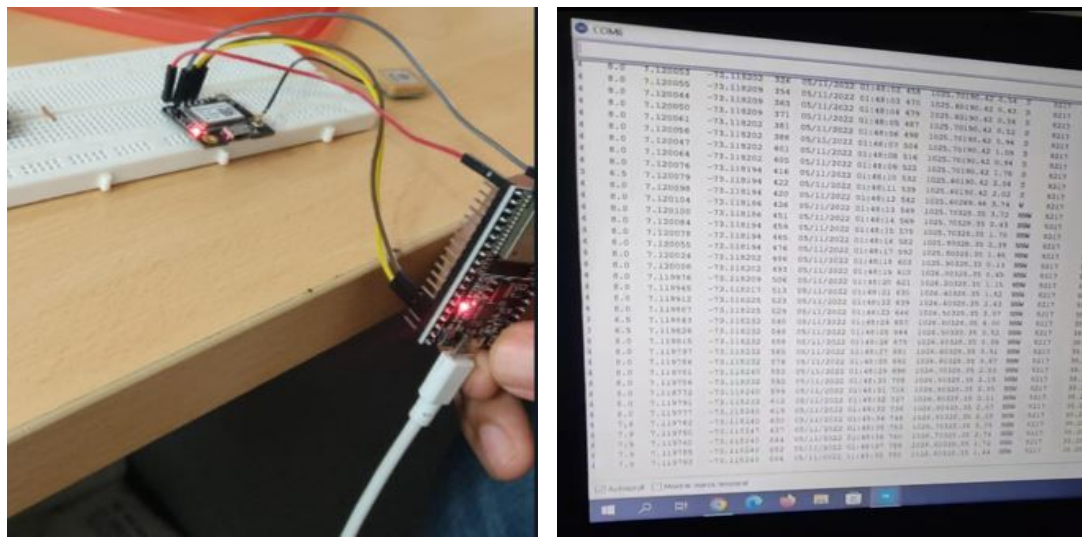


Figura 41: Implementación localizador geográfico GPS NEO 6M



(a) Montaje realizado

(b) Datos obtenidos

Figura 42: Resultados de búsqueda a través de coordenadas arrojadas por GPS.

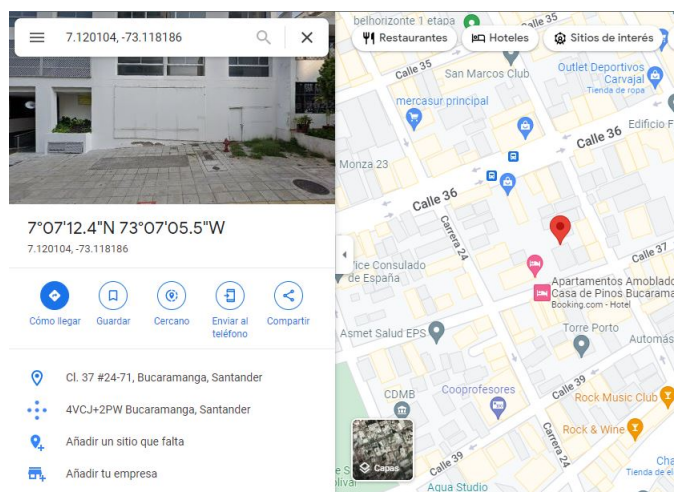


Figura 43: Diagrama para circuito de ignición.

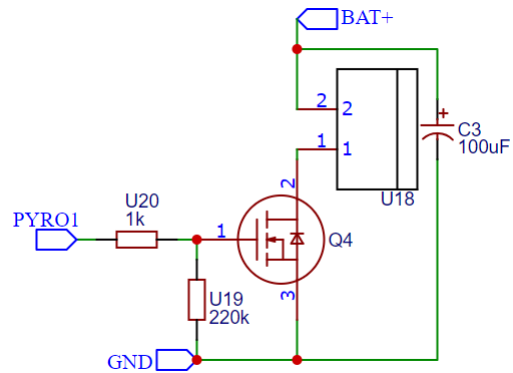
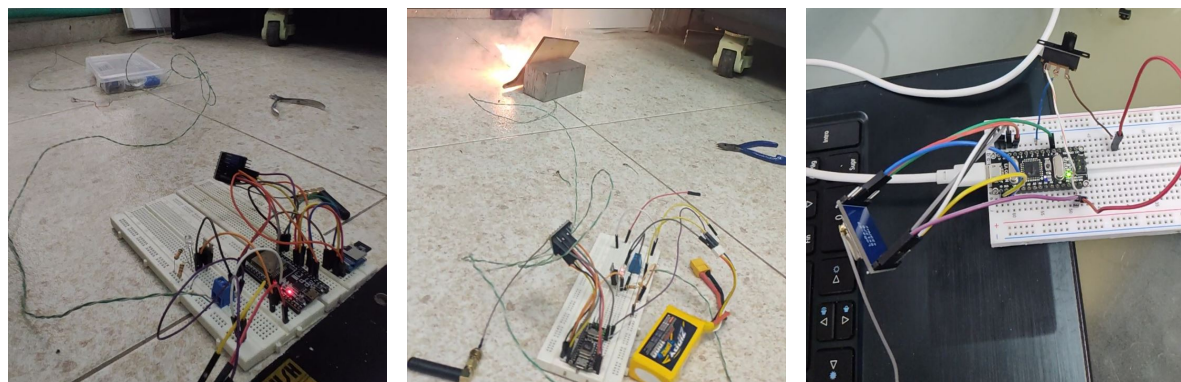


Figura 44: Validación de funcionamiento de los circuitos de ignición.



(a) Montaje realizado - transmisor 2.

(b) Evidencia de ignición.

(c) Montaje realizado - receptor.

### 6.1.5 Implementación de la etapa de almacenamiento

El correcto y eficaz almacenamiento de la información obtenida por las etapas anteriormente descritas es indispensable en el proyecto, debido a que de esta manera es posible validar el funcionamiento de la aviónica y demás subsistemas que componen la misión, de igual forma caracterizar el cohete sonda y sentar un precedente en las ciencias aeroespaciales en Colombia.

La implementación de la etapa de almacenamiento se lleva a cabo a través del módulo adaptador para memoria microSD previamente descrito en la Figura 19 y la memoria SD con capacidad de 16 [GB] de almacenamiento ilustrada en la misma Figura. Dichos componentes electrónicos son capaces de comunicarse con la etapa de procesamiento a través del protocolo serial SPI, de manera que, por medio de la etapa de procesamiento, se establece la comunicación entre la etapa de almacenamiento y las demás etapas para así almacenar la información que las mismas generan.

En la Figura 45, se puede observar la forma en la que se almacenan los datos en archivos de formato .txt.

Figura 45: *Datos almacenados por parte de los sensores.*

MS5611_2.TXT: Bloc de notas							BNO055_magnetometer.TXT: Bloc de notas													
Archivo Edición Fórmato Ver Ayuda							Archivo Edición Fórmato Ver Ayuda													
<hr/> -----  AVIÓNICA COHETE SONDA ORIÓN UIS - Almacenamiento -----																				
Test: Cálculo altura - MS5611   Identificador: 02   Etapa de sensado																				
Autores: Juan Martín Vivas Camargo   Santiago Hernández Rincón																				
<hr/>																				
Contador -> Contador identificador.																				
Anterior -> Tiempo de muestra anterior.																				
Actual -> Tiempo de muestra actual.																				
Intervalo -> Intervalo - diferencia entre muestras.																				
Temperatura -> Lectura de Temperatura.																				
Presión -> Lectura de Presión.																				
Altura -> Lectura de Altura.																				
<hr/>																				
Contador	Anterior	Actual	Intervalo	Temperatura	Presión	Altura	Count	Ant	Act	Int	X_mag	Y_mag	Z_mag							
0;	0;	6703;	6703;	19.64;	757.43;	-0.93	0;	0;	1986;	1986;	0.00;	0.00;	0.00							
1;	6703;	6822;	119;	19.60;	757.25;	1.07	1;	1986;	2162;	176;	0.00;	0.00;	0.00							
2;	6822;	6860;	38;	19.62;	757.39;	-0.49	2;	2162;	2239;	77;	0.00;	0.00;	0.00							
3;	6860;	7058;	198;	19.59;	757.33;	0.18	3;	2239;	2477;	238;	-8.25;	3.69;	12.50							
4;	7058;	7113;	55;	19.59;	757.33;	0.18	4;	2477;	2573;	96;	-3.00;	14.50;	19.62							
5;	7113;	7151;	38;	19.59;	757.33;	0.18	5;	2573;	2651;	78;	0.50;	24.44;	50.63							
6;	7151;	7189;	38;	19.59;	757.33;	0.18	6;	2651;	2729;	78;	5.06;	51.81;	120.06							
7;	7189;	7227;	38;	19.59;	757.33;	0.18	7;	2729;	2810;	81;	71.69;	-7.44;	141.25							
8;	7227;	7265;	38;	19.59;	757.33;	0.18	8;	2810;	2887;	77;	63.56;	14.13;	59.25							
9;	7265;	7303;	38;	19.60;	757.36;	-0.15	9;	2887;	2964;	77;	54.56;	-7.31;	-2.31							
10;	7303;	7341;	38;	19.59;	757.44;	-1.04	10;	2964;	3042;	78;	36.44;	-45.00;	1.50							
11;	7341;	7379;	38;	19.59;	757.44;	-1.04	11;	3042;	3122;	80;	77.94;	-35.69;	59.06							
12;	7379;	7413;	34;	19.59;	757.33;	0.18	12;	3122;	3202;	80;	41.69;	-43.56;	142.00							
13;	7413;	7451;	38;	19.59;	757.33;	0.18	13;	3202;	3288;	86;	108.94;	33.00;	180.12							
14;	7451;	7489;	38;	19.60;	757.47;	-1.38	14;	3288;	3365;	77;	-70.62;	132.12;	202.62							
15;	7489;	7527;	38;	19.59;	757.33;	0.18	15;	3365;	3443;	78;	15.13;	10.63;	12.00							
16;	7527;	7565;	38;	19.59;	757.33;	0.18	16;	3443;	3523;	80;	59.94;	-61.44;	-11.50							
17;	7565;	7603;	38;	19.59;	757.33;	0.18	17;	3523;	3603;	80;	-31.37;	24.87;	-34.31							
18;	7603;	7641;	38;	19.59;	757.44;	-1.04	18;	3603;	3692;	89;	15.13;	-23.12;	-7.00							
19;	7641;	7691;	50;	19.59;	757.33;	0.18	19;	3692;	3772;	80;	3.25;	4.75;	-5.06							
20;	7691;	7729;	38;	19.59;	757.33;	0.18	20;	3772;	3852;	80;	12.94;	-2.00;	-3.06							
21;	7729;	7785;	56;	19.59;	757.33;	0.18	21;	3852;	3948;	96;	4.75;	-5.81;	-1.12							
22;	7785;	7831;	46;	19.59;	757.33;	0.18	22;	3948;	4027;	79;	-5.06;	3.62;	-0.19							

(a) Datos almacenados MS5611.

(b) Datos almacenados BNO055.

### 6.1.6 Implementación de la etapa de telemetría

La etapa de telemetría surge de la necesidad de reconocimiento de las diferentes etapas de la misión, teniendo en medio la distancia existente entre la estación terrena y la trayectoria del cohete (aproximadamente 4Km incluyendo la distancia entre la estación terrena y el punto de lanzamiento). Con esto en mente y partiendo de los módulos **LoRa Ra-02** descritos en la sección 4, se corrobora la veracidad de funcionamiento de los módulos y antenas seleccionadas a través de diferentes pruebas a diferentes distancias. Para ello se realizaron 3 pruebas diferentes con los módulos de la Figura 47.

Figura 46: *Módulos transmisor y receptor para pruebas de telemetría.*

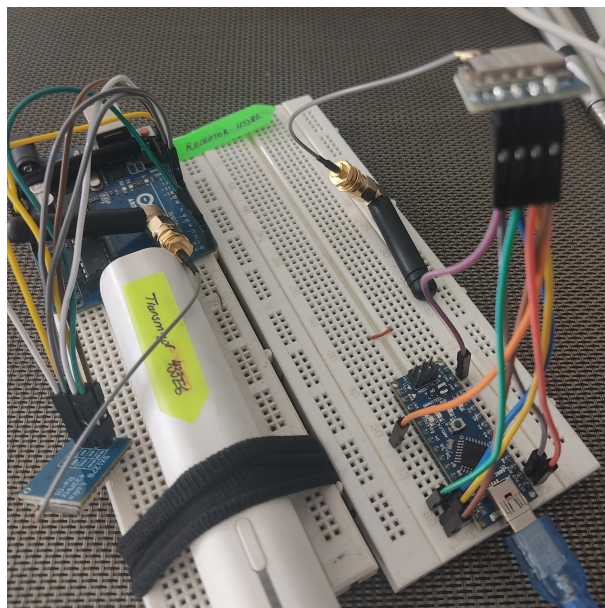


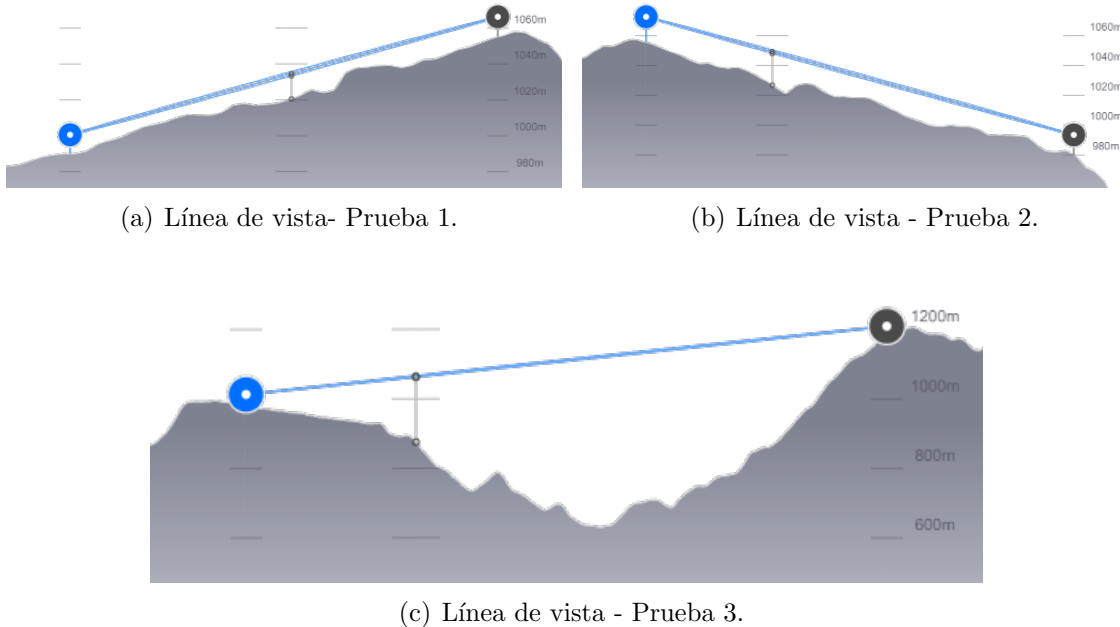
Tabla 12: *Dispositivos utilizados - Etapa de telemetría.*

Etapa	Dispositivo	Protocolo	Rango	Especificación	
				Frecuencia de operación	Potencia de etapa
Transmisión	LoRa Ra-02(SX1278)	SPI		433MHz	20dBm
Transmisión	Antena SMA	-		433MHz	3dBi
Recepción	LoRa Ra-02(SX1278)	SPI	10 hasta 20 [Km]	433MHz	-168dB
Recepción	Antena SMA	-		433MHz	3dBi

Tabla 13: *Pruebas realizadas etapa de telemetría.*

Prueba	Transmisor	Receptor	Distancia alcanzada	Unidades
1	Residencias UIS	Edificio Petróleos UIS	637	m
2	Edificio Ciencias Humanas UIS	Condominio Bosque de Pinos	1200	m
3	Aeropuerto Palonegro	Laboratorios Pesados UIS	6600	m

Figura 47: *Líneas de vista de las pruebas de telemetría realizadas*

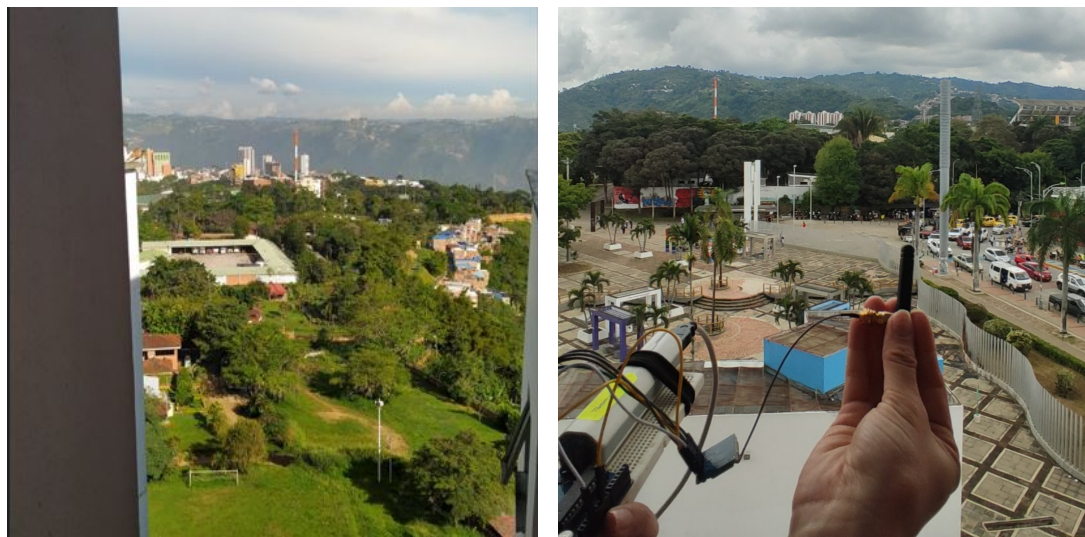


- **Prueba de comunicación y transmisión 1:** Se establece radioenlace entre el edificio de petróleos de la Universidad Industrial de Santander hasta la entrada de las residencias estudiantiles de la misma institución. Se evidencia en la Figura 48(a) que la línea de vista es clara, sin embargo, en la Figura 49(a) se evidencia que la línea de vista se encuentra obstruida por árboles y personas transitando, por lo cual, se planea la segunda prueba asegurando una línea de vista más clara. La prueba realizada no tuvo gran éxito por las razones previamente expuestas, se evidenciaba pérdida de datos e información errónea, de allí la importancia de la línea de vista. En la Figura 48 se observa el primer circuito transmisor de pruebas implementado.
- **Prueba de comunicación y transmisión 2:** Se realiza la prueba ubicando el transmisor en el Edificio de Ciencias Humanas de la Universidad Industrial de Santander y el receptor en el Condominio Bosque de Pinos, de tal manera que se valide la línea de vista de la Figura 48(b). Con la Figura 50(a) se valida una línea de vista clara, donde, a través del circuito de la Figura 49 se establece una excelente comunicación entre transmisor y receptor, asegurando recepción de la información sin pérdida y sin retrasos con una distancia aproximada de 1200 metros. Luego de la prueba realizada, se establecen requisitos y recomendaciones al usar los módulos y antenas, de allí la importancia de enfrentar paralelamente las antenas, ya que, al ser omnidireccionales, su patrón de radiación así lo limita.
- **Prueba de comunicación y transmisión 3:** Tal como se mencionó en la intro-

Figura 48: *Prueba de telemetría 1.*

(a) Línea de vista real - prueba 1.

(b) Módulo transmisor prueba 1.

Figura 49: *Prueba de telemetría 2.*

(a) Línea de vista real - prueba 2.

(b) Módulo transmisor prueba 2.

ducción de la presente sección, se requiere establecer y comprobar una comunicación entre los módulos de al menos 4 [Km], en ese sentido, se establece la prueba final ubicando el transmisor en el restaurante Mirador Bumangués (ver Figura 51(b)) y el receptor en el edificio de Laboratorios Pesados de la Universidad Industrial de Santander (ver Figura 51(c)). La distancia aproximada entre los dos puntos es de 6600 metros, lo cual es suficiente para suprir los requerimientos de la etapa de telemetría, tal como se muestra en la Figura 48(c). La prueba se desarrolla con un éxito total al tener en cuenta las recomendaciones de la prueba anterior y se eviden-

cia que al enfrentar las antenas omnidireccionales, la recepción de la información es clara y completa (ver Figura 51), validando de tal manera que los módulos de la Tabla 12 son los indicados para la misión.

Figura 50: *Prueba de telemetría 3.*



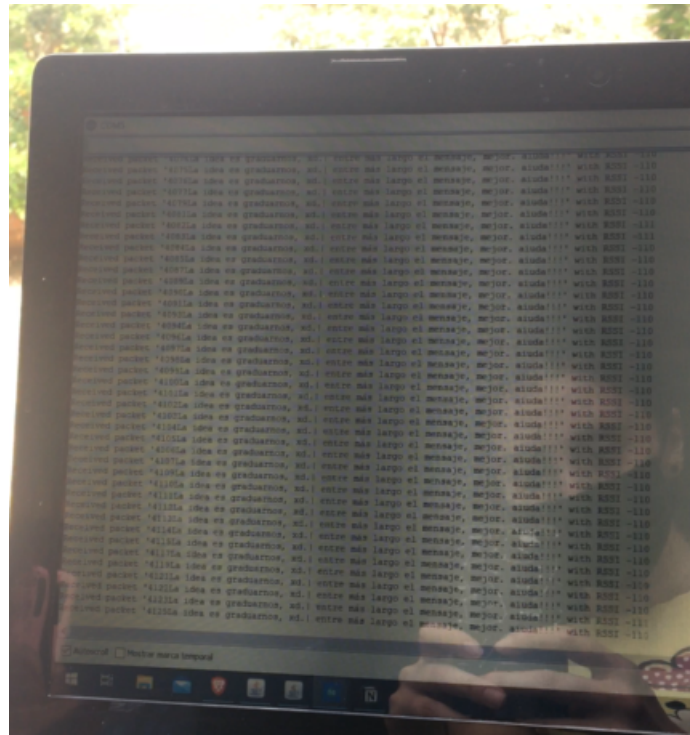
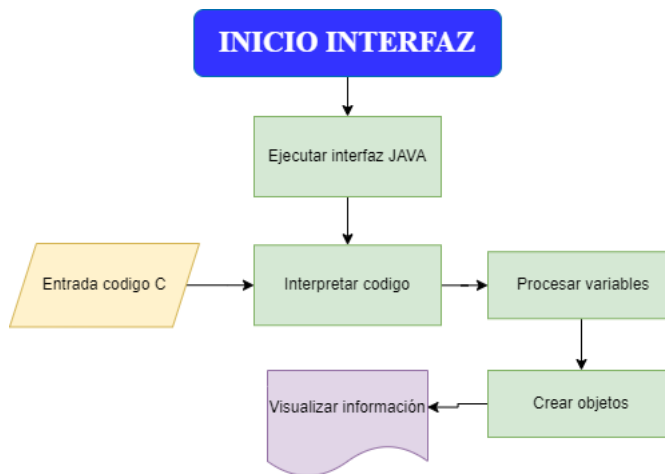
(a) Línea de vista real - prueba 3. (b) Módulo transmisor prueba 2. (c) Módulo receptor prueba 3.

Por medio de cada prueba de validación realizada se comprueba la veracidad y funcionamiento de los componentes seleccionados, la metodología se basó en la simulación de una trama de datos lo suficientemente larga con el fin de validar el ancho de banda para datos de tal tipo. Por otro lado, se implementa un contador de manera que permitiera comprobar la nula perdida de información, obteniendo una cantidad de al menos 15 muestras por segundo en la tercera prueba realizada, lo cual, es suficiente para la misión.

#### **6.1.7 *Implementación de la etapa de visualización***

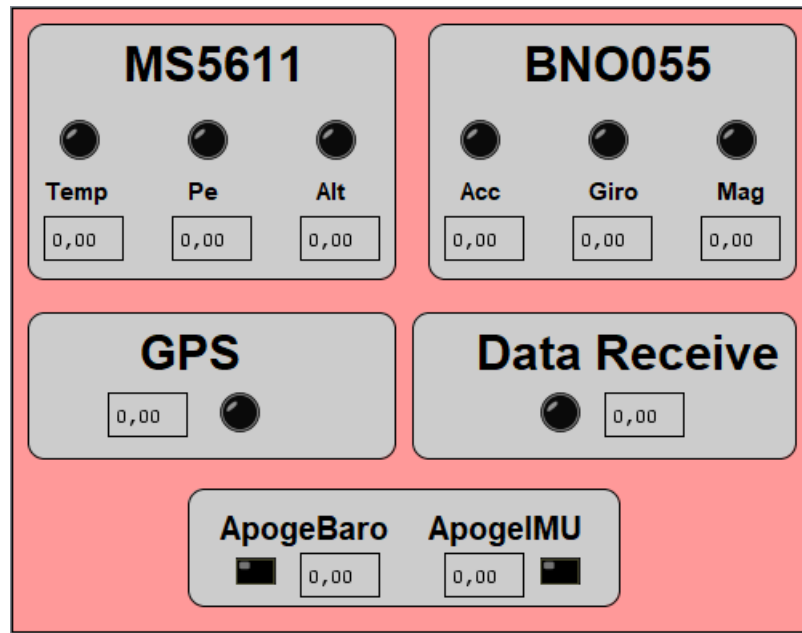
Como se mencionó en la sección 4, la implementación del sistema de visualización se lleva a cabo de forma local a través del aplicativo construido a base del lenguaje Java y que se puede visualizar en la Figura 53. A su vez, las estudiantes del proyecto de grado *Diseño e Implementación del front-end y back-end de una plataforma IoT para recepción, registro y visualización de los datos de telemetría y del payload del cohete sonda de combustible sólido Orión del Semillero de Cohetería UIS Aeroespacial*, implementan el desarrollo IoT con una interfaz visual como la que se puede observar en la Figura ???. De esta manera, es posible visualizar el estado de la misión y la información proveniente de los sensores de 2 formas posibles, esto permite cumplir con los objetivos y requerimientos planteados a lo largo del proyecto.

Para el método utilizado localmente, el microcontrolador ESP32 debe comunicarse con la interfaz, esto se logra haciendo uso de la librería RXTX, la cual habilita el uso del puerto serial. Seguidamente, se abre el puerto desde el cual se puede utilizar el microcontrolador y definirlo en el código Java, en este caso un puerto COM.

Figura 51: *Validación de la información recibida - prueba 3.*Figura 52: *Algoritmo implementado para la etapa de visualización.*

La imagen 53, es el resultado de la interfaz diseñada en java. En la interfaz se visualizan en tiempo real los datos leídos por los sensores del sistema, al mismo tiempo que posee indicativos para las señales de control que se deben activar en las diferentes etapas de vuelo.

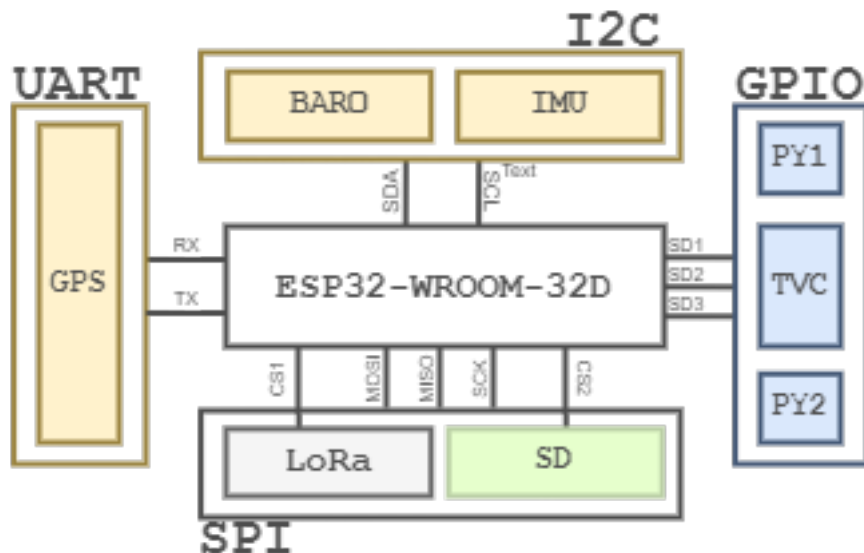
Figura 53: *Interfaz local desarrollada en Java.*



## 6.2 Integración general del sistema

Una vez realizado el proceso de implementación y validación individual de cada etapa, se procede a la integración de cada una de ellas con el objetivo de conformar la aviónica del cohete sonda Orion-UIS. Este proceso se lleva a cabo a través de la centralización de la etapa de procesamiento como eje principal, dado que las demás etapas se ramifican de ella, esta idea de procedimiento se puede ejemplificar a través del diagrama de la Figura 54.

Figura 54: *Diagrama ilustrativo de integración final.*



Teniendo en cuenta los protocolos seriales que cada componente utiliza, las diferentes salidas digitales para los canales de ignición y los requerimientos descritos en la sección 4.1, se procede a desarrollar una placa de circuito impreso (PCB) que integre los parámetros previamente mencionados.

A lo largo del desarrollo del proyecto se tuvo varios diseños e implementaciones que permitieran realizar pruebas de funcionamiento, integración y validación del algoritmo planteado. Dado que al ser un proceso iterativo requería de una gran cantidad de pruebas de funcionamiento, por ello, en el transcurso de implementación se desarrollaron 5 diferentes placas (ver Tabla 14) que integraban en ellas los dispositivos necesarios y las etapas mencionadas en la sección 7.1.

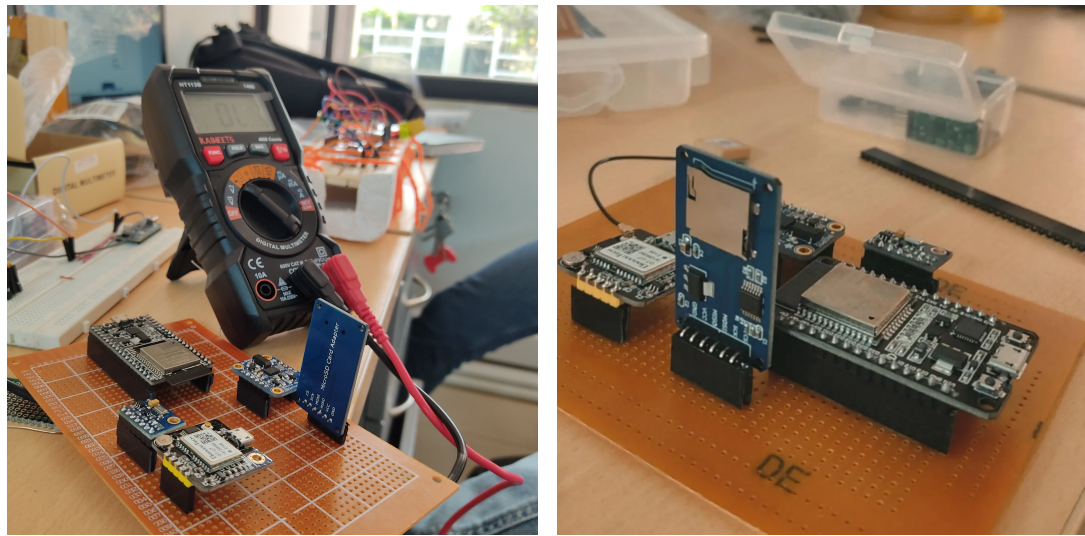
Tabla 14: *Proceso de desarrollo de placas aviónica.*

Placa	Tipo de placa	Tecnología	Integración	Funcionalidad	Utilizable
1	Universal perforada	Through-hole	80%	50%	No
2	Universal perforada	Through-hole	80%	75%	No
3	Impresa	Through-hole	95%	70%	No
4	Impresa	Through-hole	100%	90%	Sí
5	Impresa	Through-hole	100%	100%	Sí

- **Desarrollo placa 1:** El primer diseño e implementación desarrollado se puede visualizar en las imágenes de la Figura 55, el cual es una implementación a través de baquelita universal perforada y su uso se enfocó netamente en la extracción de datos que permitieran corroborar el funcionamiento de los sensores implementados y el correcto uso de los diferentes protocolos de comunicación serial.

De las evidencias mostradas en la Figura 55, se ilustra la sencillez de la placa desarrollada, al igual que, la falta del módulo de la etapa de telemetría **LoRa Ra-02**. Sin embargo, incluye los demás dispositivos seleccionados, permitiendo así corroborar el funcionamiento del sensor barométrico y el sensor de unidades iniciales simultáneamente a través del protocolo de comunicación serial I2C, de igual forma, la etapa de almacenamiento a través del módulo para tarjeta micro SD y el GPS. A pesar de que la placa funcionó correctamente para probar los módulos, no cumple con los requerimientos técnicos expuestos en la sección 4, adicionalmente, tampoco brinda garantía de funcionamiento y su estado de hardware no era propicio para pruebas de lanzamiento mecánicas.

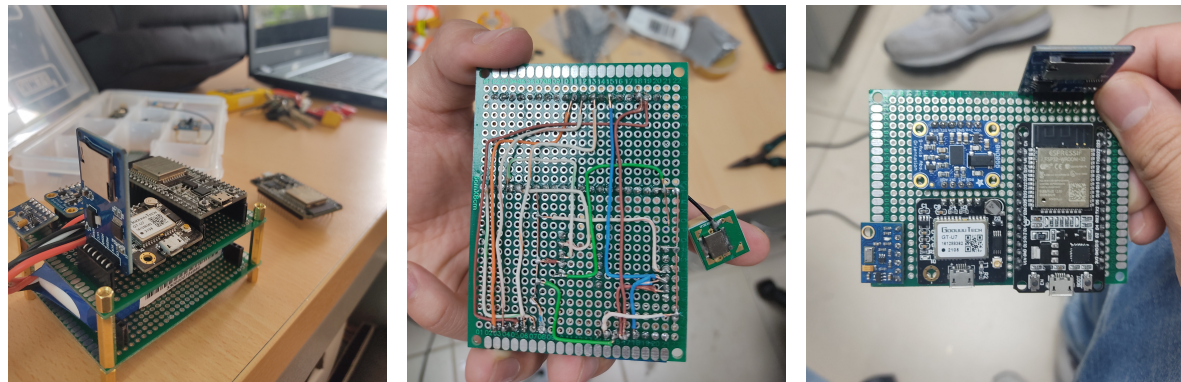
- **Desarrollo placa 2:** Una vez identificadas ciertas mejoras que pudieran influir en el cumplimiento de los requerimientos técnicos, se procede a desarrollar una segunda placa más robusta, con dimensiones dentro de las especificaciones de los

Figura 55: *Evidencias placa desarrollada 1.*

(a) Placa de pruebas 1 - Validación.

(b) Placa de pruebas 1 - Integración.

requerimientos y que incorporara todos los dispositivos. La placa implementada se puede observar en las evidencias de la Figura 56.

Figura 56: *Evidencias placa desarrollada 2.*

(a) Placa de pruebas 2 - evidencia 1.

(b) Placa de pruebas 2 - evidencia 2.

(c) Placa de pruebas 2 - evidencia 3.

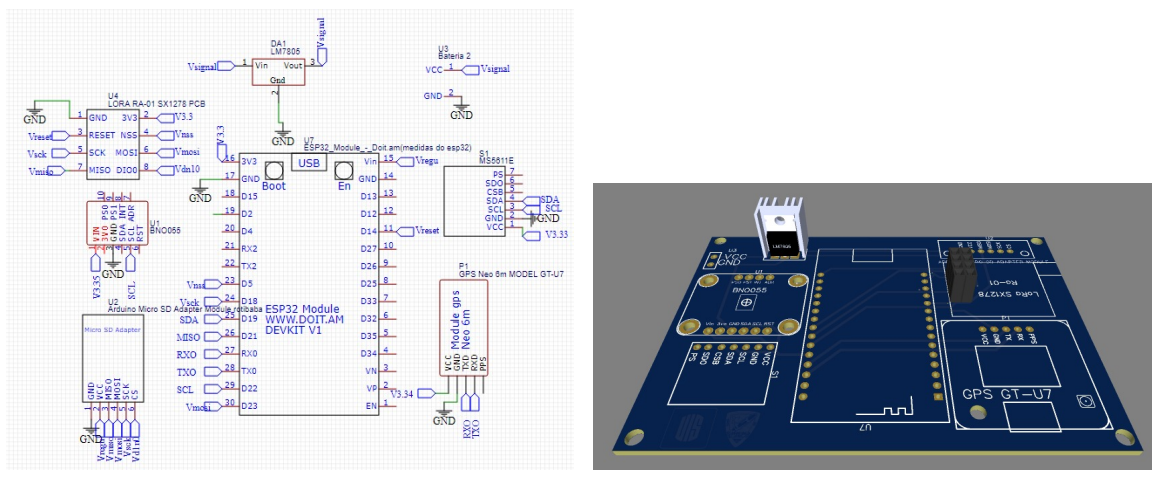
Tal como se puede observar en la Figura 57(b), las conexiones se realizaron haciendo uso de cable, lo cual no permite realizar pruebas mecánicas y de lanzamiento garantizando un correcto estado en las conexiones. Por otro lado, se puede evidenciar que el tamaño de la placa se redujo considerablemente, lo cual, permite corroborar que los dispositivos seleccionados tras una correcta distribución y conexión encajan perfectamente en los requerimientos estructurales establecidos. Finalmente, en la presente implementación se concluye que el módulo adaptador de microSD requiere un cambio en su implementación, pues su geometría no brinda confiabilidad

mecánica.

- **Desarrollo placa 3:**

Para dar solución a la problemática de conexión y así poder realizar pruebas mecánicas confiables, se efectúa el primer diseño de circuito impreso y se realiza su respectiva fabricación. En la Figura 58(a) correspondiente al esquemático diseñado, se puede visualizar que se incluye en la placa el total de dispositivos a utilizar mencionados en la descripción de etapas de la sección 7.1. Por otro lado, en la Figura 58(b) se observa el diseño renderizado previo a su fabricación.

Figura 57: Proceso de diseño placa de pruebas 3.

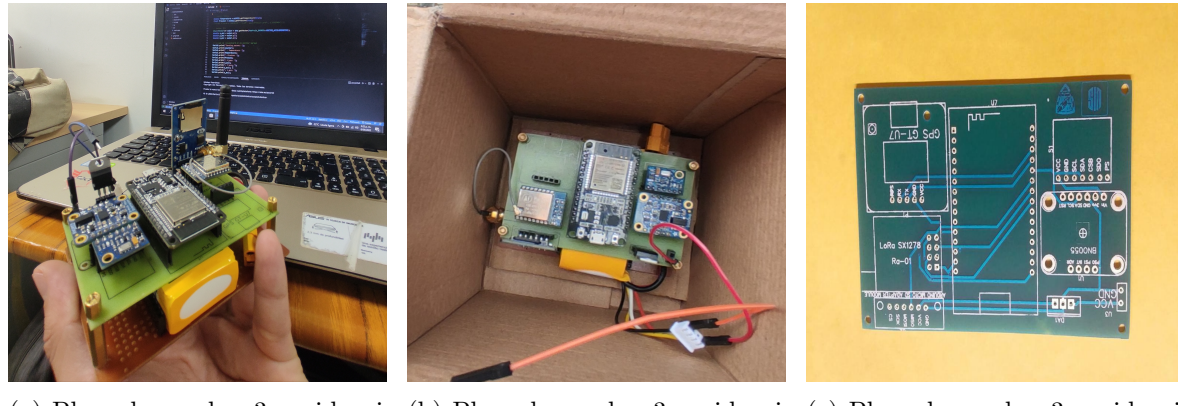


Por medio de la Figura 57 se puede visualizar que el diseño constó de 2 capas, haciendo uso de la tecnología *Through-Hole*. Se aseguró que las dimensiones se ajustaran a los requerimientos técnicos y de tal manera se asegura confiabilidad en la realización de pruebas que permitieran comprobar funcionalidad de la misma y del algoritmo establecido.

La materialización de la placa se puede observar en las evidencias de la Figura 58.

A través de las pruebas de funcionamiento y de lanzamiento realizadas, se detectaron 2 anomalías que debían ser solucionadas: 1) Incompatibilidad entre los módulos microSD y LoRa Ra-02 haciendo uso del protocolo SPI. 2) Geometría del módulo microSD inviable para la misión. Para dar solución a los inconvenientes presentados, se realiza el cambio del módulo adaptador de microSD por el módulo presentado en la Figura 19.

- **Desarrollo placa 4:** En vista del evento Latin American Space Challenge, se procedió a realizar el diseño de una placa de circuito impreso robusta y que brindara

Figura 58: *Evidencias placa desarrollada 2.*(a) Placa de pruebas 3 - evidencia 1.  
(b) Placa de pruebas 3 - evidencia 2.  
(c) Placa de pruebas 3 - evidencia 3.

confiabilidad en la misión. Para ello, a través del software CAD EasyEda, se realiza el diseño de la placa iniciando por el esquemático mostrado en el Apéndice 71, en el mismo, se puede observar que se tuvieron en cuenta todos los aprendizajes adquiridos en las placas de prueba mostradas anteriormente, adicionalmente, se añadieron dispositivos de interacción tanto visual como auditiva, estos permiten reconocer el estado de la placa y un proceso de recuperación post-vuelo más efectivo.

Una vez realizadas las conexiones en el esquemático, se procede a la realización de las huellas y pads de cada elemento, este proceso se lleva a cabo a través del mismo software CAD de diseño EasyEda. Una vez se cuenta con el esquemático, las huellas y pads de cada componente, se continúa con el proceso de ruteo y diseño de la placa, para ello, es necesario identificar y seleccionar previamente el fabricante de la placa, pues, las reglas de diseño se limitan a las del fabricante (ver Tabla 15).

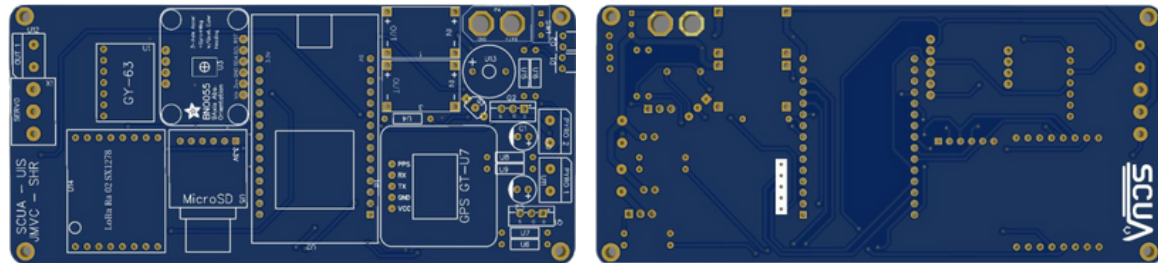
Tabla 15: *Reglas de diseño definidas.*

Parámetro	Valor	Unidad
Ancho de trazado	0,6	mm
Espaciad	0,4	mm
Diametro de via	1,4	mm
Diametro broca	0,7	mm

Una vez establecidas las reglas de diseño, se realiza el diseño mostrado en la Figura 59.

El diseño se rigió bajo las reglas de la Tabla 15, adicionalmente, las dimensiones se establecieron con base a los requerimientos estructurales definidos en la sección 4. La materialización de la placa se puede observar en las evidencias de la Figura 60

Figura 59: *Proceso de diseño circuito impreso 4.*



(a) Diseño pcb 4 - capa superior.

(b) Diseño pcb 4 - capa inferior.

Figura 60: *Evidencias placa de circuito impresa 4.*



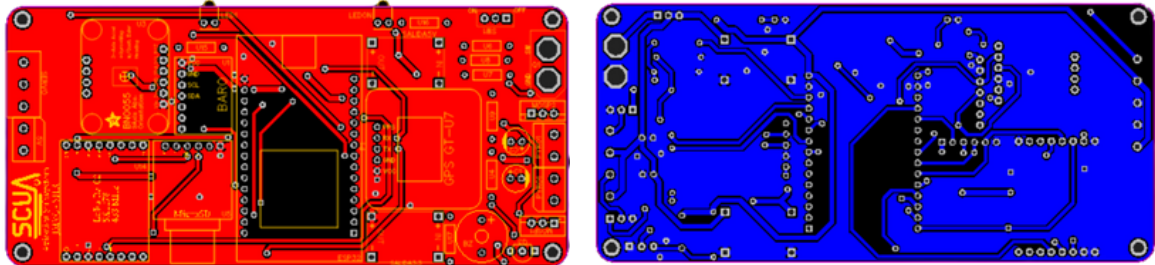
(a) Placa de circuito impresa 4 - evidencia 1. (b) Placa de circuito impresa 4 - evidencia 2. (c) Placa de circuito impresa 4 - evidencia 3.

De la figura 61(b) es posible visualizar que hace falta el módulo LoRa Ra-02, su ausencia se debe a un error cometido en el momento del diseño de la huella de dicho dispositivo, lo cual, causó que dicho módulo no encajara en su espacio, por ello, se decidió realizar un nuevo diseño de la placa. Por otro lado, se puede visualizar que la distribución de los componentes dentro de la placa no fue óptima, pues, en el sector derecho se puede percibir muy aglomerada la placa, mientras que en el sector izquierdo una cantidad de espacio suficiente para ajustar dicha distribución.

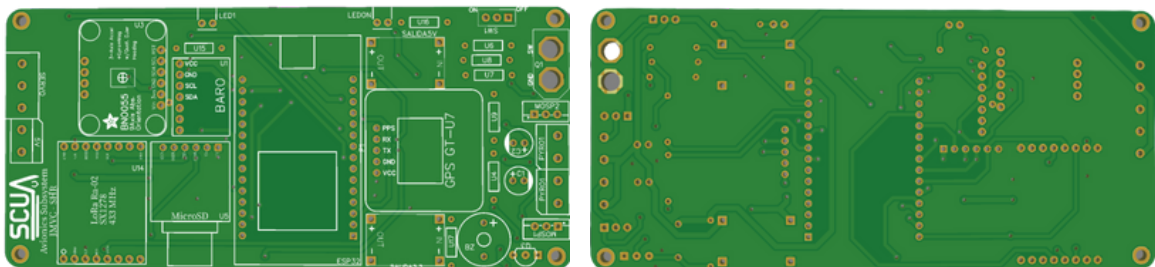
- **Desarrollo placa 5:** Finalmente, luego de un largo proceso de diseño, pruebas, validaciones y aprendizaje, se establece el diseño final para la aviónica del cohete sonda Orion UIS. Inicialmente, se corrigen errores previos cometidos en el diseño de la placa de circuito impreso 4 (ver Figura 60) para así, basándose en el mismo esquemático del Apéndice A (ver Figura 71), realizar las respectivas correcciones de diseño al diseño previo realizado. En ese sentido, en la Figura 61 se visualiza el diseño realizado en 2D, 3D y real.

El diseño de la placa se realizó en 2 capas, tal como se puede observar en la Figura 61.

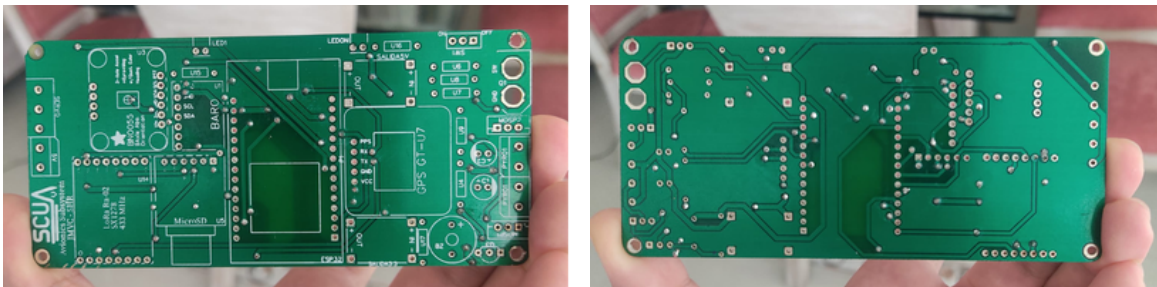
Figura 61: Proceso de diseño placa de circuito impreso 5.



(a) Diseño circuito impreso 5. - capa superior 2D. (b) Diseño circuito impreso 5. - capa inferior 2D.



(c) Diseño circuito impreso 5. - capa superior 3D. (d) Diseño circuito impreso 5. - capa inferior 3D.



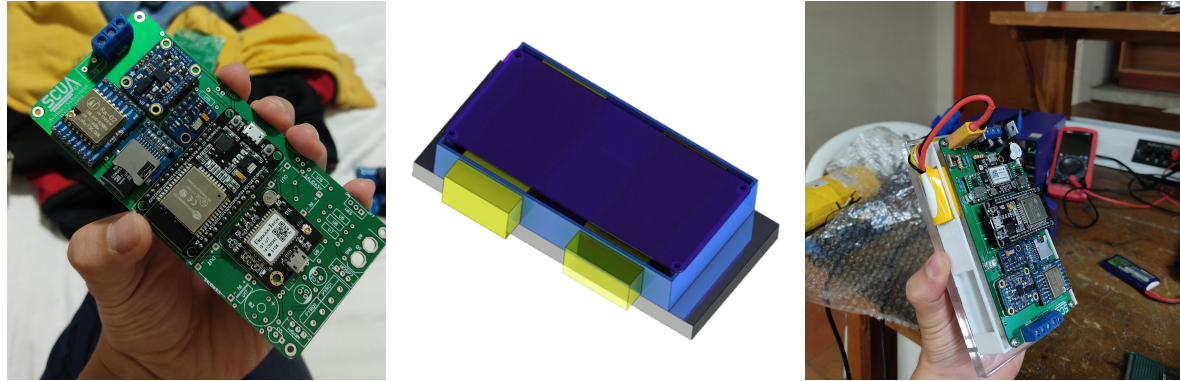
(e) Diseño circuito impreso 5. - capa superior real. (f) Diseño circuito impreso 5. - capa inferior real.

A su vez, de las imágenes 62(e) y 62(f) se puede notar que las vias de conexión entre la capa superior y la inferior fueron desarrolladas manualmente por los integrantes del grupo, esto debido a que la industria de manufactura de placas de circuito impreso local no realiza el proceso y en caso de realizarlo su costo se extiende en aproximadamente 5 veces el costo de la placa sin dicho proceso.

Posterior al diseño de la placa, se procede al ensamblaje y soldadura de los componentes en la placa (ver Figura 63(a)). Adicionalmente, procede a realizar a través de impresión 3D la caja de soporte para la placa, la cual, debe estar acondicionada a las dimensiones del requerimiento técnico de la lámina en acrílico de sujeción a la estructura del cohete y también a las dimensiones de la placa diseñada. En ese sentido, la caja se realiza en material PLA, el cual posee características físicas y mecánicas óptimas para la implementación en el proyecto. El diseño realizado y la

caja impresa se pueden observar en las Figuras 63(b) y 63(c).

Figura 62: *Evidencias placa de circuito impresa 5 y diseño base soporte.*



(a) Placa de circuito impreso 5 - (b) Placa de circuito impreso 5 - (c) Placa de circuito impreso 5 -  
ensamble de componentes. caja de soporte diseñada. acople base estructural.

Los agujeros que se pueden observar en las esquinas del diseño de la placa, son pensados para los pernos que ajustan la placa y el soporte de la placa a la lámina en acrílico, posteriormente, a través de tornillos prisioneros se fija la lámina a la estructura interna del cohete sonda (ver Figuras 64(a) y 64(b)).

Figura 63: *Evidencias de integración aviónica y estructura.*

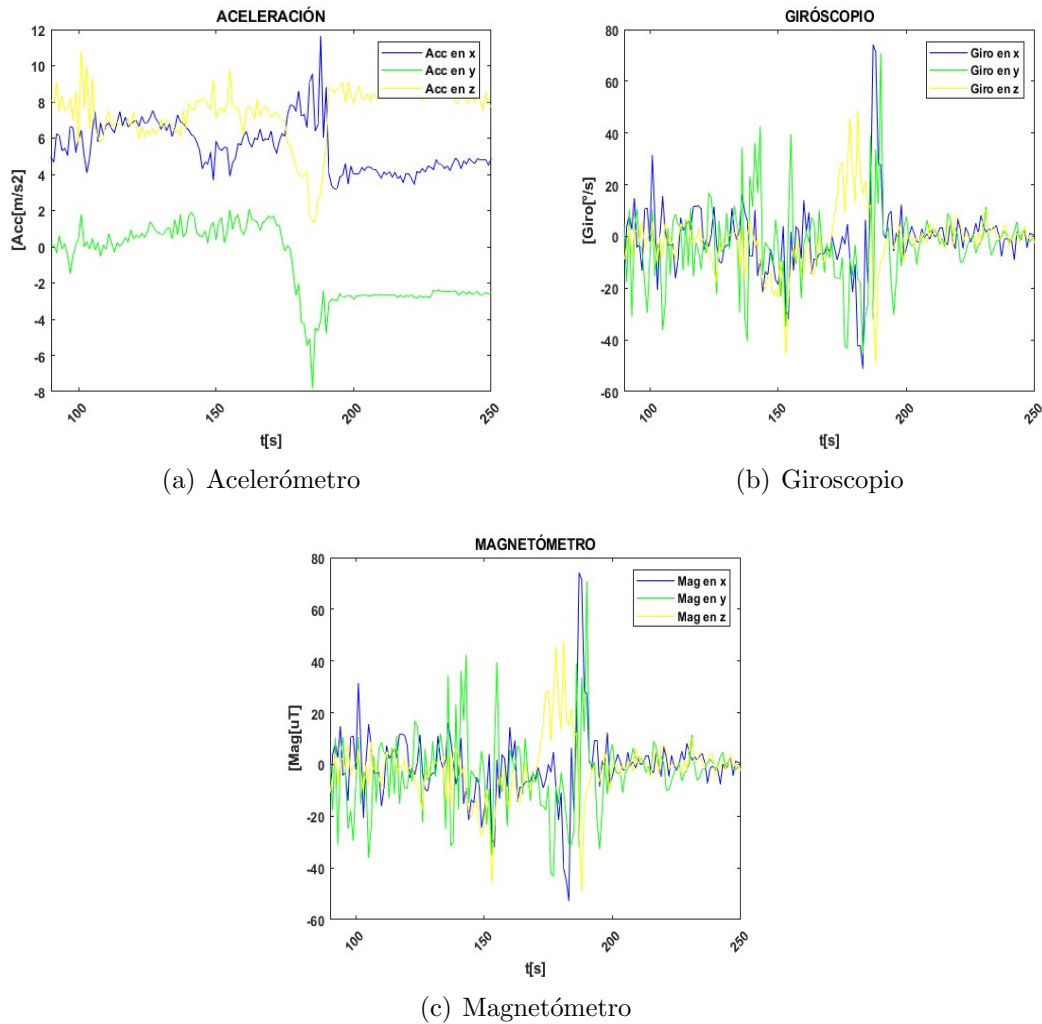


(a) Placa de circuito impreso 5 - eviden- (b) Placa de circuito impreso 5 - eviden-  
cia de acople estructural 1. cia de acople estructural 2.

Una vez lista la placa con todos los componentes ensamblados y acoplada a la estructura, se valida el funcionamiento de todo el sistema mediante varios lanzamientos verticales que describieran una trayectoria parabólica, simulando de esta manera el recorrido que normalmente traza un cohete sonda. Se logra obtener la información del lanzamiento, así como la información de cada una de las variables.

Con fines ilustrativos, se destacan 2 lanzamientos, el primero de ellos caracterizados por las Figuras 64, 65 y 66 donde se encuentran ilustrados los resultados obtenidos. Por otro lado, el segundo lanzamiento caracterizado por las Figuras 67, 68 y 69.

Figura 64: *Prueba de lanzamiento 1 - variables inerciales*



Finalmente, una vez realizado el ensamblaje de la aviónica a la estructura interna del cohete, se procede a extender los cables de las salidas pirotécnicas hacia la zona del sistema de recuperación, se verifica el funcionamiento de la aviónica en general y de esta manera se da por finalizado el proceso de implementación de la aviónica al cohete sonda. En términos de la competencia LASC, en este mismo paso del proceso, los evaluadores del evento realizan una inspección detallada de cada componente, tanto interno como externo del cohete, para posteriormente dar luz verde al lanzamiento del mismo.

El lanzamiento del cohete sonda se llevó a cabo el día domingo 07 de agosto del

Figura 65: Prueba de lanzamiento 1 - variables atmosféricas

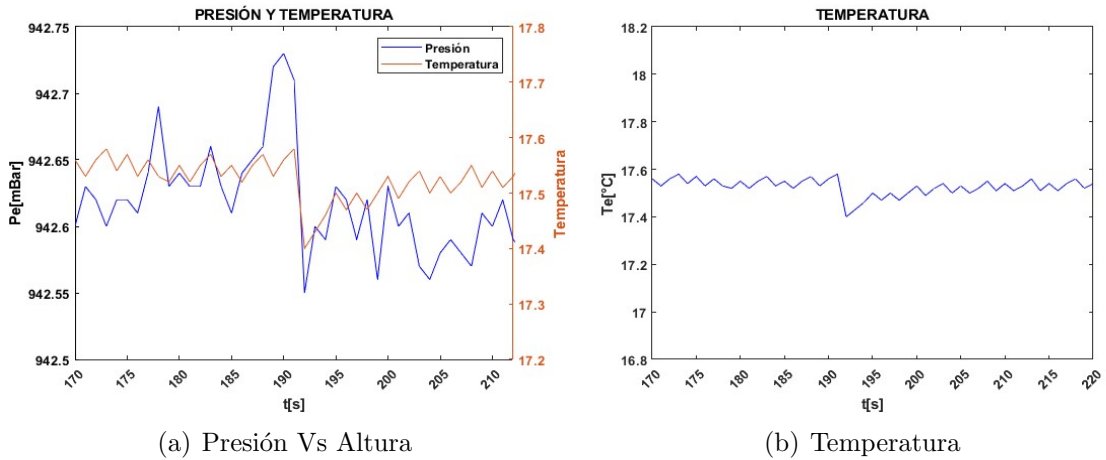
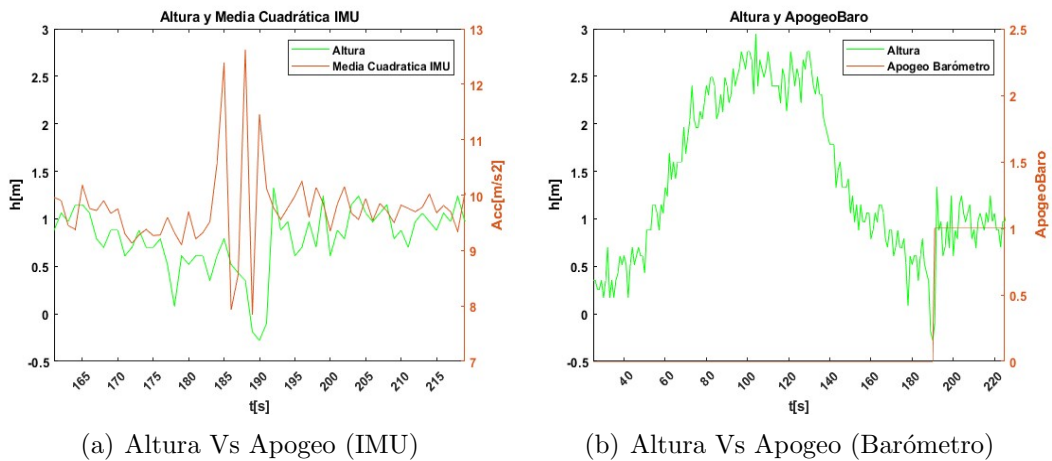


Figura 66: Prueba de lanzamiento 1 - detección de apogeo



2022, momento en el cual los resultados no fueron los esperados, pues, el cohete, a causa de una sobrecarga en el sistema de ignición para la activación del motor, explotó (ver Figuras 71(a) y 71(b)), evitando de tal manera la validación de la electrónica en vuelo real. Sin embargo, a través de las pruebas realizadas tanto por etapa individual como una vez integradas todas las etapas, es posible asegurar el óptimo funcionamiento de la aviónica desarrollada. El equipo compuesto por 18 integrantes, de los cuales 14 lograron representar al país en el importante evento de cohetería, se encuentra plasmado en la Figura ??, del cual se destaca su importante participación, logrando obtener el cuarto puesto en la competencia y ser campeones en las otras categorías en las que se participó.

Figura 67: Prueba de lanzamiento 2 - variables iniciales

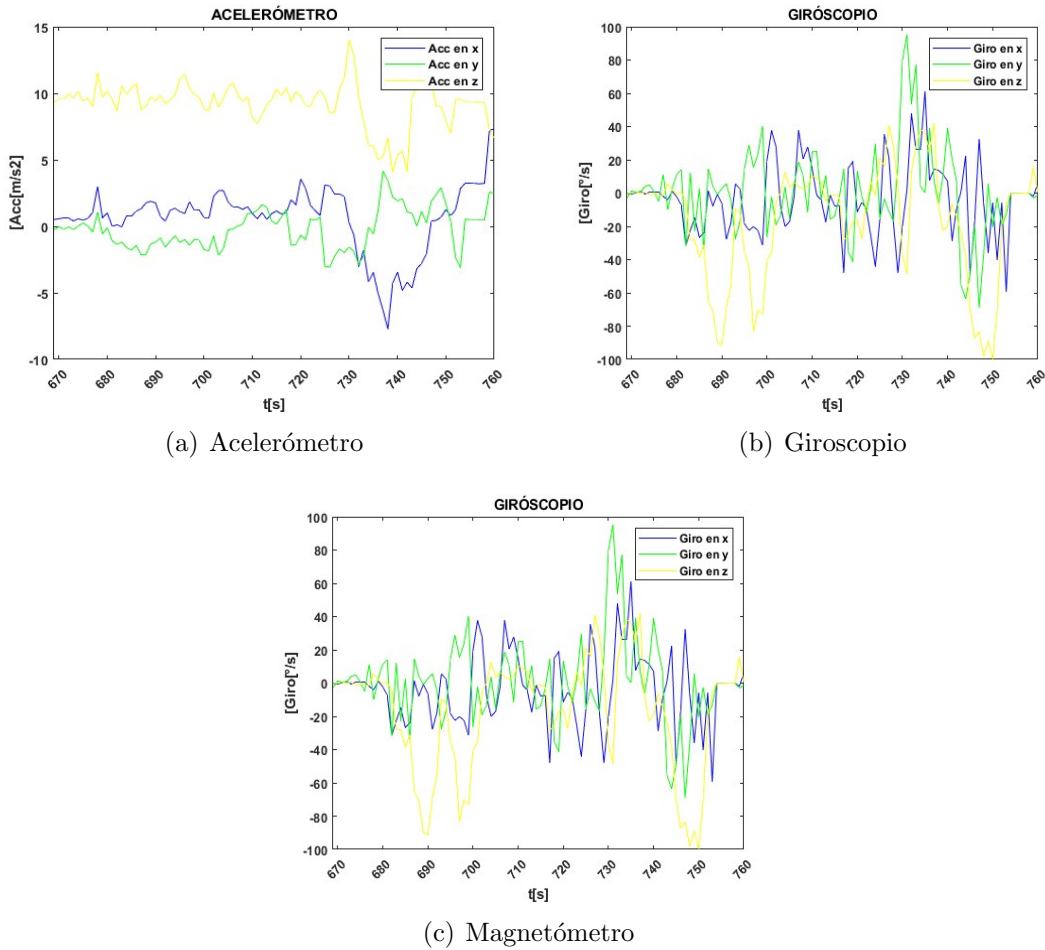
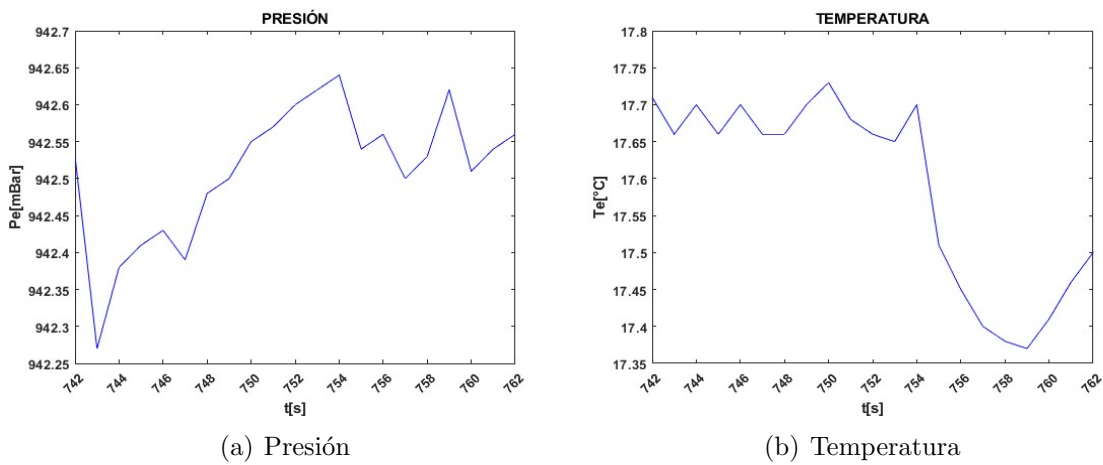


Figura 68: Prueba de lanzamiento 2 - variables atmosféricas



## 7 Conclusiones

Figura 69: Prueba de lanzamiento 2 - detección de apogeo

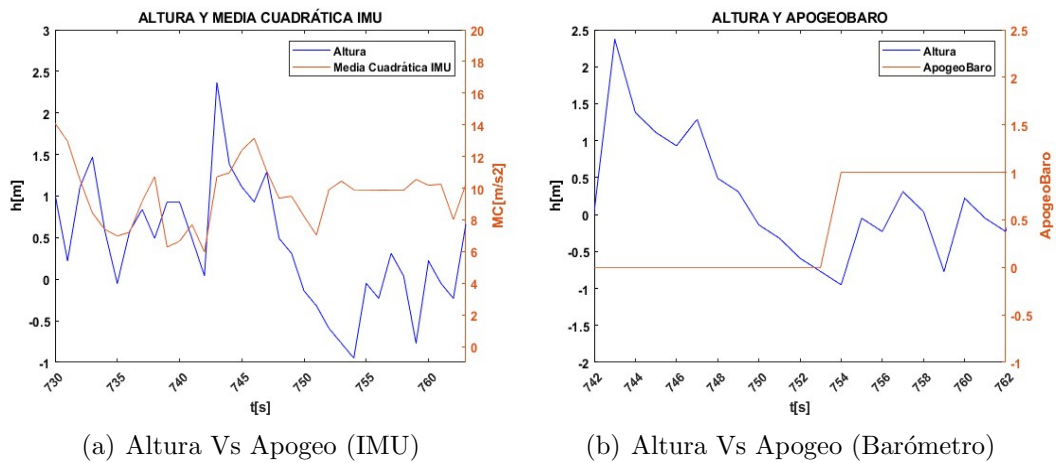
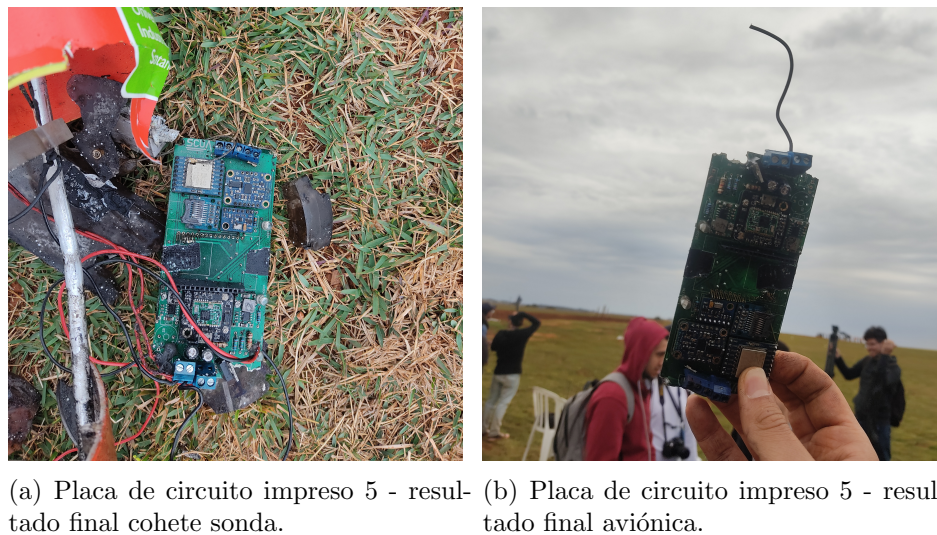


Figura 70: Resultados de lanzamiento - explosión.



## 8 Recomendaciones

**9 Trabajo Futuro**

## Referencias Bibliográficas

- [Berberan Santos et al., 1997] Berberan Santos, M. N., Bodunov, E. N., and Pogliani, L. (1997). On the barometric formula. *American Journal of Physics*, 65:404–412.
- [Biblarz and Price, 2020] Biblarz, O. and Price, . E. (2020). rocket. In <https://www.britannica.com/technology/rocket-jet-propulsion-device-and-vehicle>. Encyclopedia Britannica.
- [Bolívar and Sabogal, 2011] Bolívar, M. and Sabogal, A. (2011). Más que un sueño, una realidad. historia preliminar de la cohetería en colombia. *Asociación Astronáutica Colombiana ASTCOL*.
- [Botero et al., 2017] Botero, A. Y., Rodríguez, J. S., Serna, J. G., Gómez, A., and García, M. J. (2017). Design, construction and testing of a data transmission system for a mid-power rocket model. In *2017 IEEE Aerospace Conference*, pages 1–14. IEEE.
- [Collinson, 2013] Collinson, R. P. (2013). *Introduction to avionics systems*. Springer Science & Business Media.
- [García, 2014] García, Cristina, S. (2014). Implementación de analizadores de protocolos de comunicaciones spi, i2c. B.S. thesis.
- [García Cabana et al., 2018] García Cabana, M., Zuccotti, M., Ghignone, R. A., Larosa, F. S., and Fernández, M. G. (2018). Registrador de vuelo y estación terrestre para telemetría de cohetes experimentales. Congreso de Microelectrónica Aplicada (9º: 2018 oct. 9-10: Universidad ....
- [Garino et al., 2009] Garino, B. W., Lanphear, J. D., Command, A., College, S., and Seminars, S. R. E. (2009). Au-18 space primer. Technical report, Air University Press.
- [Huth et al., 1958] Huth, G., Augenstein, B., and Holbrook, R. (1958). *Some Fundamental Considerations Relating to Advanced Rocket Propulsion Systems*. RAND Corporation, Santa Monica, CA.
- [KAWASE et al., 2008] KAWASE, M., TAMURA, M., SUNAMI, K., IZUMI, T., and MORITA, Y. (2008). The avionics system design concepts for the advanced solid rocket. *The Journal of Space Technology and Science*, 24(1):1\_13–1\_16.
- [LASC, 2022] LASC (2022). Latin american space challenge. In <https://www.lasc.space/>. LASC.

- [Marconi, 2004] Marconi, E. (2004). What is a sounding rocket? - nasa. In <https://www.nasa.gov/missions/research/founding.html>. NASA.
- [Merino et al., 2017] Merino, D. V., Nova, M. A. R., and Rivera, A. F. C. (2017). *DISEÑO Y VALIDACIÓN DE LOS CÁLCULOS DE UN MOTOR R-CANDY E65*. PhD thesis, Universidad Industrial de Santander.
- [NASA, 2004] NASA (2004). Nasa sounding rocket science. In <https://rscience.gsfc.nasa.gov/srrov.html>. NASA.
- [Niebles, 2022] Niebles, M. (2022). Estados unidos, rusia y china son los que lideran la carrera por dominar el espacio. In <https://www.larepublica.co/globoeconomia/estados-unidos-rusia-y-china-son-los-que-lideran-la-carrera-por-dominar-el-espacio-3400689>. LaRepublica.
- [Olarte and Sanjuán, 2013] Olarte, R. A. J. and Sanjuán, S. A. S. (2013). Desarrollo aeroespacial en colombia, misión satelital libertad 1 y libertad 2. *Bogotá Robótica*.
- [Olde et al., 2019] Olde, M., Zandbergen, B., Botchu, J., van den Wijngaart, J., Kuhnert, F., and Slingerland, J. (2019). Laser ignition and combustion study of kno3-sorbitol based solid propellant.
- [Peña and Mora, 2010] Peña, J. A. U. and Mora, F. A. R. (2010). Misiones de cohete-ria experimental con propelente sólido: Mision seneca, cohete ainkaa 1. *Ciencia e Ingeniería Neogranadina*, 20(2):53–64.
- [SCUA, 2022a] SCUA (2022a). Semillero de cohetería uis aeroespacial. In <https://www.scua.space/>. SCUA.
- [SCUA, 2022b] SCUA (2022b). Sub-sistema de cargag Útil. In *Rocket Vehicle for a 4Kg Payload*. Applied Optics.
- [Seibert and Battrick, 2006] Seibert, G. and Battrick, B. T. (2006). *The history of sounding rockets and their contribution to European space research*. ESA Publications division Noordwijk.
- [Serrato and Rojas, 2018] Serrato, S. and Rojas, F. A. (2018). Procesos de formación académica en ciencia y tecnología aeroespacial. experiencias de investigación en cohetería experimental con estudiantes de ingeniería en colombia alejandro urrego p. daniela ramírez2. *INVESTIGACIÓN FORMATIVA EN INGENIERÍA*, page 266.

- [Shane, 2016] Shane, t. (2016). Inside the construction of an amateur rocketry flight computer. In <https://shanelully.com/2016/07/inside-the-construction-of-an-amateur-rocketry-flight-computer/>.
- [Shao et al., 2012] Shao, Y.-H., Gu, G.-F., Jiang, Z.-Q., Zhou, W.-X., and Sornette, D. (2012). Comparing the performance of fa, dfa and dma using different synthetic long-range correlated time series. *Scientific reports*, 2(1):1–5.
- [Sierra Gamboa et al., 2019] Sierra Gamboa, J. R., Loaiza Diaz, M. A., et al. (2019). Construcción, integración y pruebas de los subsistemas que conforman el cohete isaías i.
- [Suta et al., 2020] Suta, J. M., Álvarez, C. P., Grajales, C. G., González, N. R., Castañeda, J. B., and Salazar, R. R. (2020). Proyectos en cohetería experimental en la emavi-fac como un pilar para fomentar el desarrollo aeroespacial de la región. *Encuentro Internacional de Educación en Ingeniería*.
- [Taylor, 2017] Taylor, T. S. (2017). *Introduction to rocket science and engineering*. CRC Press.
- [Teja, 2021] Teja, R. (2021). Mosfet as a switch. In <https://www.electronicshub.org/mosfet-as-a-switch/>.
- [Texas, 2011] Texas, I. (2011). Linear and switching voltage regulator fundamentals.

## Apéndices

### Apéndice A. Esquemático diseño de PCB final.

Figura 71: *Diseño PCB final - esquemático*.

